

RÉPUBLIQUE DU SÉNÉGAL



ÉCOLE POLYTECHNIQUE DE THIÈS

PROJET DE FIN D'ETUDES

EN VUE DE L'OBTENTION DU DIPLÔME D'INGÉNIEUR DE CONCEPTION

T I T R E : ANALYSE ET DIMENSIONNEMENT DU MARCHE DE POISSONS
DE SOUBEDIOUME

DATE : Juin 1986

AUTEUR : MAR THIAM
DIRECTEUR : Mr Moustapha NDIAYE, Ing. M.Sc.
CO-DIRECTEUR : Mr Alain DEBERDT, Ing.

A mes parents Polla et Kine'

A mes jeunes freres et sœurs

A mes amis et compagnons

~ REMERCIEMENTS ~

Pour ne manquerons pas de saisir cette occasion qui nous est offerte pour remercier avec la plus grande sincérité, notre directeur de projet Mr Moustapha Ndiaye qui m'a cessé de déployer ses efforts afin que nous puissions mener à bien cette étude.

De même qu'à Mr Debert, ingénieur au Bureau d'Etudes techniques J. Gaudillat, qui malgré un emploi du temps que nous savons chargé, m'a mené aucun effort pour la réussite de ce travail.

Nos remerciements vont également à :

- Mr Gaudillat pour sa contribution à l'élaboration du sujet
 - Nos parents qui me se sont jamais lassés de nous assister à tout moment et de nous inculquer la foi et le désir de vaincre
 - L'ensemble de mes enseignants, du cours d'initiation au cours de génie, qui ont concouru à notre formation
 - Enfin tous ceux qui ont contribué, de près ou de loin, matériellement ou moralement à notre formation.
-
-
-

SOMMAIRE

Dans le cadre de la lutte contre l'insalubrité de la ville de Dakar, le Secretariat d'Etat à la pêche maritime a initié un projet de construction d'un marché moderne sur le bâti de Soubedorou en lieu et place de l'actuel marché dont l'état précaire et inopérationnelle a engendré des problèmes environnementaux graves.

Ainsi, les études architecturales ont été confiées au Cabinet Pierre Goudiaby Atepa qui a confié l'étude technique au Bureau d'Etudes Techniques Jean Gaudillat (B.E.T.).

Le dernier nous a confié, dans le cadre de notre projet de fin d'études, d'étudier le bâtiment administratif à 4 niveaux de $25 \times 25 \text{ m}^2$, dont les principales niveaux sont :

- le sous-sol
- le rez-de-chaussée
- 1^{er} étage
- La salle de machine au 2^e étage

Dans ce cadre, nous tenterons de faire la présentation des différentes phases de l'étude - Ceci après avoir définis les options architecturales. Ainsi, nous présenterons :

- L'analyse structure de la partie préexistante
- Le calcul des efforts des différents éléments
- Le dimensionnement des différents ouvrages

Et enfin, nous,acheverons notre étude en faisant des recommandations afin de garantir une meilleure exécution de notre projet.

LISTE DES FIGURES

PAGES

Figure 1 : Schéma de la Nervure N1	21
Figure 2 : Schéma des poutres 3, 6, 9, 12	23
Figure 3 : Schéma des poutres 1, 2, 8, 7	24
Figure 4 : Schéma des poutres 4, 5, 10, 11,	25
Figure 5 : Schéma des poutres 14, 13	26
Figure 6 : Schéma de la Console du plancher ht Rez de chaussée	29
Figure 7 : Schéma de la Console du Plancher ht du 1e étage	30
Figure 8 : Ferraillage de la semelle de poteau 1	37
Figure 9 : Ferraillage du voile des parois extérieures du sous-sol	43
Figure 10 : Ferraillage de semelle sous le voile	45
Figure 11 : Ferraillage du mur de soutenement dans la cour de service	50
Figure 12 : Coffrage des marches d'escalier à Vis	52
Figure 13 : Ferraillage des marches d'escalier à Vis	53
Figure 14 : Ferraillage et Coffrage d'un volet de l'escalier central	55

LISTE DES TABLEAUX

Tableaux des semelles isolées

P 38

T A B L E /)ES M A T I E R E S

<u>Composition</u>	<u>Pages</u>
Remerciements	i
Sommaire	ii
Liste des figures	iii
Table des matières	iv
I. <u>ELEMENTS INTRODUCTIFS</u>	
Introduction	1
Options architecturales et fonctionnelles	3
II. <u>ANALYSE STRUCTURALE</u>	
2.1 Structure choisie	5
2.2 Base de calcul	6
2.3 Calcul des charges appliquées sur les ouvrages	8
2.4 Analyse structurale proprement dit	14
III. <u>METHODE DE DETERMINATION DES EFFORTS</u>	
3.1 Description du programme	16
3.2 Programme du calcul des efforts	P.1
3.3 Exemple de fichier d'entrée de données	17
3.4 Exemple de fichier de sortie de résultats	R.01
IV. <u>DIMENSIONNEMENT DE DIFFERENTS OUVRAGES</u>	
4.1) Dimensionnement des poutrelles et poutres	18
4.2) Dimensionnement de la dalle pleine	27

T A B L E D E S M A T I E R E S

4.3) Dimensionnement des planchers en Console	29
4.4) Dimensionnement des poteaux	31
4.5) Dimensionnement des semelles	35
4.6) Dimensionnement des parois extérieures du sous-sol....	40
4.7) Dimensionnement de la Semelle filante sous voile	44
4.8) Dimensionnement des murs de soutènement dans la cour de service	46
4.9) Dimensionnement des escaliers	
4.9.1 Escalier à vis reliant le sous-sol au rez de chaussée	51
4.9.2 Escaliers sans limon reliant le R.C au 1 ^e étage	54
4.10) Dimensionnement du dallage	56
 V CONCLUSION ET RECOMMANDATIONS	58

Annexes

1. Calcul des charges	60
2. Tableaux des poutres dimensionnées	78
3. Tableaux des poteaux dimensionnées	92
4. Vérification de sections de poutre	97
5. Calcul de dallage	100

TABLE DES MATIERES (suite)

B I B L I O G R A P H I E

102

P L A N S DE C O F F R A G E

1. du plancher - haut sous - sol
2. du plancher - haut Rez de chaussée
3. du plancher - haut 1^e étage
4. de la toiture
5. de la Fondation

CHAP. 1

ELEMENTS INTRODUCTIFS

— INTRODUCTION —

Après l'étude que nous venons de terminer, nous nous sommes proposé d'attirer l'attention des futurs projecteurs sur le côté essentiellement expérimental de la technique du Beton Armé.

En effet, les calculs font un large appel aux lois fondamentales du comportement de la matière, ce qui leur confert un aspect à la fois scientifique et mathématique. Cependant, il serait erroné d'en déduire une croyance aveugle dans la rigueur des calculs qui entraîne *ipso facto*, un comportement de l'ouvrage calculé fidèlement, conforme aux résultats de ces calculs.

Prenons conscience que l'établissement d'un projet tel qu'il se pose au projecteur peut se résumer ainsi :

- Prendre connaissance du programme des actions à prendre en compte (charges)
- Prendre connaissance de la nature et la résistance du sol sur lequel la construction devra être édifiée.
- Concevoir ou Imaginer une structure qui pourra conduire les actions prévues jusqu'au sol où devront se trouver leurs réactions d'équilibre (Semelles).

Par ailleurs, nous devrions convenir que ceci ne saurait être fait que si le projecteur est capable d'imaginer les dispositions générales d'une structure sans calculs mais en faisant surtout appel à ses qualités de "constructeur".

- Connaissance d'une plage importante de formes, de structures possibles.
- Potions quasi-instinctives des compositions et décompositions des forces et leur cheminement ainsi que les sollicitations (efforts normaux, tranchant, fléchissant) ainsi que
- Connaissance du comportement et des possibilités de résistance des matériaux utilisés
- Sens de la simplification des formes et de l'économie des moyens.
- Sens de l'esthétique de la construction
- Imagination, réflexion, persévérance et surtout un solide bon sens et beaucoup de travail.

Une structure ainsi conçue dans ses grandes lignes et prédimensionnée par quelques évaluations simplifiées et approximatives permettra d'aborder les calculs proprement dit. Ce qui permettra de dimensionner définitivement chaque élément en conformité avec la sécurité imposée et les règlements en vigueur.

— OPTIONS ARCHITECTURALES —

— Et FONCTIONNELLES —

Les architectes ont déterminé trois entités relationnelles fonctionnelles qui définissent d'une part la construction par phase et d'autres part les différentes formules de ventes.

Des impératifs d'économie ont conduit les architectes à opter pour une structure tramee supportant des charges bien réparties et une toiture légère dans le 2^e étage.

Ce qui, en somme, confert à ce projet sa silhouette expressive, ses espaces différenciés mais surtout son rôle de rencontres et de service telle que l'ont pensé les promoteurs.

Par ailleurs, un certain nombre de contraintes ont été exigées par les architectes

1) Une ossature

Ils exigent que le marché soit entièrement conçu en ossature porteuse en béton armé dosé, à 350 kg / m³.

Le système de plancher sera du type traditionnel : Hourdis creux avec dalle de compression.

2) Ouvrages en béton armé

Les ouvrages suivants sont indiqués : linteaux isolés, co-coriens, 8 acs à fleur et les acrotères

3) En Beton banché

Les ouvrages suivants sont indiqués : marches d'accès au niveau du rez de chaussé

4) En maçonnerie

Les murs extérieurs et cloisons intérieures seront en agglomérés ou briques creuses.

3

5) Enduit

Toutes les faces nues des murs, des cloisons extérieures et intérieures en maçonnerie d'agglomérés ou de briques, de même que les plafonds seront enduits au mortier dosé à 300 kg / m³ sauf indication contraire.

Chap. 2

ANALYSE STRUCTURALE

2.1) Structure choisie

Le principe de la ~~constante~~ conception de la structure porteuse consiste à observer un plancher à partir du plancher inférieur et d'imaginer quel est le lieu le mieux indiqué pour acheminer les efforts.

C'est ainsi que nous avons procédé pour le choix des différents poutres et poteaux du 2^e étage, en observant ce plancher à partir du 1^e étage; ainsi que le 1^e étage, à partir du Rez de chausse, et ainsi de suite jusqu'au système d'appuis tout en essayant de nous soucier de l'économie.

Ainsi, notre structure choisie peut se définir ainsi:

. La partie essentielle qui est en forme hexagonale est en ossature porteuse telle que imposée par les architectes, avec des murs et cloisons en agglomérés creuses pour le remplissage.

. Les planchers sont ~~lourdes~~ sauf pour la partie du plancher haut du Sous-Sol qui sera en béton armé à cause de l'ouverture pour l'escalier à vis reliant le sous-sol au Rez de chausse.

. Les parties externes à la forme hexagonale sont en mur porteur pour la raison suivante. Si nous avions voulu mettre une ossature porteuse, alors la poutre qui supporterait la charge serait en porte-à-faux et devrait s'appuyer sur une autre poutre créant ainsi une torsion assez importante sur cette dernière.

2.2) BASE DE CALCUL

2.2.1) Norme utilisée

Sauf donné imposé, nous respectons les normes BAE 183 pour la conception et le dimensionnement des ouvrages

2.2.2) Matières utilisées

a) Le béton: pour un dosage de 350 kg/m^3 , sa résistance caractéristique de compression $f_{c28} = 20 \text{ MPa}$ pour les conditions courantes de fabrication.

Son poids volumique $w_b = 2410 \text{ kN/m}^3$

Son module d'élasticité sera si le chargement pris en compte est appliqué:

- à une durée < 24 heures alors $E = 12000 f_{c28}^{1/3} \quad f_{c28}$ (en MPa)
- à une durée normale $E = 4000 f_{c28}^{1/3}$

b) L'acier

Nous utiliserons l'acier à haute adhérence Fe E 40 du type 1 dont les caractéristiques sont

$$E_s : 200 \text{ MN/m}^2 = 200 \text{ MPa}$$

$$\sigma_s = 348 \text{ MPa} \quad , \quad f_e = 400 \text{ MPa}$$

Au niveau des planchers, nous utiliserons un treillis soudé de diamètre $\phi > 6 \text{ cm} \rightarrow \sigma_s = 435 \text{ MPa}$

c) Le béton banché

Pour les ouvrages travaillant en fondation élastique, nous utiliserons un béton banché dont la résistance caractéristique de compression est $f_{c28} = 16 \text{ MPa}$ (dosage à 300 kg/m^3)

d) Le Mur porteur: il travaille en compression, dont sa caractéristique principale est sa contrainte ultime à l'état de service en compression. $\bar{\tau}_{ad} = 5 \text{ kg/cm}^2$

2.3) CALCUL DES CHARGES APPLIQUEES SUR LES OUVRAGES

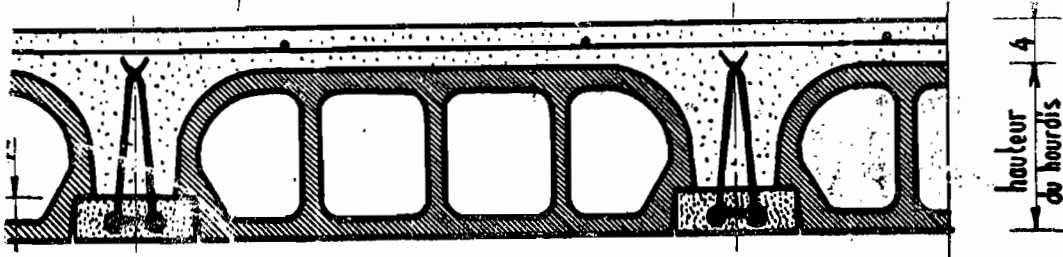
Il y a d'abord à indiquer que les charges sont de deux natures spécifiquement :

- Les charges ou actions permanentes, notées **G**, dont l'intensité est constante ou très peu variable dans le temps, ou varie toujours dans le même sens en tendant vers une limite.

- Les charges variables, notées **Q**, dont l'intensité varie fréquemment et de façon importante dans le temps.

Ainsi, dans le cas de notre structure ; nous avons calculé les charges variables et permanentes ; après avoir numéroté (réperé) tous les poteaux et poutres, qui s'appliquent sur ces dernières. Ceci en faisant les suppositions suivantes.

- Pour les poutrelles (merrures), on suppose que la charge qui elle supporte est celle comprenant la moitié des entretoises qui se trouvent de part et d'autre d'elle-même.



- Pour une poutre, on suppose que la charge qu'elle supporte est celle comprenant la moitié de la longueur de la merrure pour un plancher merrure ou celle donnée par les surfaces tributaires pour les dalles pleines.

Par ailleurs, le détail du calcul de toutes les poutres et poutrelles suivant les planchers s'établit comme suit :

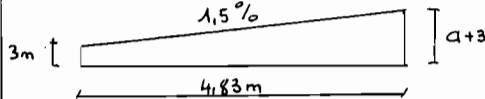
3.1). Détermination des charges de la terrasse

3.1.1) Nervures

- Calcul des charges permanentes G

• poids propre de la nervure C 20+4 $3,0 \text{ kN/m}^2$

• forme de pente



$$a = \frac{4,83 \times 1,5}{100} = 7,25 \text{ cm} \rightarrow a_{\text{moy}} = \frac{(7,25 + 3)}{2} = 6,6 \text{ cm}$$

$$\text{charge superficielle} = 1500 \times 6,6 \times 10^{-2} \times 10 \times 10 = 0,99 \frac{\text{kN}}{\text{m}^2}$$

d'où forme de pente $1,0 \text{ kN/m}^2$

• protection + étanchéité $1,2 \text{ kN/m}^2$

d'où la charge superficielle permanente $= 3,0 + 1,0 + 1,2 = 5,2 \text{ kN/m}^2$

donc la charge permanente appliquée à la nervure C 20+4 sera

$$G = 5,2 \times 0,6 = 3,12 \text{ kN/m}$$

- Surcharge d'exploitation Q

terrasse privée non accessible sauf travaux d'entretien $1,0 \text{ kN/m}^2$

au minimum pour pluie $2,0 \text{ kN/m}^2$

$$\text{d'où } Q = 2,0 \times 0,6 = 1,2 \text{ kN/m}^2$$

2.3.1.2. Calcul des charges pour les différentes poutres

1) poutres 1, 2, 7, 8, (20x25)

Charge permanente G

$$\text{poids propre } 2500 \times 10^2 \times 0.2 \times 0.25 = 1,25 \text{ kN/m}$$

$$\text{dalle + enduit supportés} : 5,2 \times 0,6 = 3,12 \text{ -- --}$$

$$G = 4,37 \text{ kN/m}$$

Surcharge d'exploitation Q

$$Q = 1,0 \times 0,6 = 1,2 \text{ kN/m}$$

2) poutres 4, 5, 10, 11 (20x25)

Charge permanente G

$$\text{poids propre } 25 \times 0.2 \times 0.25 = 1,25 \text{ kN/m}$$

$$\text{dalle + enduit supportés} : 5,2 \times 3,0 = 15,6 \text{ kN/m}$$

$$G = 16,85 \text{ kN/m}$$

Surcharge d'exploitation Q

$$Q = 1,0 \times 3,0$$

→

$$Q = 3,0 \text{ kN/m}$$

3) poutres 3, 6, 9, 12 (20x25)

poids propre

$$1,25 \text{ kN/m}$$

$$\text{dalle + enduit supportés} : 5,2 \times \left[\frac{3,11^2}{2} + \frac{3}{5} \times 1,83 \right] = 13,42 \text{ kN/m}$$

$$G = 14,67 \text{ kN/m}$$

Surcharge d'exploitation

$$Q = 1,0 \times 3,0$$

$$Q = 3,0 \text{ kN/m}$$

4) poutres 14-13 (20x30)

Charge permanente : G

$$\begin{array}{lll} \text{poids propre} & 25,0 \times 0,2 \times 0,3 & = 1,5 \text{ kN/m} \\ \text{dalle+enduit} & 5,2 \times 5,0 & = 26,0 \text{ kN/m} \\ \hline G & & = 27,5 \text{ kN/m} \end{array}$$

Surcharge d'exploitation

$$Q = 5,0 \text{ kN/m}$$

3.2) Predimensionnement des poteaux

1) Poteaux 1, 3, 4, 6, 7, 9, 10, 13

Surface tributaire par poteau S sera

$$S = \frac{3,39 \times 1,56}{2} - \frac{1,3 \times 1,71}{2} = 2,0 \text{ m}^2$$

charge permanente

$$\begin{array}{lll} \text{dalle} & 5,2 \times 2,0 & = 10,4 \text{ kN} \\ \text{poutres} & \frac{1}{2} \times [1,25 \times 3,11 + 1,5 \times 2,6] & = 3,9 \text{ kN} \\ \hline G & & = 14,3 \text{ kN} \end{array}$$

Surcharge d'exploitation

$$Q = 2,0 \times 2,0 \rightarrow Q = 4,0 \text{ kN}$$

Predimensionnement

Comme le bâtiment est peu élancé, nous n'avons pas de problèmes de contreventement, on peut prendre $\ell_f = 0,7 \ell_0$.

Les armatures longitudinales nécessaires ont une section A.

$$\text{La section minimale d'armatures } A_{\min} = \frac{0,2 B}{100}$$

$$\text{La charge pondérée appliquée } N_u \leq \frac{0,85 f_{c28}}{\gamma_b} B + \Gamma_2 A$$

Comme nous exigeons un dosage à 350 kg/m^3 d'où $f_{c28} = 20 \text{ MPa}$
de même nous utilisons un acier à haute adhérence d'où $f_e = 400 \text{ MPa}$

$$\text{d'où } \gamma_2 = \frac{f_e}{\gamma_s} = \frac{400}{1,15} = 348 \text{ MPa}$$

$$\text{d'où } N_u = \left(\frac{0,85 f_{c28}}{\gamma_b} + \frac{\gamma_2}{100} \right) B$$

$$\rightarrow B = \frac{N_u}{\frac{0,85 f_{c28}}{\gamma_b} + \frac{\gamma_2}{100}}$$

$$\left\{ \begin{array}{l} \frac{0,85 f_{c28}}{\gamma_b} = \frac{0,85 \times 20}{1,15} = 11,4 \text{ MPa} \\ \frac{\gamma_2}{100} = 3,48 \end{array} \right. \rightarrow \frac{0,85 f_{c28}}{\gamma_b} + \frac{\gamma_2}{100} = 14,9 \text{ MPa}$$

donc $B \geq \frac{N_u}{14,9}$ equation 1

$$N_u = 1,35 G + 1,5 Q = 1,35 \times 14,3 + 1,5 \times 4,0 = 25,3 \text{ kN}$$

$$B \geq \frac{25,3 \times 10^3}{14,9 \times 10^6} \times 10^4 = 19,0 \text{ cm}^2$$

On choisit $B = 20 \times 20 = 400 \text{ cm}^2 > 19 \text{ cm}^2$ ok!

2) Poteaux 2,5,8,12

$$\text{Surface tributaire } S = 3,115 \times \frac{4,945}{2} = 7,70 \text{ m}^2$$

Charge permanente

$$\text{dalles : } 5,2 \times 7,70 = 40,04 \text{ kN}$$

$$\text{poutres } \frac{1}{2} \cdot (1,25 \times 3,115 + 1,25 \times 3,115 + 1,5 \times 4,945) = 7,6 \text{ kN}$$

$$G = 47,7 \text{ kN}$$

Surcharge d'exploitation $Q = 2,0 \times 7,7 = 15,4 \text{ kN}$

$$N_u = 1,35 G + 1,5 Q = 1,35 \times 47,7 + 1,5 \times 15,4 = 87,5 \text{ kN}$$

$$\text{Section de béton } B \geq \frac{87,5 \times 10}{14,9} = 66 \text{ cm}^2$$

On choisit $B = 20 \times 20 > 66 \text{ cm}^2$ ok!

3) Poteaux 11

$$\text{Surface tributaire : } 4,945 \times 4,945 = 24,5 \text{ m}^2$$

Charge permanente

$$\text{dalle } 5,2 \times 24,5 = 127,4$$

$$\text{poutres } 4,945 \times 1,5$$

$$\underline{7,4}$$

$$G = 134,8 \text{ kN}$$

Surcharge d'exploitation $Q = 2,0 \times 24,5 \rightarrow Q = 49 \text{ kN}$

$$N_u = 1,35 \times 134,8 + 1,5 \times 49 = 249,5 \text{ kN}$$

$$\text{Calcul de la section de béton } B \geq \frac{249,5 \times 10}{14,9} = 187,6 \text{ cm}^2$$

On choisit $B = 20 \times 20 > 187,6 \text{ cm}^2$ ok!

Calcul de l'inertie des poutres et poteaux

$$\text{poutres de section } 20 \times 25 \rightarrow I = \frac{0,25 \times 0,2^3}{12} = 1,67 \times 10^{-4} \text{ m}^4$$

$$\text{poutres de section } 20 \times 30 \rightarrow I = \frac{0,3 \times 0,2^3}{12} = 2,0 \times 10^{-4} \text{ m}^4$$

$$\text{poteaux de section } 20 \times 20 \rightarrow I = \frac{0,2 \times 0,2^3}{12} = 1,33 \times 10^{-4} \text{ m}^4$$

La détermination des charges des autres poutres, de même que le prédimensionnement des poteaux, sont présentés en Annexe 1

2.4 ANALYSE STRUCTURALE PROPREMENT DIT

D'une façon générale, les sollicitations sont calculées en utilisant pour la structure un modèle élastique et linéaire. La norme demande dans le cas où les procédés de la résistance des matériaux ne sont pas directement applicables d'adopter une des trois possibilités :

- Soit adopter les schémas se rapprochant de structures connues méthodes applicables dans des cas simples et faisant appel au bon sens et à l'expérience du projecteur.
- Soit avoir recours à des modèles de calculs plus élaborés
- Soit de procéder à une expérimentation probante sur modèle réduit, méthodes applicables dans le cas de pièces comportant des formes particulières complexes.

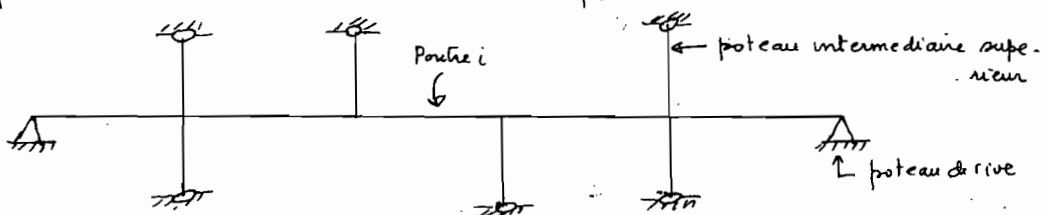
Comme notre structure est telle qu'on ne peut pas faire une analyse structurale générale, c'est pourquoi nous avons adopté le principe des schémas se rapprochant des structures connues.

Ceci consiste à considérer une travée continue composée de poutres et de poteaux dont le principe d'idéalisatoin est le suivant :

les poutres seront considérées comme telles avec leur système de chargement.

les poteaux, de rives seront considérés comme des appuis simples et les poteaux intermédiaires, aussi bien inférieurs et supérieurs seront rotulés, au milieu de leur longueur.

ce qui donne des structures de la forme suivante



Ensuite, nous utiliserons un programme dont la description détaillée sera faite pour déterminer les efforts pertinents pour les différents ouvrages afin de les dimensionner par la suite.

CHAR. 3

METHODE

DE

DETERMINATION

DES EFFORTS

3.1 Description du programme

utilisé pour le calcul des efforts

Il convient de signaler que ce programme fut conçu dans ces grandes lignes par notre classe l'année passée. Dans le cadre de ce projet, nous avons apporté des rectifications au niveau du calcul de charge.

Il permet de déterminer les efforts normaux, axiaux et fléchissant de tous les éléments constituant l'ossature d'une structure à analyser. Il permet également de calculer la valeur des déplacements ^s des noeuds dans leurs directions non restreintes (libres).

L'exploitation du programme consiste en gros à créer un fichier de données où les principales données des noeuds, des éléments et du matériau seront définies. Et après analyse, les résultats se localiseront sur un fichier de résultats que nous avons créé au préalable. Ainsi; nous avons, dans le cadre de ce travail, les efforts pour le dimensionnement de nos poteaux et portes.

Ce programme sera présenté avec un exemple de fichier d'entrée et de fichier de sortie.

```

1   c ****
2   c      3.2 CALCUL DES EFFORTS
3   c ****
4   c
5   c ****
6   c
7   implicit real*8(a-h,o-z)
8   character*6 stdon , strat
9   dimension tx(30),ty(30),iresx(30),iresy(30),iresr(30),ih(90),
10  1j1(30),j2(30),as(30),ai(30),ai(30),iad(6),maxa(100),grk(700),
11  2amat(6,6),w(30),fc(30,3,2),f1(6),fg(6),vc(90),ncc(30),rx(30),
12  3ry(30),rz(30)
13  c
14  print *,'          *****'
15  print *,'          **FICHIER DE LECTURE DES DONNEES ? **'
16  print *,'          *****'
17  read 99 ,stdon
18  print *,'          *****'
19  print *,'          **FICHIER DE LECTURE DES RESULTATS ? **'
20  print *,'          *****'
21  read 99 ,strat
22  open (unit=5,file=stdon)
23  open (unit=6,file=strat)
24  rewind (5)
25  rewind (6)
26  c
27  c      DONNEES GENERALES
28  c
29  print 2
30  read *,nel,nod,ndl,nnr,icc,e
31  print 10,nel,nod,nnr,icc,e
32  nk=2*ndl
33  nn=ndl*nod
34  nx=nn+1
35  c
36  do 90 i=1,nod
37  iresx(i)=0
38  iresy(i)=0
39  90 iresr(i)=0
40  c
41  c      COORDONNEES DES NOEUDS
42  c
43  print 11
44  do 100 i=1,nod
45  read  *,k,tx(k),ty(k)
46  100 print 12,k,tx(k),ty(k)
47  c
48  c      RESTRIEINTES AUX NOEUDS
49  c
50  print 13
51  do 110 i=1,nnr
52  read  *,k,iresx(k),iresy(k),iresr(k)
53  110 print 14,k,iresx(k),iresy(k),iresr(k)
54  c
55  c
56  c      DONNEES ET CONNECTIVITE DES ELEMENTS
57  c
58  print 15
59  do 120 i=1,nel
60  read  *,k,j1(k),j2(k),as(k),ai(k)
61  al(k)=dsqrt((tx(j2(k))-tx(j1(k)))**2+(ty(j2(k))-ty(j1(k)))**2)
62  120 print 16,k,j1(k),j2(k),as(k),ai(k),al(k)
63  c
64  c      calcul de l'adresse des diagonales
65  c

```

```

66   c      do 130 i=1,nn
67   130    ih(i)=0
68   c
69   do 140 k=1,nel
70   jj1=j1(k)
71   jj2=j2(k)
72   call adres(jj1,jj2,ndl,nk,iad)
73   mi=iad(1)
74   c
75   do 150 i=1,nk
76   150    if(iad(i).lt.mi) mi=iad(i)
77   do 160 i=1,nk
78   ii=iad(i)
79   iht=ii-mi
80   ihi=ih(ii)
81   if(iht.gt.ihi) ih(ii)=iht
82   160    continue
83   140    continue
84   maxa(1)=1
85   maxa(2)=2
86   do 170 i=2,nn
87   170    maxa(i+1)=maxa(i)+ih(i)+1
88   nwk=maxa(nn+1)-1
89   print *, 'nombre d''equations      = ', nn
90   print *, 'espace requis pour grk = ', nwk
91   c
92   c      RIGIDITE DES ELEMENTS ET ASSEMBLAGE
93   c
94   do 180 i=1,nwk
95   180    grk(i)=0.d0
96   c
97   do 190 i=1,nel
98   c
99   jj1=j1(i)
100  jj2=j2(i)
101  asi=as(i)
102  aii=ai(i)
103  ali=al(i)
104  cs=(tx(jj2)-tx(jj1))/ali
105  sn=(ty(jj2)-ty(jj1))/ali
106  call adres(jj1,jj2,ndl,nk,iad)
107  call rigel(amat,nk,e,asi,aii,ali,cs,sn)
108  call assemb(iad,ndl,nk,amat,grk,nwk,maxa,nx,nn)
109  190    continue
110  c
111  c      INTRODUCTION DES RESTRIINTES
112  c
113  do 200 i=1,nod
114  if(iresx(i).eq.1) grk(maxa(3*i-2))=grk(maxa(3*i-2))+1.d20
115  if(iresy(i).eq.1) grk(maxa(3*i-1))=grk(maxa(3*i-1))+1.d20
116  if(iresr(i).eq.1) grk(maxa(3*i   ))=grk(maxa(3*i   ))+1.d20
117  200    continue
118  c
119  call tripId (grk,maxa,nn,nwk,nx)
120  c
121  c      INTRODUCTION DES CHARGES
122  c
123  do 210 ii = 1 , icc
124  c
125  do 220 i=1,nel
126  w(i)=0.d0
127  ncc(i)=0.d0
128  do 220 j=1,3
129  do 220 k=1,2
130  220  fc(i,j,k)=0.d0
131  do 230 i = 1 , nn

```

```

132 230    vc(i) = 0.0d0
133 c
134     print 1
135     print 33,ii
136     read *,nnch
137     if(nnch.gt.0) print 23
138     if(nnch.gt.0) print 25 ,nnch
139     if(nnch.gt.0) print 24
140     do 240 i = 1 , nnch
141     read * , k,vc(k*ndl-2),vc(k*ndl-1),vc(k*ndl)
142     print 26 , k,vc(k*ndl-2),vc(k*ndl-1),vc(k*ndl)
143 240     continue
144 c
145     read * , nelcu
146     if (nelcu.ne.0) print 27
147     if (nelcu.ne. 0) print 28 , nelcu
148     if (nelcu.ne. 0) print 29
149     do 250 i = 1 , nelcu
150     read * , k , w(k)
151     if(nelcu.ne.0) print 12 , k , w(k)
152 250     continue
153 c
154     read * , nelcc
155     if (nelcc.ne. 0) print 60 , nelcc
156     do 260 i =1,nelcc
157     read * , k,ncc(k)
158     ncck=ncc(k)
159     do 270 j = 1 , ncck
160     read * , (fc(k,j,l),l=1,2)
161     if(nelcc.ne.0) print 30 ,k,j,(fc(k,j,l),l=1,2)
162 270     continue
163 260     continue
164 c
165 c          VECTEUR CHARGE
166 c
167 c          f1      :vecteur charge equiv. locale
168 c          fg      :vecteur charge equiv globale
169 c
170 c
171     do 290 i = 1 , nel
172     ali = al(i)
173     jj1 = j1(i)
174     jj2 = j2(i)
175     cs = (tx(jj2)-tx(jj1)) / ali
176     sn = (ty(jj2)-ty(jj1)) / ali
177     wi = w(i)
178     call equiv(fg,f1,nk,wi,fc,cs,sn,i,ali)
179 c
180     do 300 j = 1,ndl
181     iad(j) = ndl*(jj1 - 1) + j
182 300     iad(j+ndl) = ndl*(jj2 - 1) + j
183 c
184     do 310 j = 1 , nk
185     vc(iad(j))=vc(iad(j))-fg(j)
186 310     continue
187 c
188 290     continue
189 c
190 c          SOLUTION DES EQUATIONS - DEPLACEMENTS
191 c
192     call sol(grk,vc,maxa,nn,nwk,nx)
193 c
194     print 38
195     do 320 i=1,nod
196 320     print 35 ,i,vc(3*i-2),vc(3*i-1),vc(3*i)
197 c

```

```

198 c      CALCUL DES EFFORTS INTERNES
199 c
200     print 1
201     print 40
202 c
203     do 330 i=1,nel
204 c
205     jj1=j1(i)
206     jj2=j2(i)
207     asi=as(i)
208     aii=ai(i)
209     ali=al(i)
210     wi=w(i)
211     neci=nec(i)
212     cs=(tx(jj2)-tx(jj1))/ali
213     sn=(ty(jj2)-ty(jj1))/ali
214     call adres(jj1,jj2,ndl,nk,iad)
215     call rigel(amat,nk,e,asi,aii,ali,cs,sn)
216     call equiv(fg,f1,nk,wi,fc,cs,sn,i,ali)
217 c
218     do 340 k=1,nk
219     f1(k)=fg(k)
220     fg(k)=0.d0
221     do 350 j=1,nk
222     350   fg(k)=fg(k)+amat(k,j)*vc(iad(j))
223     340   fg(k)=fg(k)+f1(k)
224 c
225     f1(1)= fg(1)*cs+fg(2)*sn
226     f1(2)=-fg(1)*sn+fg(2)*cs
227     f1(3)= fg(3)
228     f1(4)= fg(4)*cs+fg(5)*sn
229     f1(5)=-fg(4)*sn+fg(5)*cs
230     f1(6)= fg(6)
231 c
232     if(mod(i,2).eq.0.and.i.gt.2) print 1
233     if(mod(i,2).eq.0.and.i.gt.2) print 40
234     print 61
235     print 17
236     print 35,i,(f1(j),j=1,3)
237     print 18
238     print 35,i,(f1(j),j=4,6)
239     xn1=f1(1)
240     xv1=f1(2)
241     xm1=f1(3)
242     call forc(xn1,xv1,xm1,wi,fc,ali,i)
243 c
244 330   continue
245 c
246 c      CALCUL DES REACTIONS
247 c
248     print 39
249     do 360 i=1,nod
250 c
251     if(iresx(i).eq.1) go to 144
252     go to 143
253 144   rx(i)=-vc(3*i-2)*1.d20
254     print 50 , i,rx(i)
255 143   if(iresy(i).eq.1) go to 146
256     go to 145
257 146   ry(i)=-vc(3*i-1)*1.d20
258     print 51 , i,ry(i)
259 145   if(iresr(i).eq.1) go to 147
260     go to 148
261 147   rz(i)=-vc(3*i )*1.d20
262     print 52 , i,rz(i)
263 148   continue

```

```

264     if((iresx(i).eq.1).or.(iresy(i).eq.1).or.(iresr(i).eq.1)) 1
265         print 4
266 360     continue
267 210     continue
268 c
269 c      FORMATS D'ECRITURE
270 c
271 1     format('1')
272 2     format(' ',t10,'DONNEES GENERALES'//',t8,21('*'))
273 4     format(/)
274 10    format(' ',t10,'nombre d''elements -----',t38,i5/
275     1     ' ',t10,'nombre de noeuds -----',t38,i5/
276     2     ' ',t10,'nombre de noeuds restreints=',t38,i5/
277     3     ' ',t10,'nombre de cas de chargement=',t38,i5/
278     3     ' ',t10,'module d''elasticite -----',t38,d10.3)
279 11    format(' ',t8,22('*')//',t10,'DONNEES DES NOEUDS'//',t8
280 1,22('*')//',t8,'noeud',7x,'coordx',10x,'coordy')
281 12    format(' ',5x,i5,2(5x,f10.3))
282 13    format(' ',t8,25('*')/t10,'RESTREINTES AUX NOEUDS'//',
283     1     t8,25('*')/ t16,'noeud',12x,'iresx',12x,'iresy',12x,'iresr')
284 14    format(' ',4(12x,i5))
285 15    format(' ',t8,24('*')/t10,'DONNEES DES ELEMENTS'//',
286     1     t8,24('*')//',t8,'elmt',t18,'noeud1',t28,'noeud2',
287     2     t42,'aire',t57,'inertie',t74,'longueur')
288 16    format(' ',3(5x,i5),3(7x,d10.3))
289 17    format(' ',t8,'elmt',t23,'ng',t40,'vg',t57,'mg')
290 18    format(' ',t23,'nd',t40,'vd',t57,'md')
291 23    format(' ',t20,22('*'),' ',t22,'charges aux noeuds',//',t20,
292 122('*'))
293 24    format(' ',t8,'noeud',t26,'fx',t46,'fy',t64,'moment')
294 25    format(' ',t8,'nombre de noeuds charges =',i5/)
295 26    format(' ',5x,i5,3(10x,d10.3))
296 27    format(' ',t20,'**charge en travee**',//',t20,20('*'))
297 28    format(' ',t10,'nombre d''elements avec charge uniforme =',i5/)
298 29    format(' ',t10,'elmt',t22,'W')
299 30    format(' ',t10,i3,i7,5x,2d10.3)
300 33    format(' ',t8,25('*')/t10,'CAS DE CHARGEMENT NO.',t31,i5/
301 1t9,25('*'))
302 35    format(' ',5x,i5,6(5x,d12.4))
303 36    format(' ',t10,'nombre d''equations',t31,i5/)
304 37    format(' ',t10,'espace requis par grk',t31,i5/)
305 38    format(' ',t8,15('*')//',t10,'DEPLACEMENTS'//',t8,15('*')/
306 1/t8,'noeud',t24,'dx',t40,'dy',t56,'rot.')
307 39    format(' ',t12,13('*')//',t14,'REACTIONS'//',t12,13('*'))
308 40    format(' ',t8,19('*')//',t10,'EFFORTS INTERNES'//',t8,19('*'))
309 41    format(' ',5x,i5,6(5x,d12.4))
310 50    format(' ',t10,'noeud',t16,i2,t19,'rx=',f12.4)
311 51    format(' ',t10,'noeud',t16,i2,t19,'ry=',f12.4)
312 52    format(' ',t10,'noeud',t16,i2,t19,'rz=',f12.4)
313 59    format(' ',i5)
314 60    format(' ',t10,'nombre d''elements avec charges concentrees=',i5
315 1//',t10,'elmt',3x,'no. ch.',5x,'fy',8x,' x')
316 61    format(' ',t20,'**en bouts de membrure**',//',t20,24('*'))
317 99    format(a6)
318 c
319     close(unit=5)
320     close(unit=6)
321 c
322     stop
323     end
324 c
325     subroutine adres(jj1,jj2,ndl,n,iad)
326 c
327     dimension iad(n)
328     do 1 i=1,ndl
329     iad(i)=ndl*(jj1-1)+i

```

```
330 1      iad(i+ndl)=ndl*(jjz-1)+i
331      return
332      end
333  c
334      subroutine rigel(sm,n,e,asi,aifi,ali,cs,sn)
335  c
336      implicit real*8(a-h,o-z)
337      dimension sm(n,n)
338  c
339      do 1 i=1,n
340      do 1 j=1,n
341 1     sm(i,j)=0.d0
342  c
343      cax=e*asi/ali
344      a1=4.d0*e*aifi/ali
345      a2=2.d0*e*aifi/ali
346      a3=6.d0*e*aifi/(ali**2)
347      a4=12.d0*e*aifi/(ali**3)
348  c
349      d1=cax*(cs**2)+a4*(sn**2)
350      d2=(cax-a4)*cs*sn
351      d3=cax*(sn**2)+a4*(cs**2)
352      d4=-a3*sn
353      d5=a3*cs
354  c
355      sm(4,1)=-d1
356      sm(1,1)= d1
357      sm(4,4)= d1
358      sm(2,1)= d2
359      sm(4,2)=-d2
360      sm(5,1)=-d2
361      sm(5,4)= d2
362      sm(2,2)= d3
363      sm(5,2)=-d3
364      sm(5,5)= d3
365      sm(3,1)= d4
366      sm(4,3)=-d4
367      sm(6,1)= d4
368      sm(6,4)=-d4
369      sm(3,2)= d5
370      sm(5,3)=-d5
371      sm(6,2)= d5
372      sm(6,5)=-d5
373      sm(3,3)= a1
374      sm(6,6)= a1
375      sm(6,3)= a2
376  c
377      do 2 i=1,n
378      do 2 j=i,n
379 2     sm(i,j)=sm(j,i)
380      return
381      end
382  c
383      subroutine assemb(iad,ndl,nk,ptk,grk,nwk,maxa,nx,nn)
384  c
385      implicit real*8(a-h,o-z)
386      dimension iad(nk),ptk(nk,nk),grk(nwk),maxa(nx)
387  c
388      do 3 i=1,nk
389      ii=iad(i)
390      do 2 j=1,nk
391      jj=iad(j)
392      if(jj.lt.ii) go to 2
393      k=maxa(jj)+jj-ii
394      grk(k)=grk(k)+ptk(i,j)
395 2     continue
```

```

396   3      continue
397      return
398      end
399  c
400      subroutine tripld (a,maxa,nn,nwk,nnm)
401  c
402      implicit real*8(a-h,o-z)
403      dimension a(nwk),maxa(nn)
404  c
405      do 140 n=1,nn
406      kn=maxa(n)
407      kl=kn+1
408      ku=maxa(n+1)-1
409      kh=ku-kl
410      if(kh) 110,90,50
411  50      k=n-kh
412      ic=0
413      klt=ku
414      do 80 j=1,kh
415      ic=ic+1
416      klt=klt-1
417      ki=maxa(k)
418      nd=maxa(k+1)-ki-1
419      if(nd) 80,80,60
420  60      kk=min(ic,nd)
421      c=0.d0
422      do 70 l=1,kk
423      c=c+a(ki+l)*a(klt+l)
424      a(klt)=a(klt)-c
425  80      k=k+1
426  90      k=n
427      b=0.d0
428      do 100 kk=kl,ku
429      k=k-1
430      ki=maxa(k)
431      c=a(kk)/a(ki)
432      b=b+c*a(kk)
433  100     a(kk)=c
434      a(kn)=a(kn)-b
435  110     if(a(kn)) 120,120,140
436  120     print 1000,n
437     stop
438  1000    format('matrice singuliere rangee',i5)
439  140     continue
440     return
441     end
442     subroutine equiv (fg,f1,nk,wc,fc,cs,sn,k,cl)
443  c
444  c      CHARGES EQUIVALENTES AUX NOEUDS
445  c      SYSTEME GLOBAL
446  c
447  c          f1      :charges suiv. syts. local
448  c          fg      :charges suiv. syts. global
449  c
450      implicit real*8(a-h,o-z)
451      dimension f1(6),fg(6),fc(30,3,2)
452  c
453      f1(1) = 0.d0
454      f1(2) = -wc * cl / 2.d0
455      f1(3) = -wc * cl**2 / 12.d0
456      f1(4) = 0.d0
457      f1(5) = -wc * cl / 2.d0
458      f1(6) = -f1(3)
459  c
460      do 1 j = 1 , 3
461      p = fc(k,j,1)

```

```

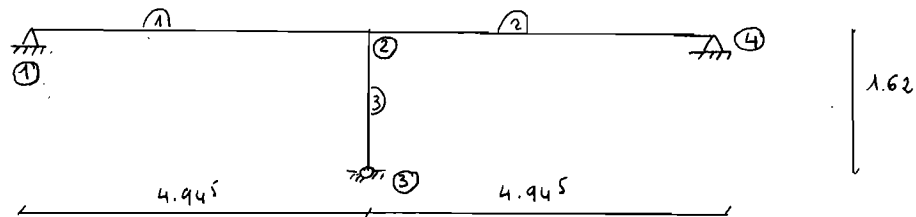
462      ek = fc(k,j,z) / cl
463      f1(2) = f1(2) - p * (1.d0 + 2.d0 * ek) * (1.d0 - ek)**2
464      f1(3) = f1(3) - p * ek * cl * (1.d0 - ek)**2
465      f1(5) = f1(5) - p * ek**2 * (3.d0 - 2.d0 * ek)
466      f1(6) = f1(6) + p * ek**2 * cl * (1.d0 - ek)
467 1    continue
468 c
469      fg(1) = f1(1) * cs - f1(2) * sn
470      fg(2) = f1(1) * sn + f1(2) * cs
471      fg(3) = f1(3)
472      fg(4) = f1(4) * cs - f1(5) * sn
473      fg(5) = f1(4) * sn + f1(5) * cs
474      fg(6) = f1(6)
475 c
476      return
477 end
478 c
479 subroutine sol(a,v,maxa,nn,nwk,nnm)
480 c
481 c.      RESOLUTION POUR LARGEUR DE BANDE VARIABLE
482 c
483 c          a      :matrice decomposee
484 c          v      :vecteur chargement
485 c
486 implicit real*8(a-h,o-z)
487 dimension a(nwk),maxa(nnm),v(nn)
488 c
489 do 180 n = 1 , nn
490 k1 = maxa(n) + 1
491 ku = maxa(n + 1) - 1
492 kukl=kukl-k1
493 if(kukl) 180, 160, 160
494 160 k = n
495 c = 0.d0
496 do 170 kk = k1 , ku
497 k = k - 1
498 170 c = c + a(kk) * v(k)
499 v(n) = v(n) - c
500 180 continue
501 c
502 c      substitution a rebours
503 c
504 do 200 n = 1 , nn
505 k = maxa(n)
506 200 v(n) = v(n) / a(k)
507 n = nn
508 do 230 l = 2 , nn
509 k1 = maxa(n) + 1
510 ku = maxa(n + 1) - 1
511 kukl=kukl-k1
512 if(kukl) 230 , 210 , 210
513 210 k = n
514 do 220 kk = k1 , ku
515 k = k - 1
516 220 v(k) = v(k) - a(kk) * v(n)
517 230 n = n - 1
518 return
519 end
520 c
521 c
522 subroutine forc(xn1,xv1,xm1,wi,fc,ali,k)
523 c
524 implicit real*8(a-h,o-z)
525 dimension fc(30,3,2)
526 c
527 print 56

```

```
528     p1=0.d0
529     p2=p1
530     p3=P2
531     x1=fc(k,1,2)
532     x2=fc(k,2,2)
533     x3=fc(k,3,2)
534     x=0.d0
535   c
536       do 20 i=1,11
537   c
538       if(x.gt.x1) go to 10
539       go to 100
540 10    continue
541   c
542       if(x.gt.x2.and.x2.gt.x1) go to 11
543       p1=fc(k,1,1)
544       go to 100
545 11    continue
546   c
547       if(x.gt.x3.and.x3.gt.x2) go to 12
548       p1=fc(k,1,1)
549       p2=fc(k,2,1)
550       go to 100
551   c
552 12    p1=fc(k,1,1)
553    p2=fc(k,2,1)
554    p3=fc(k,3,1)
555   c
556 100   an=-xni
557   av=-xvi-p1-p2-p3-wi*x
558   am=-av*x-xm1-wi*x**2/2.d0-p1*x1-p2*x2-p3*x3
559   print 53,x,an,av,am
560   x=x+.1d0*ali
561 20    continue
562 53    format(' ',5x,f7.2,3(5x,f12.3))
563 56    format(/t20,'**aux 10eme de portee**'
564 1/t20,24('*')/t10,' X',t26,'N',t43,'V',t60,'M')
565   return
566   end
```

3.3) EXEMPLE DE FICHIER DE DONNEES

Gravée 26-27



3 4 3 3 3 1	2
1 0. 1.65	1 -37,0
-2 4,945 1.65	2 -37,0
3 4,945 0.	0
4 9,89 1.65	2 ^e cas
	0
1 1 1 0	2
3 1 1 0	1 -14,8
4 1 1 0	2 -14,8
	0
1 1 2 0.06 4,5d-4	3 ^e cas
2 2 4 0.06 4,5d-4	0
3 2 3 0.04 1.33d-4	1
	1 -14,8
1 ^e cas	0
3	
1 0. -97,0 0.	
2 0. -234,0 0.	
4 0. -97,0 0.	

4.1) Dimensionnement des poutrelles et poutres

Les poutres et les poutrelles travaillent en flexion simple.

Le principe de dimensionnement en flexion simple comporte essentiellement trois étapes

a) Choix de la section de béton.

Comme la largeur est fixée par les plans architecturaux, nous choisissons une poutre rectangulaire de hauteur h_t définie par: $\frac{1}{16} l \leq h_t \leq \frac{1}{12} l$ où l est la portée entre murs de poteaux. (voir Guérin et LAVALIR, Traité de béton armé T.4)

b) Choix de l'acier d'armatures longitudinales et transversales aux endroits où les sollicitations sont maximales

c) Détermination des points de terminaison des barres.

Nous nous proposons de présenter le calcul détaillé de la poutrelle N1 ainsi que les poutres du 2^e étage.

Par la suite, nous présenterons sous forme tabulaire les autres mercuries et poutres des autres étages car leur dimensionnement se fait suivant le même principe en annexe 2.

3 / 4. EXEMPLE DE FICHIER DE RESULTATS

DE LA TRAVEE 26.27

7 Avr 09:35 1986 pte05 Page 2

CAS DE CHARGEMENT NO. 1

charges aux noeuds

nombre de noeuds charges = 3

noeud	fx	moment	
1	.000d+00	-0.970d+02	.000d+00
2	.000d+00	-0.234d+03	.000d+00
4	.000d+00	-0.970d+02	.000d+00

charge en travee

nombre d'elements avec charge uniforme = 2

elmt	w
1	-37.000
2	-37.000

DEPLACEMENTS

noeud	dx	dy	rot.
1	-0.3056d-33	-0.1657d-17	-0.4718d+06
2	-0.2518d-11	-0.1908d+05	0.4080d-09
3	0.6164d-33	-0.4625d-17	-0.1965d-09
4	-0.3009d-33	-0.1657d-17	0.4718d+06

EFFORTS INTERNES

en bouts de membrure

eImt	ng	vg	mg
1	0.3056d-13	0.6871d+02	-0.1421d-13
	nd	vd	md
1	-0.3056d-13	0.1143d+03	-0.1126d+03

aux 10-eme de portee

X	N	V	M
.00	0.000	-68.707	0.000
.49	0.000	-50.410	29.452
.99	0.000	-32.114	49.856
1.48	0.000	-13.817	61.212
1.98	0.000	4.479	63.521
2.47	0.000	22.776	56.782
2.97	0.000	41.072	40.995
3.46	0.000	59.369	16.161
3.96	0.000	77.665	-17.721
4.45	0.000	95.962	60.650
4.95	0.000	114.258	-112.627

en bouts de membrure

eImt	ng	vg	mg
2	-0.3056d-13	0.1143d+03	0.1126d+03
	nd	vd	md
2	0.3056d-13	0.6871d+02	0.0000d+00

aux 10-eme de portee

X	N	V	M
.00	0.000	-114.258	-112.627
.49	0.000	95.962	60.650
.99	0.000	-77.665	-17.721
1.48	0.000	-59.369	16.161
1.98	0.000	-41.072	40.995
2.47	0.000	-22.776	56.782
2.97	0.000	-4.479	63.521
3.46	0.000	13.817	61.212
3.96	0.000	32.114	49.856
4.45	0.000	50.410	29.452
4.95	0.000	68.707	0.000

en bouts de membrure

7 Avr 09:35 1986 pte05 Page 4

eImt	ng	vg	mg
3	0.4625d+03	0.6111d-13	0.9914d-13
	nd	vd	md
3	-0.4625d+03	-0.6111d-13	0.1694d-14

aux 10-eme de portee

X	N	V	M
.00	-462.517	0.000	0.000
.17	-462.517	0.000	0.000
.33	-462.517	0.000	0.000
.50	-462.517	0.000	0.000
.66	-462.517	0.000	0.000
.83	-462.517	0.000	0.000
.99	-462.517	0.000	0.000
1.16	-462.517	0.000	0.000
1.32	-462.517	0.000	0.000
1.49	-462.517	0.000	0.000
1.65	-462.517	0.000	0.000

REACTIONS

noeud 1 rx= 0.0000
 noeud 1 ry= 165.7065

noeud 3 rx= 0.0000
 noeud 3 ry= 462.5169

noeud 4 rx= 0.0000
 noeud 4 ry= 165.7065

7 Avr 09:35 1986 pte05 Page 5

CAS DE CHARGEMENT NO. 2

charge en travee

nombre d'elements avec charge uniforme = 2

eImt	w
1	-14.800
2	-14.800

DEPLACEMENTS

noeud	dx	dy	rot.
1	-0.1157d-33	-0.2746d-18	-0.1876d+06
2	-0.9539d-12	-0.3772d+04	0.1638d-09
3	0.2309d-33	-0.9145d-18	-0.8367d-10
4	-0.1204d-33	-0.2746d-18	0.1876d+06

EFFORTS INTERNES

en bouts de membrure

eimt	ng	vg	mg
1	0.1157d-13	0.2746d+02	0000d+00
	nd	vd	md
1	-0.1157d-13	0.4572d+02	-0.4515d+02

aux 10-eme de portee

X	N	V	M
.00	0.000	-27.463	.000
.49	0.000	-20.145	11.771
.99	0.000	-12.826	19.923
1.48	0.000	-5.508	24.456
1.98	0.000	1.811	25.370
2.47	0.000	9.130	22.665
2.97	0.000	16.448	16.341
3.46	0.000	23.767	6.398
3.96	0.000	31.085	-7.164
4.45	0.000	<u>38.404</u>	-24.345
4.95	0.000	45.723	-45.146

en bouts de membrure

eimt	ng	vg	mg
2	-0.1157d-13	0.4572d+02	0.4515d+02
	nd	vd	md
2	0.1157d-13	0.2746d+02	0000d+00

aux 10-eme de portee

X	N	V	M
.00	0.000	-45.723	-45.146
.49	0.000	-38.404	-24.345
.99	0.000	-31.085	-7.164
1.48	0.000	-23.767	6.398
1.98	0.000	-16.448	16.341
2.47	0.000	-9.130	22.665
2.97	0.000	-1.811	25.370
3.46	0.000	5.508	24.456
3.96	0.000	12.826	19.923
4.45	0.000	20.145	11.771
4.95	0.000	27.463	0.000

en bouts de membrure

7 Avr 09:35 1986 pte05 Page 7

e1mt	ng	vg	mg
3	0.9145d+02	0.2315d-13	0.3905d-13
	nd	vd	md
3	-0.9145d+02	-0.2315d-13	-0.8510d-15

aux 10-eme de portee

X	N	V	M
.00	-91.445	0.000	0.000
.17	-91.445	0.000	0.000
.33	-91.445	0.000	0.000
.50	-91.445	0.000	0.000
.66	-91.445	0.000	0.000
.83	-91.445	0.000	0.000
.99	-91.445	0.000	0.000
1.16	-91.445	0.000	0.000
1.32	-91.445	0.000	0.000
1.49	-91.445	0.000	0.000
1.65	-91.445	0.000	0.000

REACTIONS

noeud 1 rx= 0.0000
 noeud 1 ry= 27.4635

noeud 3 rx= 0.0000
 noeud 3 ry= 91.4451

noeud 4 rx= 0.0000
 noeud 4 ry= 27.4635

7 Avr 09:35 1986 pte05 Page 8

CAS DE CHARGEMENT NO. 3

charge en travee

nombre d'elements avec charge uniforme = 1

elmt W
1 -14.800

DEPLACEMENTS

noeud	dx	dy	rot.
1	-0.6830d-19	-0.2975d-18	-0.2338d+06
2	-0.5629d+03	-0.1886d+04	0.9354d+05
3	0.1366d-18	-0.4572d-18	-0.4626d+05
4	-0.6830d-19	0.2286d-19	-0.4620d+05

EFFORTS INTERNES

en bouts de membrure

e1mt	ng	vg	mg
1	0.6830d+01	0.2975d+02	-0.3908d-13
	nd	vd	md
1	-0.6830d+01	0.4344d+02	-0.3384d+02

aux 10-eme de portee

X	N	V	M
.00	-6.830	-29.749	0.000
.49	-6.830	-22.431	12.902
.99	-6.830	-15.112	22.184
1.48	-6.830	-7.794	27.847
1.98	-6.830	-4.475	29.892
2.47	-6.830	6.844	28.317
2.97	-6.830	14.162	23.124
3.46	-6.830	21.481	14.311
3.96	-6.830	28.799	1.879
4.45	-6.830	36.118	-14.172
4.95	-6.830	43.437	-33.842

en bouts de membrure

e1mt	ng	vg	mg
2	-0.6830d+01	0.2286d+01	0.1130d+02
	nd	vd	md
2	0.6830d+01	-0.2286d+01	-0.1776d-14

aux 10-eme de portee

X	N	V	M
.00	6.830	-2.286	-11.304
.49	6.830	-2.286	-10.173
.99	6.830	-2.286	-9.043
1.48	6.830	-2.286	-7.913
1.98	6.830	-2.286	-6.782
2.47	6.830	-2.286	-5.652
2.97	6.830	-2.286	-4.522
3.46	6.830	-2.286	-3.391
3.96	6.830	-2.286	-2.261
4.45	6.830	-2.286	-1.130
4.95	6.830	-2.286	0.000

en bouts de membrure

7 Avr 09:35 1986 pte05 Page 10

elmt	ng	vg	mg
3	0.4572d+02	0.1366d+02	0.2254d+02
	nd	vd	md
3	-0.4572d+02	-0.1366d+02	-0.3553d-14

aux 10-eme de portee

X	N	V	M
.00	-45.723	-13.659	-22.538
.17	-45.723	-13.659	-20.284
.33	-45.723	-13.659	-18.030
.50	-45.723	-13.659	-15.777
.66	-45.723	-13.659	-13.523
.83	-45.723	-13.659	-11.269
.99	-45.723	-13.659	-9.015
1.16	-45.723	-13.659	-6.761
1.32	-45.723	-13.659	-4.508
1.49	-45.723	-13.659	-2.254
1.65	-45.723	-13.659	0.000

REACTIONS

noeud 1 rx=	6.8297
noeud 1 ry=	29.7494

noeud 3 rx=	-13.6594
noeud 3 ry=	45.7225

noeud 4 rx=	6.8297
noeud 4 ry=	-2.2859

CHAP. A.

DIMENSIONNEMENT

DES DIFFERENTS OUVRAGES

4.1.1) Dimensionnement des nervures du type N1

Après analyse structurale, nous avons obtenus les résultats suivants :

Moment en travée maximal : $M_t = 10,85 \text{ kN.m}$

Moment aux appuis maximal $M_e = -17,50 \text{ kN.m}$

Effort tranchant aux appuis externes $V_u = 10,87 \text{ kN}$

- à l' " " " intermédiaires $V_u = 18,11 \text{ kN}$

- " " " au tiers intermédiaire $V_u = 12,32 \text{ kN}$

- détermination des armatures longitudinales

a) Calcul de $\bar{\tau}_b b h_0 (d - \frac{h_0}{2})$

$$\bar{\tau}_b = \frac{0,85 f_{c28}}{\gamma_b} = \frac{0,85 \times 20}{1,5} = 11,4 \text{ MPa}$$

$$h_0 = 4 \text{ cm}$$

$$d = 0,9 h = 0,9 \times 24 = 21,6 \text{ cm}$$

$$b = 60 \text{ cm}$$

$$\text{d'où } \bar{\tau}_b b h_0 (d - \frac{h_0}{2}) = 11,4 [60 \times 4] \cdot (21,6 - \frac{4}{2}) = 53,626 \text{ N.m} \approx 54 \text{ kN.m}$$

$$\text{Or } M_{\max} = 10,85 < \bar{\tau}_b b h_0 (d - \frac{h_0}{2}) \quad \text{ok!}$$

Donc la nervure est une poutre rectangulaire

b) Calcul des armatures longitudinales nécessaires en travée

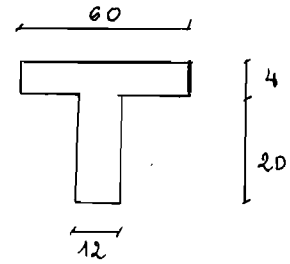
Pour cela, nous avons utilisé deux méthodes

$$1^{\text{e}} \text{ méthode : } \mu = \frac{M}{\bar{\tau}_b b d^2} = \frac{10,848}{11,4 \times 60 \times 21,6^2} \times 10^3 = 0,0340$$

$$\rightarrow \alpha = 0,0432 \quad \text{et } \beta = 0,983$$

d'où $d \leq 0,2593$ nous sommes dans le domaine de pivot A, alors

$$\text{la section des armatures } A = \frac{M}{\beta d \gamma_s} = \frac{10,848}{0,983 \times 21,6 \times 3,87} = 1,5 \text{ cm}^2$$



2^e méthode : Utilisation des abaques de Jean-Pierre Mougin

(Université de Savoie) Annales I.T.B.T.P. Fév 86)

Pour utiliser les aciers de haute adhérence Fe E 40

$$\left\{ \begin{array}{l} X = M/bd^2 = \frac{10,848 \times 10^3}{60 \times 21,6^2} = 0,388 \\ f_{c28} = 20 \text{ MPa} \\ \rightarrow A_s/bd = 1,1\% \end{array} \right.$$

d'où $A_s = 1,52 \text{ cm}^2 \Rightarrow 3 \text{ T}10$

Donc la première comme la deuxième méthode donnent la même valeur de A_s . Dans ce qui suit nous utiliserons cette dernière méthode pour le calcul des sections rectangulaires.

b) Calcul des armatures au droit des appuis

On prend le moment \bar{a} , $d = 0,9 \text{ m}$, $g \cdot h = 0,9 \times 2,5 = 0,23 \text{ m}$ de l'appui intermédiaire. d'où le moment de design M sera

$$M = -9,45 - \frac{17,45 - 9,45}{4,83 - 4,35} \times 0,23 = -13,31 \text{ kN.m}$$

$$\left. \begin{array}{l} X = \frac{13,330 \times 10^3}{60 \times 23^2} = 0,503 \\ f_{c28} = 20 \text{ MPa} \end{array} \right\} \quad \text{d'où } Y = \frac{A_s}{bd} = 2,5\%$$

donc $A = 2,5 \times \frac{60 \times 23}{1000} = 2,10 \text{ cm}^2 \Rightarrow 3 \text{ T}10$

Longueur de scellement $l_s = 50 \phi = 50 \times 1,2 = 60 \text{ cm}$

c) Armatures transversales

c-1) de l'appui extérieur jusqu'au tiers

$$V_u = 18,11 \text{ kN} \Rightarrow \tau_u = \frac{V_u}{b_0 d} = \frac{18,11 \times 10}{12 \times 21,6} = 0,70 \text{ MPa.}$$

$$\sigma_{u \max} = \text{Min}(0,13 f_{c28}, 4 \text{ MPa}) = 2,6 \text{ MPa} > \sigma_u = 0,70 \text{ MPa} \quad \text{OK!}$$

Pour les nervures, la fissuration est préjudiciable - car la ruine des nervures entraîne un non fonctionnement de une partie de l'ouvrage - d'où l'écartement entre les armatures S_t sera

$$S_t \leq \frac{0,8 f_e A_t}{b_0 \sigma_u}$$

Pour choisirons comme armature T8 $\Rightarrow A_t = 0,5 \text{ cm}^2$

Aussi, nous avons $f_e = 400 \text{ MPa}$ et $b_0 = 12 \text{ cm}$

$$\text{d'où } S_t \leq \frac{0,8 \times 400 \times 0,5}{12 \times \sigma_u} = \frac{13,3}{\sigma_u}$$

Pour $\sigma_u = 0,70 \text{ MPa}$, nous aurons $S_t \leq 19 \text{ cm}$ on choisit $S_t = 15 \text{ cm}$
l'écartement maximal $S_{t \max} = \text{Min}(0,9d, 40 \text{ cm}) = 19 > 15 \text{ cm}$ OK!

C-2) Au tiers intermédiaire

$$V_u = 12,32 \text{ kN} \rightarrow \sigma_u = \frac{V_u}{b_0 d} = \frac{12,32 \times 10}{12 \times 21,6} = 0,46 \text{ MPa}$$

$$\sigma_{u \max} = 2,6 \text{ MPa} > 0,46 \text{ MPa} \quad \text{OK!}$$

$$S_t \leq \frac{13,3}{0,46} = 28 \text{ cm} \quad \text{or} \quad S_{t \max} = 19 \text{ cm}$$

On choisit $S_t = 19 \text{ cm}$

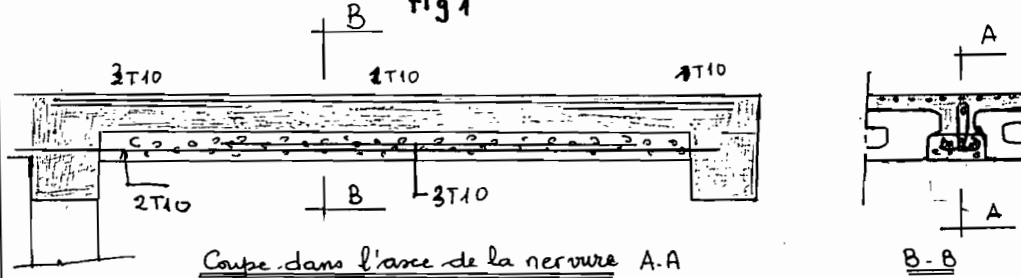
C-3) De l'appui interne - au tiers intermédiaire

$$V_u = 10,87 \text{ kN} \Rightarrow \sigma_u = \frac{V_u}{b_0 d} = \frac{10,87 \times 10}{12 \times 21,6} = 0,42 \text{ MPa}$$

donc $S_t = 15 \text{ cm}$

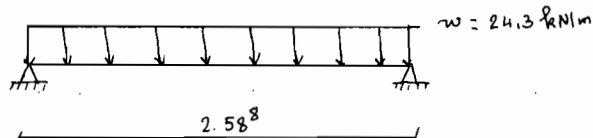
Donc nous aurons, au niveau de la nervure, la répartition suivante

fig 1



4.1.2 Dimensionnement des poutres 3, 6, 9, 12 (20x20)

Calcul des charges



$$\text{Moment maximal en travée} \quad M_m = \frac{w l^2}{10} = \frac{24.3 \times 2.58^2}{10} = 16.4 \text{ kNm}$$

$$\text{Moment aux appuis} \quad M = 0.3 M_0 = 0.3 \frac{w l^2}{8} = 0.3 \times \frac{24.3 \times 2.58^2}{8} = 6.2 \text{ kNm}$$

$$\text{Effort tranchant Max} \quad V_u = \frac{P l}{2} = \frac{24.3 \times 2.58}{2} = 31.6 \text{ kN}$$

Calcul des armatures longitudinales

a) en travée ($M = 16.4 \text{ kNm}$)

$$\left\{ \begin{array}{l} X = \frac{M u}{b d^2} = \frac{16.4 \times 10^3}{20 \times (25 \times 0.9)^2} = 1.62 \\ \rightarrow y = 5\% \end{array} \right.$$

$$f_{c28} = 20 \text{ MPa}$$

$$\text{d'où} \quad A_s = \frac{5}{1000} \times 20 \times (25 \times 0.9) = 2.25 \text{ cm}^2 \Rightarrow 3T10$$

b) Au droit des appuis ($M = 6.2 \text{ kNm}$)

$$\left\{ \begin{array}{l} X = \frac{6.2 \times 10^3}{20 \times (25 \times 0.9)^2} = 0.61 \\ \rightarrow y = 2\% \end{array} \right.$$

$$f_{c28} = 20 \text{ MPa}$$

$$\text{d'où} \quad A_s = \frac{2}{1000} \times 20 \times (25 \times 0.9) = 0.9 \text{ cm}^2 \Rightarrow 2T8$$

Calcul des armatures transversales

Effort tranchant de design V_{ud} sera

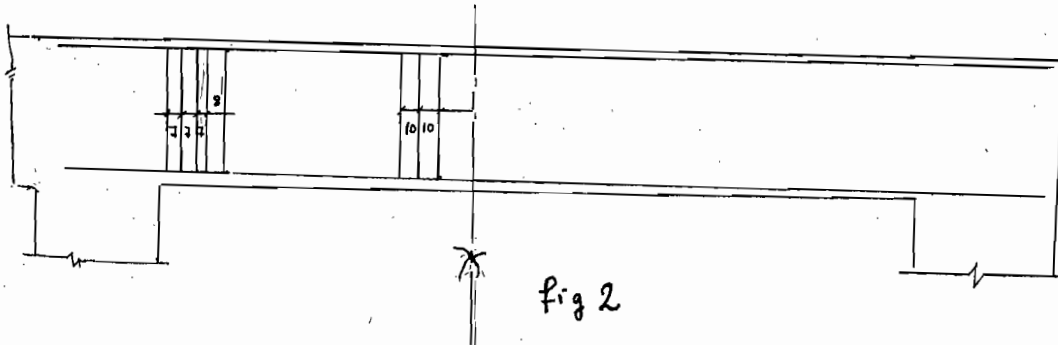
$$\frac{V_{ud}}{260 - 22.5} = \frac{31.6}{260} \Rightarrow V_u = 28.9 \text{ kN}$$

$$\gamma_u = \frac{V_u}{b_0 d} = \frac{28,9 \times 10}{20 \times 22,5} = 0,64 \leq \gamma_{u\max} = 2,6 \text{ MPa} \quad \text{OK!}$$

La fissuration est très préjudiciable avec $A_t = 0,28 \text{ cm}^2$ (T6)

$$S_t \leq \frac{0,8 f_e A_t}{b_0 \gamma_u} = \frac{0,8 \times 400 \times 0,28}{20 \times 0,64} = 7 \text{ cm}$$

Donc, la disposition sera la suivante



4.1.3) Dimensionnement des poutres 1-2-8-7 (20x30)

longueur entre axe $L = 3,115 \text{ m}$

Moment maximal en travée $M_m = 4,8 \text{ kN.m}$

Moment aux rapproches $M = -4,9 \text{ kN.m}$

Effort tranchant Max $V_u = 28,14 \text{ kN}$

Calcul des armatures longitudinales

$$\left\{ \begin{array}{l} X = \frac{4,9 \times 10^3}{20 \times 22,5^2} = 0,49 \\ \rightarrow \gamma = 1,5 \% \rightarrow A_s = \frac{1,5 \times 20 \times 22,5}{1000} = 0,68 \text{ cm}^2 \\ f_{c28} = 20 \text{ MPa} \end{array} \right. \text{ donc 2 T8}$$

Calcul des armatures transversales

$$V_u = 28,14 \text{ kN} \rightarrow \gamma_u = \frac{V_u}{b_0 d} = \frac{28,14 \times 10}{20 \times 22,5} = 0,25 < \gamma_{u\max}$$

La fissuration est très préjudiciale avec $A_t = 0,28 \text{ cm}^2$ (T6)

$$S_t \leq \frac{0,8 \times 400 \times 0,28}{20 \times 0,25} = 18 \text{ cm} \Rightarrow S = 15 \text{ cm}$$

La disposition de la poutre sera la suivante

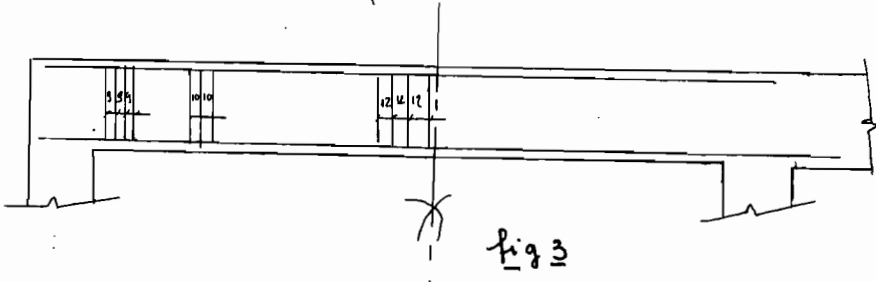


fig 3

4.1.4) Dimensionnement des poutres 4, 5, 10, 11 (20x30)

longueur entre axe $L = 3,115 \text{ m}$

Moment maximal en travée $M_m = 19,0 \text{ kN.m}$

Moment maximum aux appuis $M = -18,0 \text{ kN.m}$

effort tranchant de design $V_{u_d} = 46 \text{ kN}$, $V_{u_g} = 25 \text{ kN}$

Calcul des armatures longitudinales

Les moments $M_m \approx |M| = 19,0 \text{ kN.m}$

d'où

$$\left\{ \begin{array}{l} X = \frac{19,0 \times 10^3}{20 \times 27} = 1,3 \\ \rightarrow \gamma_f = 4,0 \% \rightarrow A_s = \frac{4,0}{1000} \times 20 \times 27 = 2,2 \text{ cm}^2 \\ f_{c28} = 20,0 \text{ MPa} \\ \rightarrow 3T10 \end{array} \right.$$

donc

Calcul des armatures transversales

Moitié droite de la poutre

$$V_u = 46 \text{ kN} \Rightarrow \gamma_u = \frac{V_u}{bd} = \frac{46 \times 10}{20 \times 27} = 0,85$$

fissuration très préjudiciable ($A = 0,28 \text{ cm}^2$ pour TG)

$$S_t \leq \frac{0,8 \times 400 \times 0,28}{20 \times 0,85} = 5,3 \text{ cm} \Rightarrow e = 5 \text{ cm}$$

Moitié gauche de la poutre

$$V_u = 25 \text{ kN} \Rightarrow \gamma_u = \frac{V_u}{bd} = \frac{25 \times 10}{20 \times 27} = 0,46$$

$$\text{d'où } S_t \leq \frac{0,8 \times 400 \times 0,28}{20 \times 0,46} = 9,7 \text{ cm} \Rightarrow e = 9 \text{ cm}$$

La disposition générale de la poutre sera

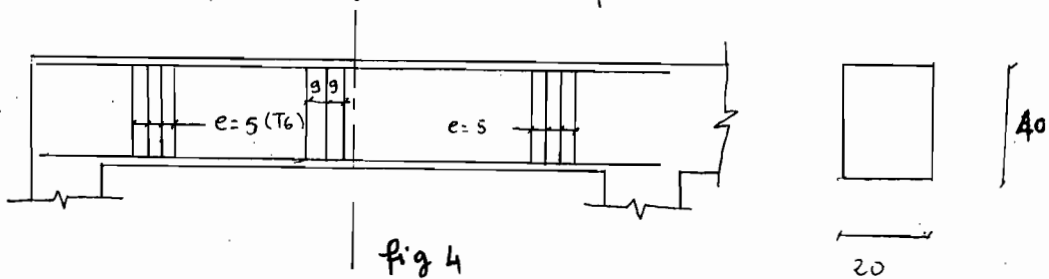


fig 4

4.1.5) Dimensionnement des poutres 14, 13 (20x40)

Longueur entre axes $L = 4,945 \text{ m}$

Moment maximal en travée $M_m = 70 \text{ kN.m}$

Moment à l'appui de l'île $M = -23,2 \text{ kN.m}$

Moment à l'appui intermédiaire $M = -80,0 \text{ kN.m}$

Effort tranchant de design $V_{ud} = 100 \text{ kN}$, $V_{ug} = 60 \text{ kN}$

Calcul des armatures longitudinales

. en travée ($M = 70 \text{ kN.m}$)

$$\left\{ \begin{array}{l} x = \frac{70 \times 10^3}{(40 \times 0,9)^2 \times 20} = 2,7 \\ \rightarrow \left\{ \gamma = 8,6 \%_0 \rightarrow A_s = \frac{8,6}{1000} \times 20 \times 360 = 6,2 \text{ cm}^2 \right. \\ f_{c28} = 20 \text{ MPa} \end{array} \right.$$

donc $A_s \Rightarrow 2 \text{ T20}$

. au droit de la rive ($M = 23,2 \text{ kN.m}$)

$$\left\{ \begin{array}{l} x = \frac{23,2 \times 10^3}{20 \times 36^2} = 1,13 \\ \rightarrow \left\{ \gamma = 4 \%_0 \rightarrow A_s = \frac{4}{1000} \times 27 \times 60 = 2,2 \text{ cm}^2 \right. \\ f_{c28} = 20 \text{ MPa} \end{array} \right.$$

Au droit du poteau intermédiaire

$$\left\{ \begin{array}{l} X = \frac{80 \times 10^3}{20 \times 32^2} = 31 \\ f_{c2g} = 20 \text{ MPa} \end{array} \right. \rightarrow y = \frac{A_s}{b d} = 10 \% \rightarrow A_s = \frac{10}{1000} \times 20 \times 32 = 7.3 \text{ cm}^2$$

donc nous avons 4T16

Calcul des armatures transversales

Mortie gauche de la poutre ($V_u = 60 \text{ kN}$)

$$V_u = 60 \text{ kN} \rightarrow \tau_u = \frac{60 \times 10}{20 \times 32} = 0,94 \text{ MPa} \rightarrow S_t \leq \frac{0,8 \times 400 \times 0,5}{20 \times 0,94} = 8,5 \text{ cm}$$

d'où T8 ($e = 8 \text{ cm}$)

Mortie droite de la poutre

$$V_u = 100 \text{ kN} \rightarrow \tau_u = \frac{100 \times 10}{20 \times 32} = 1,56 \text{ MPa} \rightarrow S_t \leq \frac{0,8 \times 400 \times 0,5}{20 \times 1,56} = 5 \text{ cm}$$

d'où T8 ($e = 5 \text{ cm}$)

La disposition générale sera

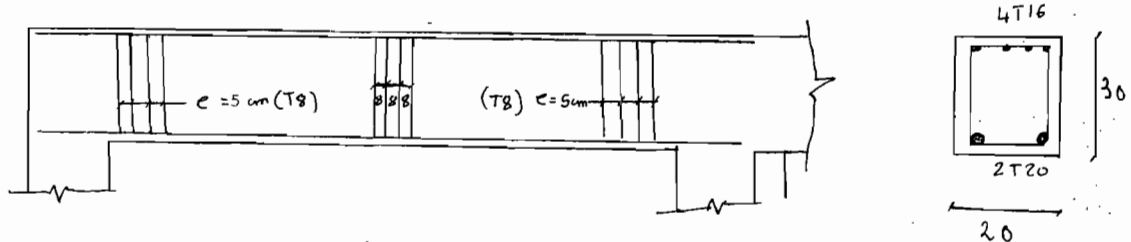


fig 5

4.2) Dimensionnement de la dalle pleine

Données :

$$h_t = 25 \text{ cm} \rightarrow d = 0, g h = 2,25 \text{ cm}$$

$$f_{c28} = 25 \text{ MPa} \rightarrow f_{t28} = 2,2 \text{ MPa}$$

Etat limite de service : $f_e E40$: $\tau_s = 240 \text{ MPa}$

Etat ultime de résistance $f_e E40$: $\tau_s = 348 \text{ MPa}$

$$G = 25 \times 0,25 = 6,25 \text{ kN/m}^2 ; Q = 3,0 \text{ kN/m}^2$$

La fissuration est préjudiciable.

Principe du dimensionnement

Bien qu'il y ait une ouverture, il faut considérer la dalle sans ouverture, puis la dimensionner comme telle et ensuite couper les barres dans l'ouverture pour renforcer les contours du trou.

Dimensionnement de la dalle

Calcul des moments

$$l_x = l_y = 7,0 \rightarrow l_x / l_y = 1,0$$

$$M_{Gx} = M_{Gy} = 0,0044 \times 6,2 \times 7,0^2 = 13,4 \text{ kN.m/m}$$

$$M_{Qx} = M_{Qy} = 0,0044 \times 3,0 \times 7,0^2 = 6,5 \text{ kN.m/m}$$

Prenons une largeur de dalle, dans une direction, n'importe : $b = 100 \text{ cm}$

Contrôle de la flèche (Art. 8G.5.2)

$$I_o = \frac{b h^3}{12} = \frac{100 \times 2,25^3}{12} = 34921,5 \text{ cm}^4$$

$$I_f = I_o \left(\frac{1}{1 + \lambda \mu} \right) \quad \text{or} \quad \mu = \min \left(0, 1 - \frac{1,75 f_{t28}}{4(3 \tau_s + f_{t28})} \right)$$

Supposons $\beta = 1\%$

$$\mu_1 = 1 - \frac{1,75 \times 2,2}{4 \left(\frac{240 \times 1}{100} + 2,2 \right)} = 0,7 > 0 \Rightarrow \mu = 0$$

$$\text{d'où } I_f = I_0$$

les charges permanentes G étant par définition, de longue durée et les charges d'exploitation Q , de courte durée. La flèche totale sera

$$f_t = f_{g_v} + f_{q_i}$$

Or,

$$f_{g_v} = \frac{M_g l^2}{10 E_v I_0} \quad \text{et} \quad f_{q_i} = \frac{M_q l^2}{10 E_i I_0}$$

De plus

$$E_v = 3700 f_{c,j}^{1/3} = 3700 \sqrt[3]{25} = 10820 \text{ MPa}$$

$$E_i = 11000 f_{c,j}^{1/3} \quad \text{et comme nous prenons } f = 1 \text{ jour}, \text{ nous aurons}$$

$$f_{c,j} = 0,685 f_{c,28} \log(j+1) = 0,685 \times 25 \times \log 2 = 5,2.$$

D'où

$$E_i = 11000 \sqrt[3]{5,2} = 19060 \text{ MPa}$$

$$f_{g_v} = \frac{13,4 \times 7,0 \times 10^7}{10 \times 10820 \times 94920} = 0,64$$

$$f_{q_i} = \frac{6,5 \times 7,0 \times 10^7}{10 \times 19060 \times 94920} = 0,20$$

$$\text{D'où } f_t = 0,64 + 0,20 = 0,84 \text{ cm}$$

Valeur limite de flèche (Art B 6.5.2)

L'article stipule que :

$$\text{si la portée } l < 5 \text{ m} \quad \text{la flèche totale } f_t < 0,002l$$

$$\text{si la portée } l \geq 5 \text{ m} \quad \text{la flèche totale } f_t < 0,5 \text{ cm} + 0,001l$$

$$\text{Comme nous avons } l = 7,0 \text{ m} \rightarrow f_{t,\max} = 0,5 + \frac{700}{1000} = 1,2 \text{ cm}$$

$$f_t = 0,84 \text{ cm} < 1,2 \text{ cm} \quad \text{OK!}$$

Calcul de la quantité d'armatures nécessaires

$$M_u = 1,35 \times 13,4 + 1,50 \times 6,5 = 27,8 \text{ kN.m / m}$$

$$b = 100 \text{ cm}, \quad d = 22,5 \text{ cm} \quad \text{ce qui donne } A_s = 4,05 \text{ cm}^2 / \text{m}$$

sont 9T8 par mètre linéaire ou 1T8 ($e = 10 \text{ cm}$) dans les 2 directions

4.3) Dimensionnement des planchers en console

4.3.1) Console du plancher haut Rez-de-chaussée

La console sera en dalle pleine avec utilisation d'un contre-poids de même longueur que la console sur le plancher houddé.

- données

$$l = 150 \text{ cm} ; f_{eE} 40 \text{ type 1} ; f_{c28} = 25 \text{ MPa}$$

- épaisseur de la dalle $h_t > \frac{150}{12} = 12,5 \rightarrow h = 15 \text{ cm} \rightarrow d = 13,5 \text{ cm}$

- hypothèses on prend comme largeur de bande $b = 100 \text{ cm}$

- Calcul de charge

pondre propre	$25 \times 0,15 = 3,75$
forme de pente	1,0
protection + étanchéité	<u>1,2</u>
$G = 5,95 \text{ kN/m}^2$	

Charge permanente due au garde-corps :

$$G_1 = 25 \times 1,05 \times 0,12 = 3,0 \text{ kN/m}$$

SurchARGE superficielle $Q = 3,0 \text{ kN/m}^2$

- Calcul des efforts

$$M_G = 5,95 \times \frac{1,5^2}{2} + 3,0 \times 1,5 = 11,2 \text{ kN.m/m}$$

$$M_Q = 3,0 \times \frac{1,5^2}{2} + 1,0 \times 1,5 = 4,75 \text{ kN.m/m}$$

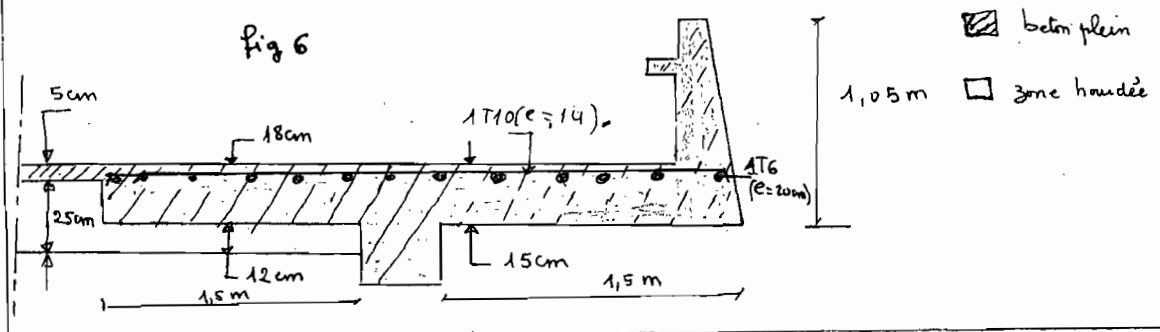
$$M_u = 11,2 \times 1,35 + 4,75 \times 1,5 = 22,4 \text{ kN.m/m}$$

$$X = \frac{22,4 \times 10^3}{100 \times 13,5^2} = 1,23 \rightarrow \gamma_y = 4 \% \rightarrow A_s = \frac{4 \times 100 \times 13,5}{1000} = 5,4 \text{ cm}^2$$

On choisit 1T10 ($e = 14 \text{ cm}$) comme acier longitudinal et

1T6 ($e = 20 \text{ cm}$) comme acier de répartition

Fig 6



4.3. 2) Dimensionnement du console du plancher h^t du 1^{er} étage

$$l = 2,30 \text{ m} \rightarrow h_t \geq \frac{230}{12} = 18 \text{ cm} \rightarrow d = 16,2 \text{ cm}$$

les autres données ne changent pas

. Charge permanente

poids propre	25 × 0,18	4,5
--------------	-----------	-----

forme de pente	1,0
----------------	-----

protection + étanchéité	<u>1,2</u>
-------------------------	------------

$$G = 6,7 \text{ kN/m}^2$$

poids propre de l'autre	$G_1 = 3,0 \text{ kN/m}$
-------------------------	--------------------------

. Surcharge d'exploitation

$$Q = 3,0 \text{ kN/m}^2$$

$$Q_1 = 1,0 \text{ kN/m}$$

. Calcul des efforts de flexion

$$M_G = 6,7 \times \frac{2,3^2}{2} + 3,0 \times 2,30 = 24,6 \text{ kN.m/m}$$

$$M_Q = 3,0 \times \frac{2,3^2}{2} + 1,0 \times 2,3 = 10,2 \text{ kN.m/m}$$

$$M_u = 1,35 \times 24,6 + 1,5 \times 10,2 = 48,5 \text{ kN.m/m}$$

. Calcul de la section d'armatures longitudinales

$$X = \frac{48,5 \times 1000}{100 \times 16,2^2} = 1,84 \rightarrow \frac{A_s}{bd} = 6/1000 \rightarrow A_s = \frac{6 \times 100 \times 16,2}{1000} = 9,72 \text{ mm}^2$$

On choisit alors 1T16 ($e = 15 \text{ cm}$)

. Calcul des efforts tranchant

$$V_{uG} = 6,7 \times 2,3 + 3,0 = 18,4 \text{ kN/m}$$

$$V_{uQ} = 3,0 \times 2,3 + 1,0 = 7,9 \text{ kN/m}$$

$$V_u = 1,35 \times 18,4 + 1,5 \times 7,9 = 36,7 \text{ kN/m}$$

$$\gamma_u = \frac{V_u}{bd} = \frac{36,7 \times 10^3}{1,0 \times 0,162} = 0,226 \text{ MPa} < 0,05 f_{c28} = 1,25 \text{ MPa}$$

donc on choisit comme acier de répartition 1T8 ($e = 20 \text{ cm}$)

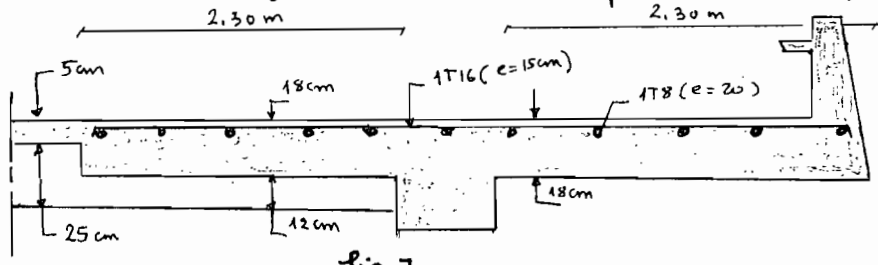


fig 7

4.4) Dimensionnement des poteaux

L'étude pour la détermination des armatures longitudinales nécessaires pour assurer une stabilité de forme peut se faire suivant le mode de chargement des poteaux :

- Si le poteau est soumis à une compression simple centrale alors son mode de chargement donne une compression simple.
- Si le poteau est chargé de façon excentrée ou soumis à des couples de flexion importants alors le mode de chargement donne une flexion composée ou devient suivant que la flexion se fait dans une ou deux directions.

Dans ce cas de structures que nous avons à analyser, les moments de continuité ont des valeurs faibles et ne sont pas pris en compte, ainsi nous avons le cas de poteau réputé centré.

4.4.1) Principe du dimensionnement de ces poteaux

Soit N_u l'effort normal ultime

- B_r : section de béton réduite de 1 cm de ses parois (pour une section rectangulaire $B_r = (b - 2)(h - 2) \text{ cm}^2$)
- A_s la section d'acier longitudinale
- $\gamma_s = 1,15$
- α coefficient destiné à tenir compte de l'excentricité et des effets du 2^e ordre

Pour, avons :

$$N_u \leq \alpha \left(\frac{B_r f_{c28}}{1,35} + A_s \frac{f_e}{\gamma_s} \right)$$

Avec

$$d = \frac{0,85}{1 + 0,2 \left(\frac{\lambda}{35} \right)^2} \quad \text{si } \lambda \leq 50$$

$$d = 0,60 \left(\frac{50}{\lambda} \right)^2 \quad \text{si } 50 < \lambda \leq 100$$

Comme la moitié des charges appliquées sur le poteau peut se faire avant 90 jours, la norme propose de diviser λ par 1,20.

λ représente l'élancement - d'où

$$\lambda = \sqrt{\frac{I}{B}} \quad \text{où } I : \text{moment d'inertie}$$

B section de béton

Pour une poutre ou un poteau de section rectangulaire

$$\lambda = 3,46 \frac{l_f}{h} \quad \text{ou} \quad \lambda = 3,46 \frac{l_f}{b} \quad \text{suivant la direction de flambement.}$$

Pour une poutre circulaire, $\lambda = 4 \frac{l_f}{D}$

Nous nous proposons de présenter le calcul détaillé des poteaux du 1^e étage.

Par la suite nous présenterons sous forme tabulaire les autres poteaux des autres niveaux comme le dimensionnement se fait suivant le même principe (voir annexe 3)

4.4.2) Dimensionnement des poteaux

4.4.2.1) Dimensionnement des poteaux 1, 3, 4, 6, 7, 9, 10, 13

Nous avons des poteaux de section de béton $B = 20 \times 20$ avec

$$N_u = 31,9 + 31,6 = 63,5 \text{ kN}$$

Le bâtiment est contreventé $\Rightarrow l_f = 0,7 l_0$ avec $l_0 = 10,83 - 8,13 = 2,7 \text{ m}$

d'où $l_f = 0,7 \times 2,7 = 1,9 \text{ m}$

$$\lambda = \frac{3,46 \times 1,9}{20} = 3,3 < 100 \quad \text{ok!}$$

$$d = \frac{0,85}{1+0,2\left(\frac{33}{35}\right)^2} = 0,72$$

$$N_u \leq \alpha \left[\frac{B_r f_{c28}}{0,9 \gamma_b} + A \frac{f_e}{\gamma_s} \right] \quad \text{avec } \gamma_s = 1,15, f_e = 400 \text{ MPa}$$

$$\gamma_b = 1,5 \quad f_{c28} = 20 \text{ MPa}$$

$$\rightarrow \frac{N_u}{\alpha} \leq \frac{B_r f_{c28}}{0,9 \gamma_b} + A \frac{f_e}{\gamma_s}$$

$$\rightarrow A \geq \frac{\gamma_s}{f_e} \left[\frac{N_u}{\alpha} - \frac{B_r f_{c28}}{0,9 \gamma_b} \right]$$

$$\rightarrow A \geq \frac{1,15}{400} \left[\frac{63,5 \times 10}{0,72} - \frac{18^2 \times 20}{0,9 \times 1,5} \right] \quad \text{négatif}$$

donc on choisit 4T6 et l'excentrement admis sera le minimum entre

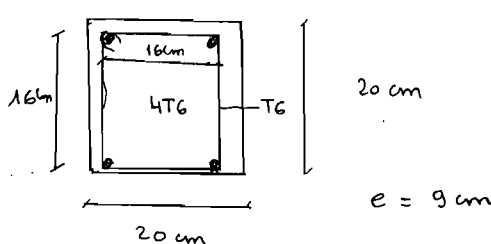
$$15 \phi_L = 15 \times 0,6 = 9 \text{ cm}$$

$$20 + 10 = 30 \text{ cm}$$

$$40 \text{ cm}$$

$$\rightarrow s = 9 \text{ cm} = e$$

Donc nous aurons la disposition suivante



7 Avr 09:35 1986 pte05 Page 1

DONNEES GENERALES

```
*****  
nombre d'elements -----= 3  
nombre de noeuds -----= 4  
nombre de noeuds restreints= 3  
nombre de cas de chargement= 3  
module d'elasticite -----= 0.100d+01
```

```
*****
```

DONNEES DES NOEUDS

```
*****
```

noeud	coordx	coordy
1	.000	1.650
2	4.945	1.650
3	4.945	.000
4	9.890	1.650

```
*****
```

RESTREINTES AUX NOEUDS

```
*****
```

noeud	ireshx	ireshy	iresr
1	1	1	0
3	1	1	0
4	1	1	0

```
*****
```

DONNEES DES ELEMENTS

```
*****
```

elmt	noeudi	noeud2	aire	inertie	longueur
1	1	2	0.600d-01	0.200d-03	0.495d+01
2	2	4	0.600d-01	0.200d-03	0.495d+01
3	2	3	0.400d-01	0.133d-03	0.165d+01

nombre d'équations = 12
espace requis pour grk = 60

4.4.2.2) Dimensionnement des poteaux 2, 5, 8, 12

Poteau de 20×20 avec une charge centrale P_u

$$l_f = 1,90 \rightarrow \lambda = 33 \rightarrow \alpha = 0.72$$

La section d'armatures nécessaire sera

$$A_s > \frac{\gamma_s}{f_e} \left[\frac{N_u}{\alpha} - \frac{B_r f_{c28}}{0.9 \gamma_b} \right]$$

$$N_u = 26,44 + 70,33 \approx 97 \text{ kN}$$

$$A_s > \frac{1,5}{400} \left[\frac{97,0 \times 10}{0,72} - \frac{18^2 \times 20}{0,9 \times 1,55} \right] \text{ négatif}$$

Donc on choisit 4T6 avec un espace de 9 cm

Même disposition que précédemment

4.4.2.3) Dimensionnement du poteau 11

Poteau de 20×20 avec une charge centrale $P_u = 234 \text{ kN}$

$$l_f = 1,90 \text{ m} \rightarrow \lambda = 33 \rightarrow \alpha = 0.72$$

La section d'armatures nécessaire sera

$$A_s > \frac{1,5}{400} \left[\frac{234 \times 10}{0,72} - \frac{18^2 \times 20}{1,5 \times 0,9} \right] \text{ négatif}$$

Donc on choisit 4T6 - avec $e = 9 \text{ cm}$

Même disposition que précédemment.

4.5 Dimensionnement des Semelles

4.5.1) Introduction

Comme tous poteaux sont repêts centrés, nous utiliserons, quant à leur dimensionnement le principe suivant :
données

P : charge à transmettre au sol

$\bar{\sigma}_{sol}$: la contrainte à envisager pour le sol de fondation

a et b : dimensions du poteau

a' et b' : dimensions de la semelle à sa base

et devons avoir

$$a' \times b' \times \bar{\sigma}_{sol} \geq P \quad \text{avec } \frac{a'}{b'} = \frac{a}{b}$$

$$d_a > \frac{b'-b}{4} ; \quad d_b > (a'-a) ; \quad \epsilon \geq 6\phi + 6$$

Les armatures $A_{a'}$ parallèles au côté a' auront donc pour valeur

$$A_{a'} = \frac{P(a'-a)}{8 d_a \sigma_s}$$

de même

$$A_{b'} = \frac{P(b'-b)}{8 d_b \sigma_s}$$

4.5.2) Exemple de calcul

$f_e E 40$ type 1 $\Rightarrow \sigma_s = 240 \text{ MPa}$ la fissuration très préjudiciable

$\bar{\sigma}_{sol} = 0,6 \text{ MPa}$

poteau 1

$$P_G = 352,2 \text{ kN} ; \quad P_Q = 147,9 \text{ kN} ; \quad a \times b = 30 \times 20.$$

dimensionnement de la semelle s1

* Etat-limite ultime

$$P_u = 1,35 \times 352,2 + 1,5 \times 147,9 = 697,3 \text{ kN}$$

$$a' \times b' \geq \frac{697,3 \times 1000}{0,6} = 1162166 \text{ mm}^2 = 11622 \text{ cm}^2$$

Comme $\frac{b}{a} = 1,5$, nous prenons $a' = 85 \text{ cm}$ et $b' = 130 \text{ cm}$

$$d_b > \frac{130 - 30}{4} = 25,3 \rightarrow d_b = 31 \text{ cm}$$

On suppose que l'origine des bielles est la même $\rightarrow d_a = d_b - 1 \text{ cm} = 24 \text{ cm}$

En état limite ultime $\sigma_s = 348 \text{ MPa}$

$$A_{b'} = \frac{697300 \times (1300 - 300)}{8 \times 310 \times 348} = 7,19 \text{ cm}^2$$

$$A_{a'} = \frac{697300 \times (850 - 200)}{8 \times 300 \times 348} = 5,43 \text{ cm}^2$$

* Etat-limite de Service : formulation presudurable

$$P = P_u + P_Q = 352,2 + 147,9 = 500,1 \text{ kN}$$

$$\sigma_s = 0,6 f_e = 0,6 \times 400 = 240 \text{ MPa}$$

$$A_{b'} = \frac{500100 \times (1300 - 300)}{8 \times 310 \times 240} = 8,40 \text{ m}^2$$

$$A_{a'} = \frac{500100 \times (50 - 200)}{8 \times 300 \times 240} = 5,64 \text{ m}^2$$

* Choix des armatures

Pour armes $A_{b'} = 8,86 \text{ cm}^2$ soit 6T14

$A_{a'} = 5,97 \text{ cm}^2$ soit 4T14

Pour les $\phi 14$ nous avons $l_s = \frac{\phi}{4} \frac{f_e}{f_s} = \frac{1,4}{4} \times \frac{400}{2,8} = 50 \text{ cm}$

Comme $l_s = 50 \text{ cm} > \frac{115}{4} = 28,8 \text{ cm}$ les armatures parallèles à b' seront munies de crochets

Comme $l_s = 50 > \frac{75}{4} = 18,75 \text{ cm}$, les armatures parallèles à a' seront munies de crochets

Pour l'épaisseur du bord libre, nous devons avoir

$$e \geq 6\phi + 6 = 6 \times 1,4 + 6 = 14,4 \text{ cm},$$

on prendra $e = 15 \text{ cm}$.

La hauteur totale de la semelle $h_t = 30 + 5 = 35 \text{ cm}$

Ferraillage de la semelle du poteau 1

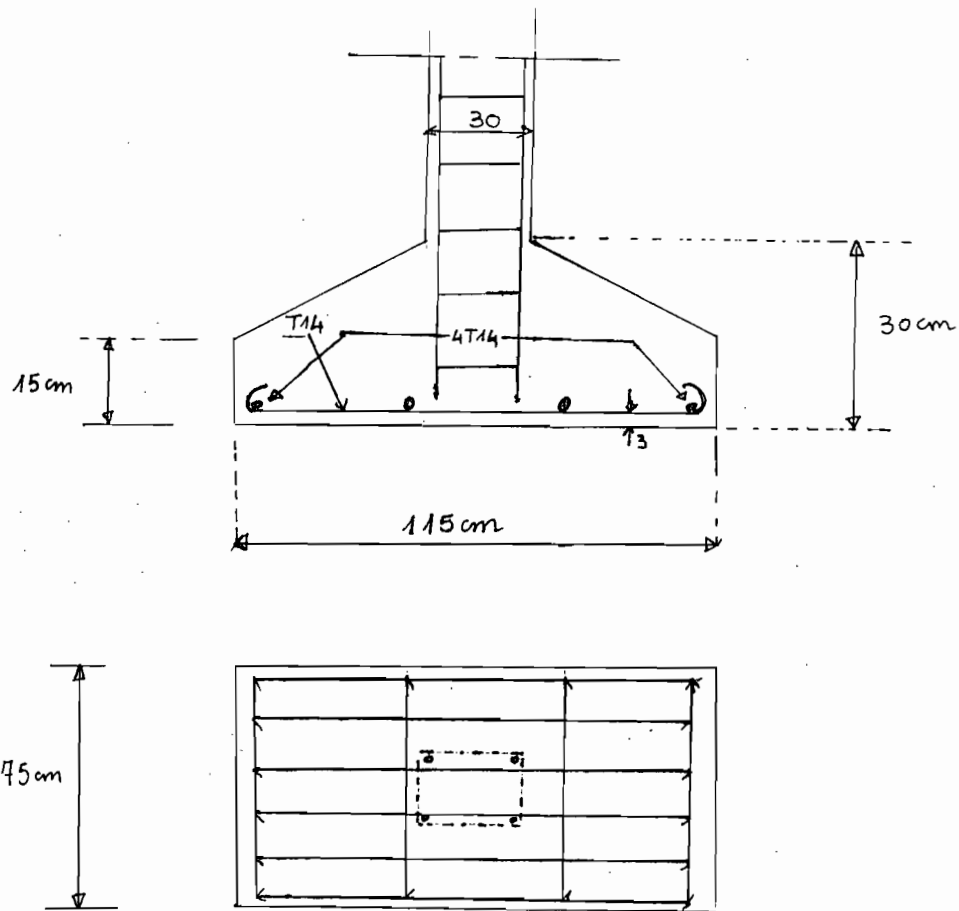
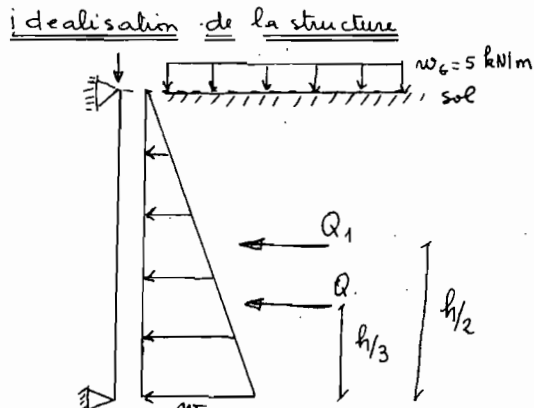
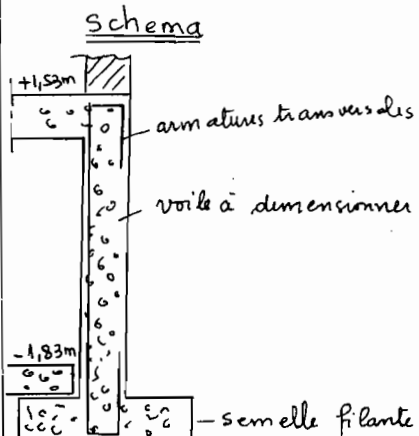


figure 8

3 TABLEAUX DES SEMELLES ISOLES

Poteaux		Semelles							
m ^e	Secteur b x h cm ²	m ^e	b'	A _{b'} cm ²	Armature	a'	A _{a'} cm ²	Armatures	h cm
2	40x20	S2	180	12,8	9T14	90	6,5	6T12	45
3	30x20	S3	135	9,00	8T12	90	6,2	6T12	40
4	30x20	S4	140	9,57	5T16	95	6,73	6T12	40
5	40x20	S5	155	9,18	6T14	80	4,93	5T12	40
8	50x20	S6	240	18,26	6T20	95	7,34	5T14	60
9	30x20	S7	125	7,48	7T12	85	5,30	7T10	35
10	30x20	S8	135	8,73	6T14	90	6,00	4T14	35
11	50x20	S9	225	16,0	8T16	90	6,52	6T12	55
12	40x20	S10	160	9,83	7T14	80	5,05	7T10	40
14	40x20	S11	185	13,28	7T16	90	6,57	6T12	45
15	40x20	S12	180	12,1	8T14	90	6,2	8T10	45
17	40x20	S13	170	10,77	7T14	85	5,52	5T12	40
18	40x20	S14	175	11,6	6T16	90	6,17	6T12	45
19	40x20	S15	170	11,23	6T16	85	5,76	6T12	40
20	40x20	S16	180	12,80	7T16	90	6,55	6T12	45
21	40x20	S17	175	11,71	6T16	90	6,23	6T12	45
45	20x20	S18	50	1,29	5T6	50	1,39	5T6	20
46	30x20	S19	145	10,27	7T14	95	6,90	7T12	40
47	20x20	S20	70	2,84	4T10	70	3,04	4T10	25
48	20x20	S21	80	4,12	4T12	80	4,32	4T12	25
49	20x20	S22	75	3,43	5T10	75	3,61	5T10	25

4.6) Dimensionnement des parois extérieures du sous-sol



données

$$\Delta = 0,270 \quad A = 15,8 \text{ kN/m}^3 \quad f = 0,65 \quad \sigma_{\text{sol}} = 0,6 \text{ MPa}$$

$$w_g = 5 \text{ kN/m}^2 \quad f_{c28} = 25 \text{ MPa} \quad f_e = 400 \text{ MPa} \quad \gamma_s = 1,15$$

1) Mur de soutènement

$$Q = A \Delta \frac{h^2}{2} = 15,8 \times 0,270 \times \frac{3^2}{2} = 19,2 \text{ kN}$$

$$Q_1 = A w_g h = 0,270 \times 5 \times 3,0 = 4,05 \text{ kN}$$

$$M_G = \frac{w g h^2}{9} = (0,27 \times 15,8 \times 3,0) \times \frac{3^2}{9} = 12,6 \text{ kN.m}$$

$$M_Q = Q_1 \frac{h}{2} = 4,05 \times 1,5 = 6,1 \text{ kN.m}$$

$$M_u = 1,35 M_G + 1,5 M_Q = 1,35 \times 12,6 + 1,5 \times 6,1 = 26,2 \text{ kN.m}$$

La section d'armatures transversales nécessaires (voir schema)

$$h = 20 \text{ cm} \Rightarrow d = 17,5 \text{ cm}, \text{ on choisit une largeur unitaire } b = 100 \text{ cm}$$

En flexion simple, on utilise les abaques de Morgen

$$X = \frac{M}{bd^2} = \frac{26,2 \times 10^3}{100 \times (17,5)^2} = 0,85 \rightarrow A_s = \frac{2,75 \times 100 \times 17,5}{1000} = 4,8 \text{ cm}^2/\text{m}$$

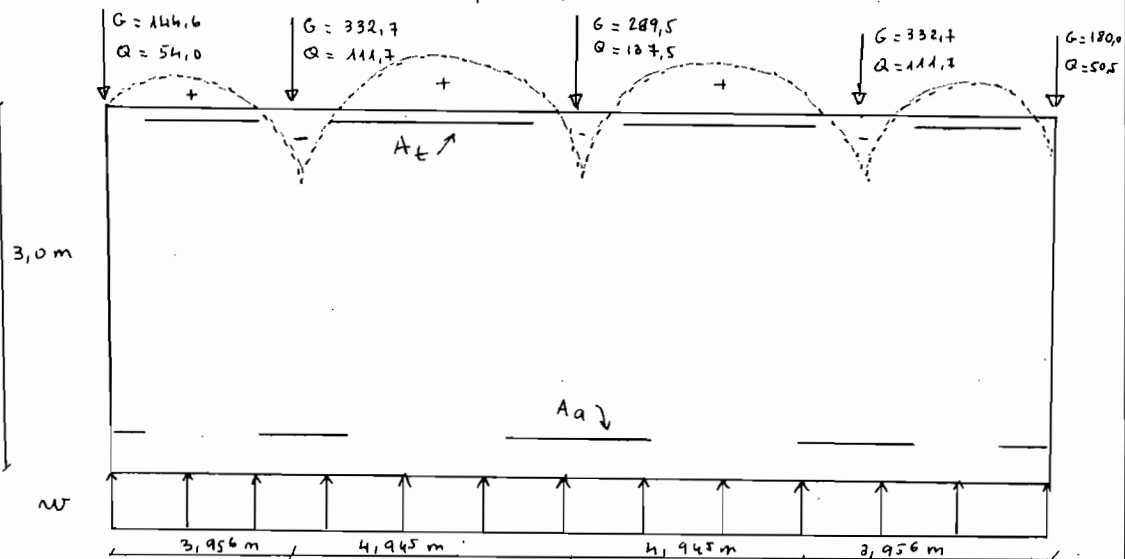
La section d'armatures longitudinales nécessaire

$$V_u = 1,35 \times 19,2 + 1,50 \times 4,05 = 32,7 \text{ kN}$$

$$G_u = \frac{32,7 \times 10^{-3}}{1 \times 0,175} = 0,187 \text{ MPa} < 0,05 f_{c28} = 1,25 \text{ MPa}$$

Donc acier longitudinal pas nécessaire pour le mur de soutènement.

2) Action de la paroi fléchie



La paroi travaille en poutre renversée, les charges ponctuelles sont les actions et la charge répartie w constitue la réaction.

Calcul de w_G et w_Q

$$w_G = \frac{144,6 + 332,7 + 289,5 + 332,7 + 180,0}{4,945 \times 2 + 3,956 \times 2} + 2,5 \times 0,2 \times 3 = 86,8 \text{ kN/m}$$

$$w_Q = \frac{54,0 + 111,7 + 137,5 + 111,7 + 50,5}{4,945 \times 2 + 3,956 \times 2} = 26,1 \text{ kN/m}$$

$$w_u = 1,35 \times 86,6 + 1,5 \times 26,1 = 156,3 \text{ kN/m}$$

Cette paroi se dimensionne comme une poutre cloison

CALCUL des armatures longitudinales

* Armatures en travée A_t

$$M_{t\bar{c}} = 0,85 \times 156,3 \times \frac{3,76^2}{8} = 244,8 \text{ kN.m}$$

$$z = 0,2 \times (3,76 + 1,5 \times 3,0) = 1,65 \text{ m}$$

$$A_t = \frac{M_t}{z f_{ct} \gamma_s} = \frac{244,8 \times 10^{-3}}{1,65 \times 352} \times 10^4 = 4,21 \text{ cm}^2$$

* Aux rapproches

$$M_a = 0,5 \times 156,3 \times \frac{3,76^2}{8} = 138,0 \text{ kN.m}$$

$$A_a = \frac{138}{1,65 \times 352} \times 10 = 2,80 \text{ cm}^2$$

Calcul des armatures transversales

$$V_o = \frac{156,3 \times 4,80}{2} = 375 \text{ kN}$$

$$\tau_o = \frac{375 \times 10^{-3}}{0,2 \times 3,0} = 0,625 \text{ MPa} < 0,05 f_{c28} = 1,25 \text{ MPa}$$

Donc, acier longitudinale pas nécessaire pour la paroi fléchie.

3) Choix des armatures pour les parois

Armatures transversales

nous avons trouvé seul l'effet du mur de soutènement demande ces armatures

$$A_s = 4,8 \text{ cm}^2 / \text{m} \text{ de largeur soit } 1T10 (\epsilon = 15\text{cm})$$

Armatures longitudinales

Seul la paroi fléchie exige leur utilisation en regard aux calculs.

nous avons trouvé dans la partie supérieure - Armature en tôle - une section $A_t = 4,21 \text{ cm}^2$ (6T10) à placer sur une hauteur $h_c \leq 0,15 h$ soit 2T10 ($\epsilon = 10\text{cm}$) sur 3 couches.

Dans la partie inférieure - Armatures aux appuis - nous avons une section $A_a = 2,38 \text{ cm}^2$ (3T10) à placer sur hauteur $h_a \leq 0,10 h$, soit 2T10 ($\epsilon = 10\text{cm}$) sur 2 couches.

Aciers de Répartition

- longitudinales : on place 1T6 ($\epsilon = 20\text{cm}$) dans la partie centrale entre 0,45 m et 2,70 m de la paroi
- transversale : on place dans la face au droit du sol 1T6 ($\epsilon = 15\text{cm}$) de sorte que les barres de T10 et T6 sont sur le même plan.

Ferraillage du voile

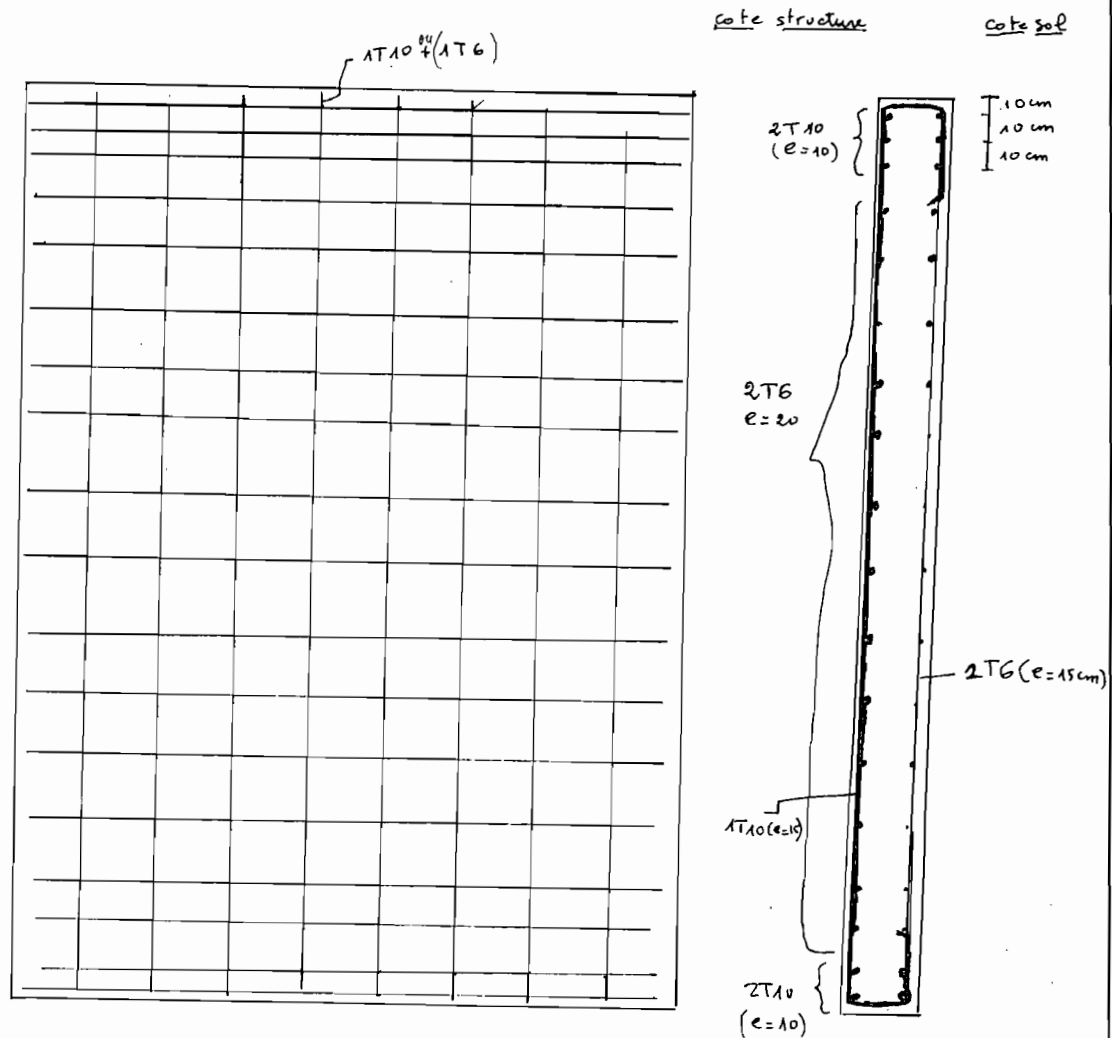


figure 9

4.7) Dimensionnement de la semelle filante sous voûte

$$\sigma_{\text{sol}} = 0,6 \text{ MPa}$$

Aaci Fe E40 type 1

$$w_G = 86,8 \text{ kN/m} \quad w_Q = 26,1 \text{ kN/m} \quad f_{c2g} = 25 \text{ MPa}$$

On prend une semelle de largeur $b = 1 \text{ m}$

La fissuration est considérée comme préjudiciable.

1) Calcul aux états limites ultime

On suppose une épaisseur de semelle juste pour l'estimation de son poids probable. Ainsi supposons une épaisseur $e = 15 \text{ cm}$ et $b' = 50 \text{ cm}$

$$w_G = 86,8 + 25 \times 0,15 \times 0,50 = 90,1 \text{ kN/m}$$

$$w_Q = 26,1 \text{ kN/m}$$

$$P = 1,35 \times 90,1 + 1,50 \times 26,1 = 160,8 \text{ kN/m}$$

Calcul de la largeur de semelle b' , d'

$$1000 \times b' \sigma_{\text{sol}} \geq P \rightarrow b' \geq \frac{160800}{1000 \times 0,6} = 268 \text{ mm} \rightarrow b' = 30 \text{ cm}$$

$$d' \geq \frac{30 - 20}{4} = 2,5 \text{ cm}$$

Calcul de la section d'acier

$$A = \frac{P(b' - b)}{8d' \sigma_s} = \frac{160800 \times (300 - 200)}{8 \times 25 \times 348} = 231 \text{ mm}^2 = 2,3 \text{ cm}^2 = 578 / \text{m}$$

$$e > 6\phi + 6 = 0,8 \times 6 + 6 = 10,8 \text{ cm} \rightarrow e = 15 \text{ cm}$$

Comme nous avons $\bar{\sigma}_s = 2,8 \text{ MPa}$ $\ell_s = \frac{0,8 \times 400}{4 \bar{\sigma}_s} = \frac{0,8 \times 400}{4 \times 2,8} = 28,6 \text{ cm}$

$$\frac{b'}{4} = \frac{30}{4} = 7,5 \text{ cm} < \ell_s \text{ donc nécessite de crochets courbes.}$$

2) Calcul aux états limites de service

$$P = 90,1 + 26,1 = 116,2 \text{ kN/m}$$

$$\sigma_s = 0,6 f_e = 0,6 \times 400 = 240 \text{ MPa}$$

$$A = \frac{P(b' - b)}{8d' \sigma_s} = \frac{116200 (300 - 200)}{8 \times 25 \times 240} = 242 \text{ mm}^2 = 2,4 \text{ cm}^2$$

sont 578 par mètre linéaire (m l)

3) Choix d'armature

- Comme armatures transversales, nous 5 T8 par mètre linéaire soit 1T8 ($e = 20 \text{ cm}$)
- Comme armature longitudinale de répartition A_1
$$A_1 = \frac{A \times b'}{4} = \frac{2,51 \times 0,3}{4} = 0,19 \text{ cm}^2$$
, on choisit 3T6

4) Ferraillage de la Semelle

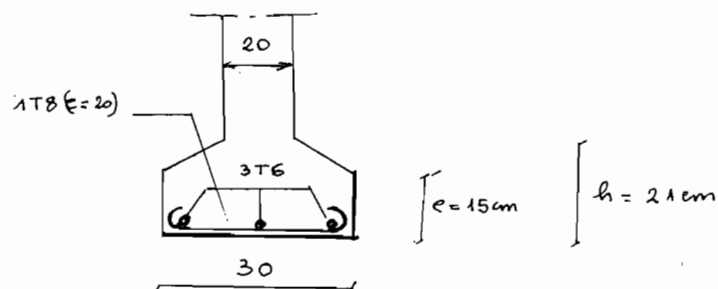
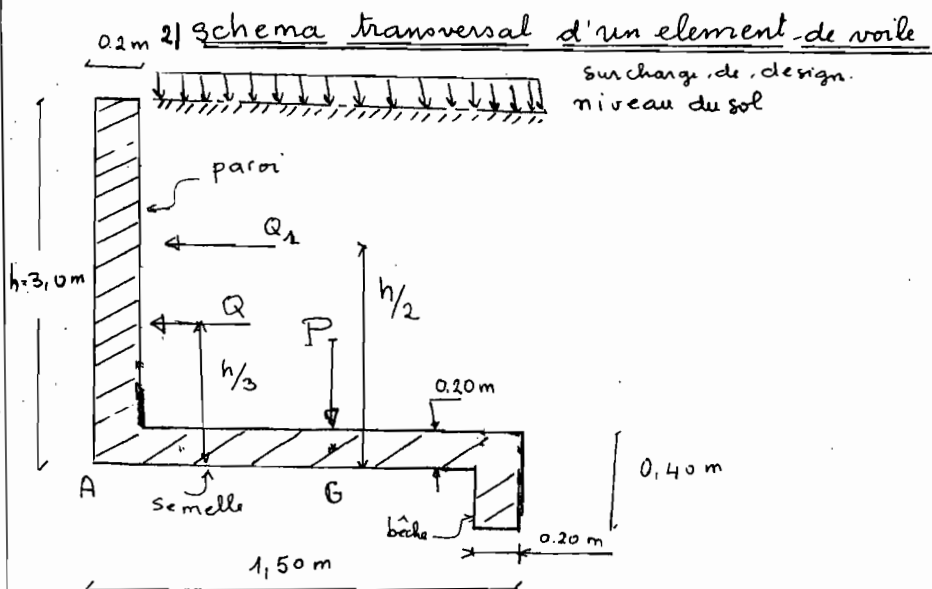


figure 10

4.8) Dimensionnement des murs de soutènement dans la cour de service

1) Introduction

Le niveau du sous-sol fait qu'il existe une différence de côte des sols qui se trouve en dessous de l'ouvrage et hors d'ouvrage. C'est pourquoi, nous avons envisagé de mettre un voile qui joue le rôle de mur de soutènement à l'interface ouvrage - sol naturel.



données disposées

terre graveleux \Rightarrow poids spécifique des terres $15,800 \text{ kN/m}^3 = \Delta$

Angle du talus naturel $\varphi = 35^\circ \Rightarrow A = 0,270$

Taux de travail des sols $f_{sol} = 0.6 \text{ MPa}$

Coefficient de frottement $f = 0,85$

Surcharge estimée $w_Q = 5 \text{ kN/m}^2$

Béton $f_{c28} = 25 \text{ MPa}$, $f_{t28} = 2,2 \text{ MPa}$

Armatures Aciers Fe E 40 type 1, $\gamma_s = 1,15$

la fissuration est prédictable.

a) Calcul de la poussée des terres $Q = A \Delta \frac{h^2}{2}$

$$Q = 0,270 \times 15,8 \times \frac{3^2}{2} = 19,2 \text{ kN} \quad \text{appliquée à } \frac{h}{3} = \frac{3}{3} = 1,0 \text{ m}$$

b) Calcul de la poussée due à la surcharge $Q_1 = A w_a h$

$$Q_1 = 0,270 \times 5,0 \times 3,0 = 4,05 \text{ kN}$$

c) Calcul de la charge vertical P

Pous négligeons le poids de la bêche

poids du rideau : $0,2 \times (3,0 - 0,2) \times 25 : 14 \text{ kN}$

poids de la semelle : $1,5 \times 0,2 \times 25 : 7,5 \text{ kN}$

poids des terres sur la semelle $(3,0 - 0,2) \times (1,5 - 0,2) \times 15,8 : 57,5 \text{ kN}$

$$P = 79,0 \text{ kN}$$

d) Calcul de la surcharge P_1

$$P_1 = 1,3 \times 5,0 = 6,5 \text{ kN}$$

e) Moments des différentes forces par rapport à A.

$$M_A^Q = 19,2 \times 1 = 19,2 \text{ kN.m}$$

$$M_A^{Q_1} = 4,05 \times 1,5 = 6,1 \text{ kN.m}$$

$$M_A^P = 14 \times 0,1 + \frac{7,5 \times 1,5}{2} + 57,5 \times \left(0,20 + \frac{1,50}{2} \right) = 61,7 \text{ kN.m}$$

$$M_A^{P_1} = 6,5 \times \frac{2,3}{2} = 7,3 \text{ kN.m}$$

La poussée des terres est une action permanente et doit donc être affectée du coefficient 1,35 tandis que la surcharge a comme coefficient d'affectation 1,50 dans le cas d'une action défavorable. Si une action est favorable alors il ne faut pas appliquer de coefficient de majoration.

Au cas où la surcharge n'est pas présente

Le moment de renversement $M_r = 19,2 \times 1,35$

Le moment stabilisateur $M_s = 61,7 \rightarrow \frac{M_s}{M_r} = \frac{61,7}{19,2 \times 1,35} = 2,38 > 2$

et $\frac{P}{P} = \frac{1,35 \times 19,2}{79,0} = 0,33 < f = 0,65$

La résultante P passe par $\frac{61,7}{79} = 0,78 \text{ m}$ soit $0,03 \text{ m}$ du milieu G de la semelle

la résultante étant à droite alors elle a un effet favorable pour le calcul de M_G ?

$$M_G = 1,35 \times 19,2 - 79,0 \times 0,03 = 23,6 \text{ kN.m}$$

$$\text{Comme } N = 1,35 \times 79 = 106,7 \text{ kN} \quad M_G = 23,6 \text{ kN.m} \quad a = 1,5 \text{ m}$$

$$\sigma'_A = \frac{N}{1000a} + \frac{M}{1000a^2} \quad \text{ou } N (\text{kN}) \text{ et } M (\text{kN.m}) \text{ et } a (\text{m})$$

$$\sigma'_A = \frac{106,7}{1,5 \times 1000} + \frac{6 \times 23,6}{1000 \times 1,5^2} = 0,134 < \bar{\sigma}_{\text{sol}} = 0,6 \text{ MPa}$$

$$\sigma'_B = \frac{106,7}{1500} - \frac{6 \times 23,6}{2250} = 0,0082 < \bar{\sigma}_{\text{sol}} = 0,6 \text{ MPa}$$

Au cas où la surcharge est appliquée

$$\frac{M_S}{M_r} = \frac{61,7 + 7,3}{1,35 \times (19,2) + 1,5 \times 6,1} = 2,04 > 2,0, \quad \text{ok!}$$

$$\frac{\text{Forces horizontales}}{\text{Forces verticales}} = \frac{1,35 \times 19,2 + 1,5 \times 4,05}{79,0 + 6,1} = 0,37 < 0,6 = \text{?} \quad \text{ok!}$$

La résultante des forces verticales passe à $\frac{61,7 + 7,3}{79,0 + 6,1} = 0,81 \text{ m}$ soit à $0,06 \text{ m}$ à droite du milieu G de la semelle.

$$M_G = 1,35 \times 19,2 + 1,5 \times 6,1 - 79,0 \times 0,06 - 7,3 \times 0,06 = 29,9 \text{ kN.m}$$

$$N = 1,35 \times 79 + 1,5 \times 6,1 = 116,4 \text{ kN}$$

$$\sigma'_A = \frac{116,4}{1,5 \times 1000} + \frac{29,9 \times 6}{1000 \times 1,5^2} = 0,157 \text{ MPa} < 0,6 \text{ MPa}$$

$$\sigma'_B = \frac{116,4}{1,5 \times 1000} - \frac{29,9 \times 6}{1000 \times 1,5^2} = 0,002$$

Determination des armatures du rideau

Etudions les efforts dans la section d'enca斯特ment du voile.

$$Q = 0,27 \times 15,8 \times \frac{2,8^2}{2} = 16,7 \text{ kN}$$

$$Q_1 = 0,27 \times 5,0 \times 2,8 = 3,78 \text{ kN}$$

$$M = 1,35 \times 16,7 \times \frac{2,8^3}{3} + 1,5 \times 3,78 \times \frac{2,8}{2} = 28,98 \text{ kN.m}$$

$$\mu = \frac{M}{\bar{\sigma}_b b d^2} = \frac{28980}{14,2 \times 100 \times (0,9 \times 20)^2} = 0,063 < \mu_L \Rightarrow \beta = 0,968$$

$$A \geq \frac{28980}{0,968 \times 17,5 \times 348} = 4,92 \text{ cm}^2$$

effort tranchant maximal

$$V_u = 1,35 \times 16,7 + 1,5 \times 3,78 = 28,22 \text{ kN}$$

$$\tau_{tu} = \frac{28,22}{1000 \times 17,5} = 0,16 \text{ MPa} \leq 0,050 f_{c28} = 0,050 \times 25 = 1,25 \text{ MPa OK!}$$

Il n'est donc pas nécessaire de prévoir des armatures longitudinales.

ETATS-LIMITES DE SERVICE

$$M_s = 16,7 \times \frac{2,8}{3} + 3,78 \times \frac{2,8}{2} = 20,88 \text{ kN.m}$$

En fissuration préjudiciable, la valeur de τ_s est de 240 MPa

$$\mu_s = \frac{M_s}{\tau_s b d^2} = \frac{20880}{240 \times 100 \times 17,5^2} = 0,00284 \Rightarrow \beta_s = 0,912 \text{ et } \delta = 0,024$$

$$A \geq \frac{M_s}{\beta_s d \tau_s} = \frac{20880}{0,912 \times 17,5 \times 240} = 5,45 \text{ cm}^2$$

Comme elle est supérieure à la valeur de A que nous avions trouvée précédemment, donc on choisit $A = 5,45 \text{ cm}^2$

Ferraillage du mur

- Pour le rideau : 1T10 $\Rightarrow A = 0,78 \text{ cm}^2 \Rightarrow N = \frac{5,45}{0,78} = 7 \text{ barres}$
 or $b=100 \Rightarrow \text{l'écartement } e = \frac{100 \text{ cm}}{7} = 14 \text{ cm}$

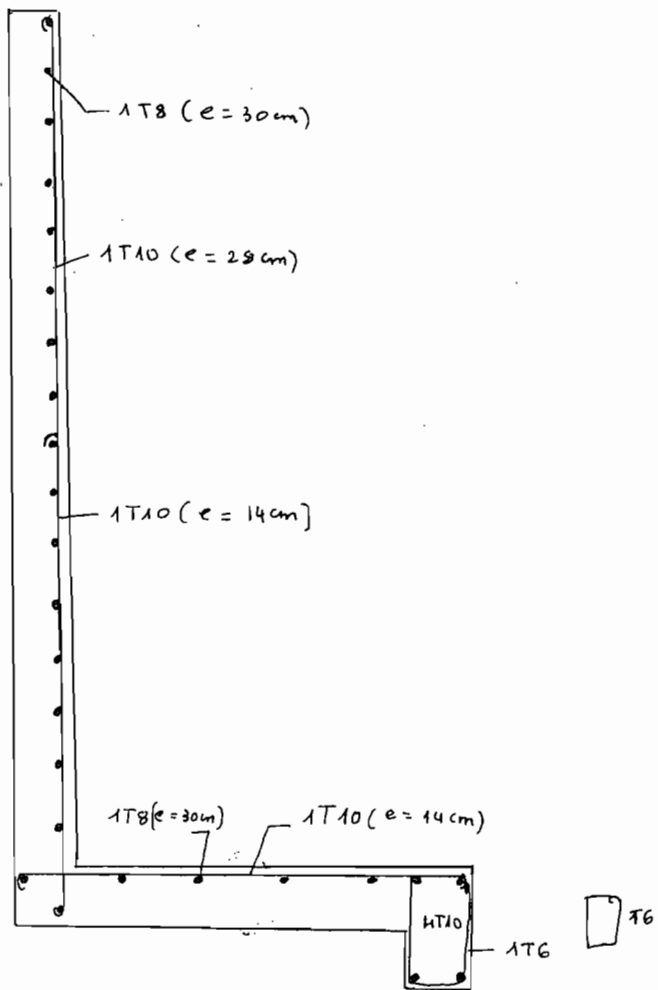
Comme l'armature transversale n'est pas requise, on choisit comme armure de répartition 1T8 ($e=30 \text{ cm}$)

- Pour la semelle : on choisit la même chose que pour les rideaux 1T10 ($e=14 \text{ cm}$) et comme armature de répartition 1T8 ($e=30$)

- La bâche : joue un rôle d'encaje et s'oppose au glissement de l'ouvrage sur l'arme par 2 T10, dans sa partie supérieure comme inférieure.

Armature du voile

Acier Fe E 40 type 1



4.9) Dimensionnement des escaliers

4.9.1) Escalier à vis reliant le sous-sol au R^e de chaussée

a) Méthode de calcul

La marche est encastrée au poteau et calculée en console.
Pour le calcul, on assimile la marche à une section rectangulaire de largeur b et d'épaisseur $\frac{a_1+a_2}{2}$.

On considère que la charge comprend, en dehors de son propre poids, le poids de 2 personnes soit 200 kg par marche.

Comme sa longueur est très courte, on le considère comme une console courte (voir ferrailage).

b) Calcul des aciers

Données du problème

$$b = 39 \text{ cm} ; \quad h_t = \frac{5+10}{2} = 7,5 \text{ cm} \quad l = 140 \text{ cm}$$

$$W_G = 25 \times 0,39 \times 0,075 = 0,73 \text{ kNm}$$

$$P_Q = 200 \text{ kg} = 2 \text{ kN}$$

Le moment maximum de design M_u

$$M_u = 1,35 \times W_G \times \frac{l^2}{2} + 1,5 \times P_Q \times \frac{l}{2} = 3,52 \text{ N.m}$$

Calcul de l'acier longitudinal A_s

$$X = \frac{M}{\bar{\sigma}_b \times b \times d^2} = \frac{3,5 \times 10^3}{11,4 \times 39 \times (7,5 \times 0,9)^2} = 1,16 \rightarrow \gamma_f = \frac{A_s}{bd} = 3,5\%$$

$$A_s = \frac{3,5 \times 39 \times 7,5}{1000} \approx 1,1 \text{ cm}^2 \Rightarrow 37,10$$

Calcul de V_u :

$$V_u = 1,35 W_G \times \frac{l}{2} + P \times 1,5 = 1,35 \times 0,73 \times \frac{1}{2} + 2 \times 1,5 = 3,5 \text{ kN}$$

$$\bar{\sigma}_u = \frac{3,5 \times 10}{39 \times 6,75} = 0,13 \text{ MPa} < \bar{\sigma}_{umax} = 2,6 \text{ MPa}$$

On choisit T6 $\rightarrow A_t = 0,28 \text{ cm}^2$ d'où

$$S_t = \frac{0,8 \times 352 \times 0,28}{39 \times 0,13} = 15 \text{ cm}$$

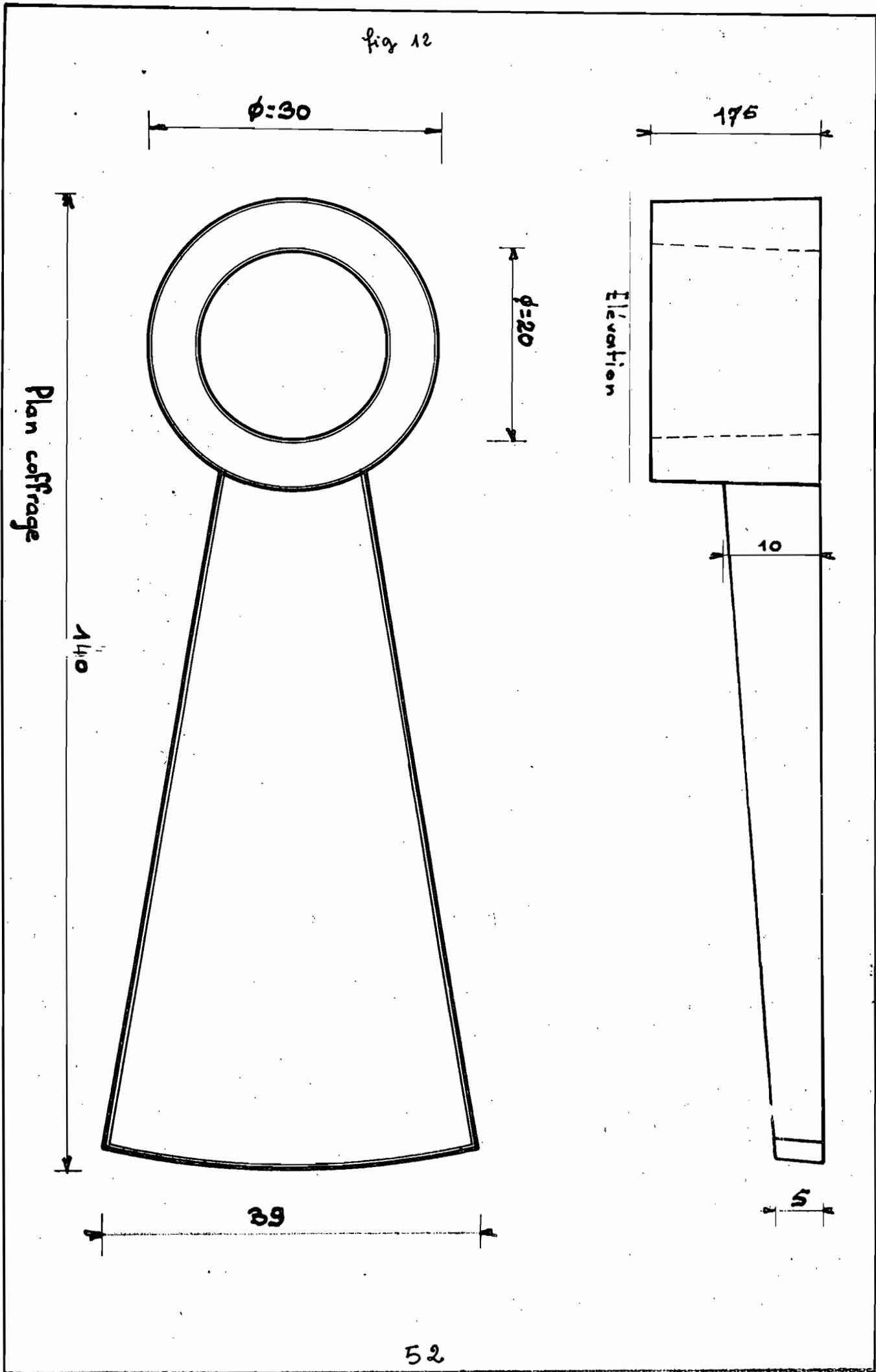
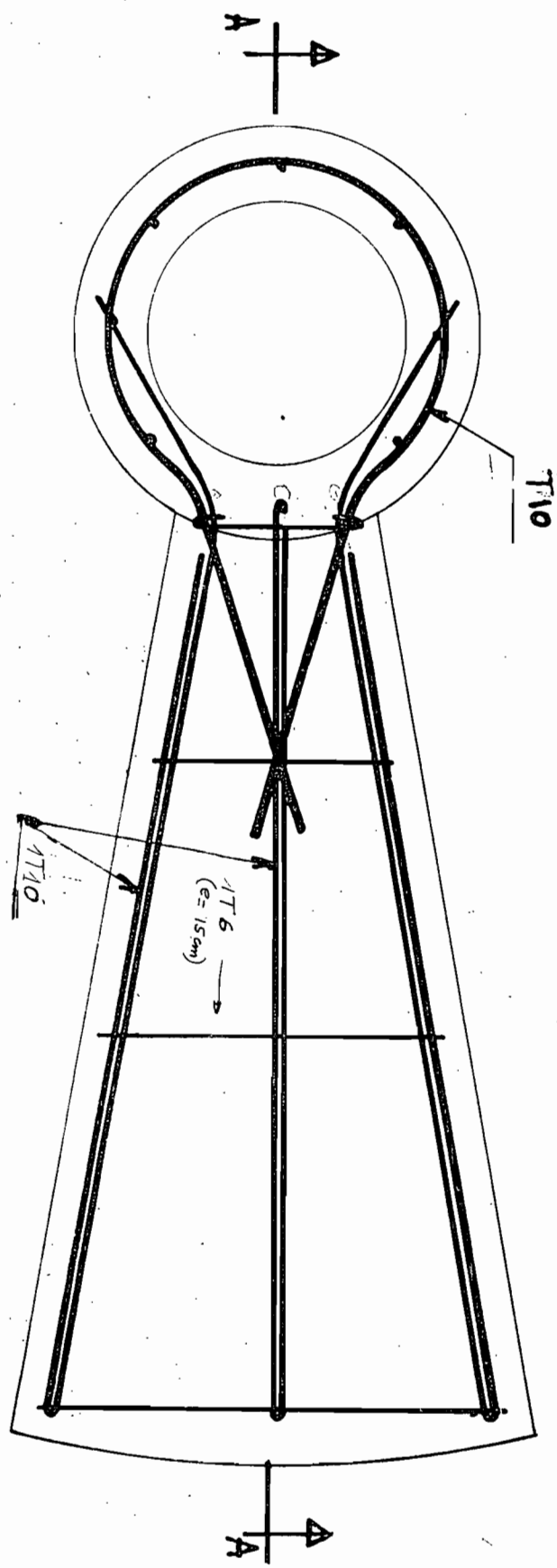


fig 13

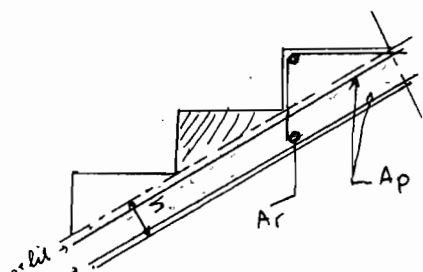


Coupe AA



4.9.2) Escalier central reliant le rez de chaussée au 1^e étage

Comme le montre les plans, nous avons choisi un escalier en pignon. Dans ce cas, la paillasse porte de palier à palier et l'élément résistant est constitué par une dalle inclinée d'épaisseur h_t semi-encastrée aux deux extrémités.



les marches au dessus de la dalle seront considérées comme des surcharges et n'interviennent pas dans la résistance.

choix de h_t : $h_t \approx \frac{l}{25} = \frac{2,70 \times 10^2}{25} = 12 \text{ cm}$

p_G la charge par m^2 de poids propre : $p_G = 25,0 \times 0,12 = 3,0 \text{ kN/m}^2$

p_Q la surcharge : $p_Q = 25 \times \left(\frac{17+0}{2}\right) + 3,0 = 5,1 \text{ kN/m}^2$

$p = 1,35 \times p_G + 1,5 \times p_Q = (1,35 \times 3 + 1,5 \times 5,1) \times 1,40 = 16,4$
dalle semi-encastrée \Rightarrow le moment $M = P \cos \alpha \frac{h_t^2}{10} = 16,4 \times \frac{\sqrt{2}}{2} \times \frac{140^2}{10} = 1950 \text{ N.m/m}$

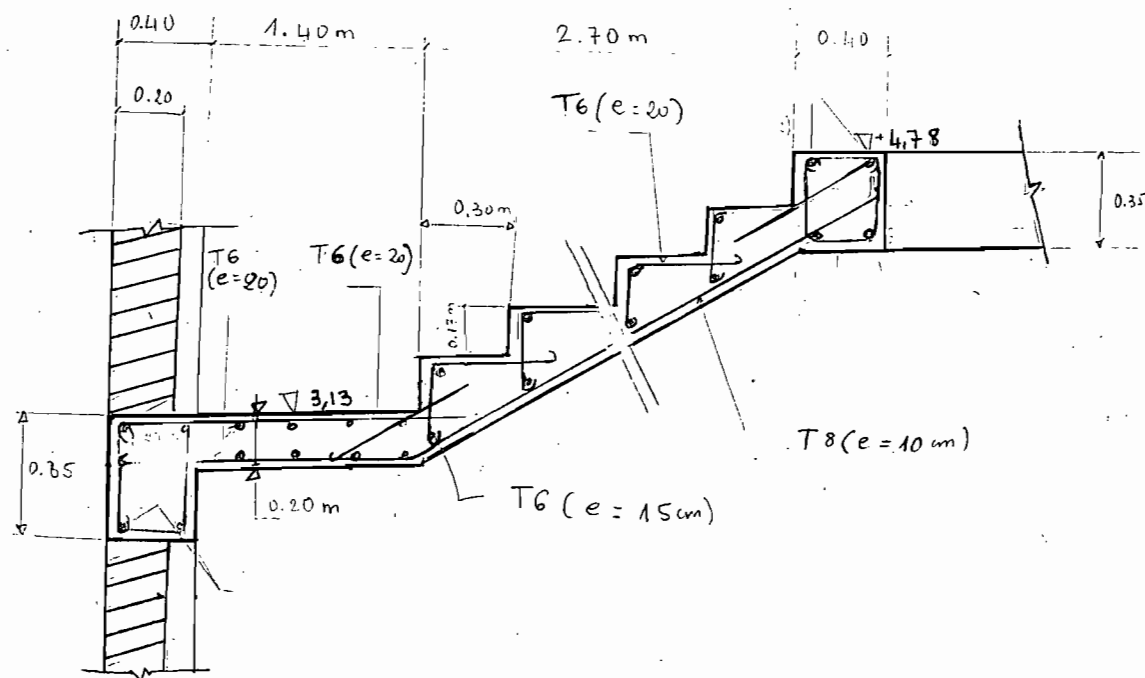
Calcul des armatures principales Ap

$$X = \frac{M_u \times 10^3}{f_b \times b(h_t + 0,9)^2} = \frac{1950 \times 10^3}{11,4 \times 140 \times 10,8^2} = 0,135 \Rightarrow y = 1,1 \%$$

$$\Rightarrow A_p = \frac{1,1 \times 140 \times 10,8}{1000} = 1,66 \text{ cm}^2 \Rightarrow T8(e=10 \text{ cm})$$

Pour l'armature de répartition Ar on peut prendre : $T6(e=15)$

1^e Volet de l'escalier central



2^e Volet de l'escalier central

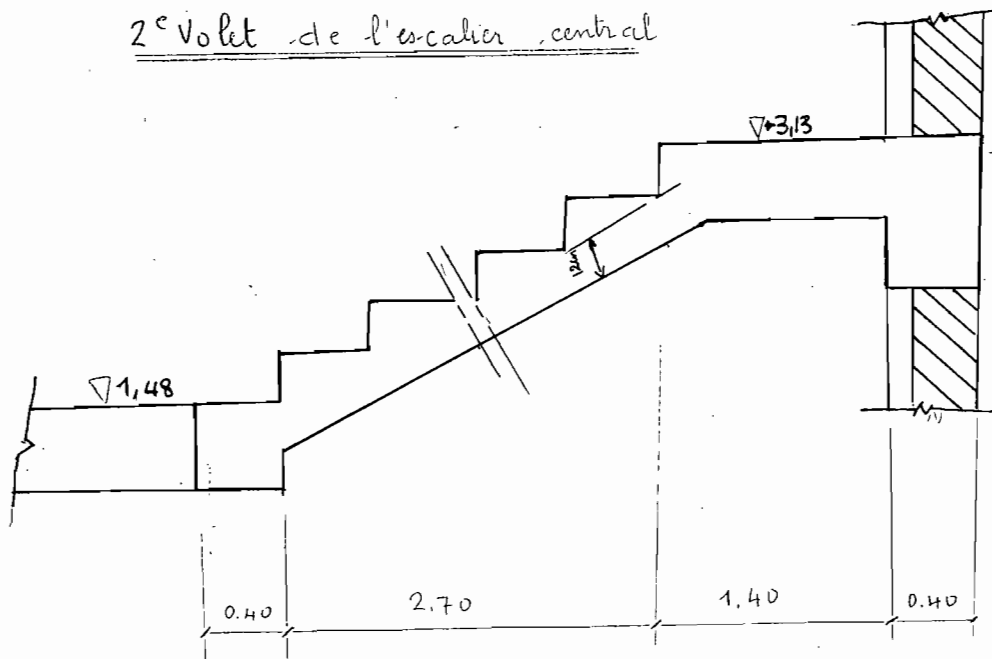


figure 14

4.10) Dimensionnement du dallage

4.10.1) Définition

C'est un ouvrage plan de grande surface et faible épaisseur reposant sur un sol auquel il transmet les actions qui lui sont appliquées.

C'est donc une fondation superficielle sujette au tassement.

Il comprend essentiellement le corps du dallage - la partie en béton et la forme - sous-couche constituée d'une certaine épaisseur de matériau choisi et mis en œuvre pour obtenir une assise sur laquelle est exécuté le corps du dallage.

4.10.2 Règle de Calcul

Les présentes règles de calcul sont applicables aux dallages à usage d'habitation, à usage de garage et à usage industriel.

Comme des calculs précis n'ont pas été élaborés pour traiter ce problème on peut utiliser le tableau suivant qui permet de déterminer l'épaisseur de la couche de béton en supposant une charge uniformément répartie de 10 kN/m^2 reposant sur un sous-sol homogène.

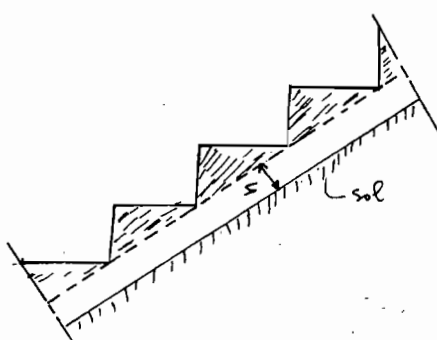
Le tableau donne les contraintes maximales de traction en bars en fonction de la largeur totale entre joint, de l'épaisseur du dallage h et du module de réaction du sol K .

En annexe 5, nous presenterons la méthode.

4.10.3) Calcul de l'épaisseur de dallage

Dc

1) Marches d'accès au rez-de-chaussée



h : épaisseur de la paillasse

Les marches au dessus seront considérées comme des surcharges et n'interviennent pas dans la résistance

- détermination des paramètres

K : le sol étant gravier le son CBR $\approx 20 \Rightarrow K = 6,8 \text{ bar/cm}$

$L = 440 \text{ cm}$

$$\text{le béton dosé à } 350 \text{ kg/m}^3 \Rightarrow f_{c28} = 25 \text{ MPa} \Rightarrow f_{t28} = 0,7 + 0,06 \times 25 \\ = 2,2 \text{ MPa} = 22 \text{ bars}$$

$$E_t = 12000 \sqrt[3]{f_{c28}} = 12000 \times (25)^{\frac{1}{3}} : 38000 \text{ MPa}$$

$$E_i = 12000 \sqrt[3]{0,685 \times 25 \log 4} = 24100 \text{ (utilisation après 3 jours)}$$

- détermination de h_t : épaisseur de la paillasse

pour $K = 6$, $h = 8 \text{ cm}$, $L = 500 \text{ cm} \Rightarrow f_{t\max} = 6,2 \text{ bars} < 22 \text{ bars ok!}$

donc on choisit $h_t = 8 \text{ cm}$

2) Les autres dallages non armés

nous avons $K = 6,8 \text{ bar/cm}$; $f_{t28} = 22 \text{ bars}$, $E_t = 38000 \text{ MPa}$

Or comme les largeurs sont inférieures à 5,00 m

on peut choisir des épaisseurs $h_t = 8 \text{ cm}$.

— CHAP. 5

CONCLUSION

Et

RECOMMANDATIONS

L'objectif de cette étude aura été de concevoir une structure permettant de recouvrir les fonctions essentielles d'un bâtiment administratif. Pour y parvenir, nous avons déterminé, à partir des plans architecturaux avec ces contraintes, un mode de construction constitué essentiellement :

- d'une ossature porteuse dans la partie principale où l'ossature remplit la fonction de résistance et le remplissage une fonction de clôture, d'étanchéité et d'isolation.
- d'un mur porteur sur les parties annexes

Cette analyse, une fois faite, nous avons développé un programme permettant de calculer les efforts critiques de chaque partie de l'ouvrage ; ceci en veillant à ce que les différents éléments - poteaux et poutres - soient encastrés les uns sur les autres pour assurer l'invariabilité des angles nécessaires à un ensemble monolithique rigide.

Et enfin, nous avons dimensionné tous les éléments de l'ouvrage dont les plus importants furent exposés dans ce rapport.

En demeurant, il nous plaît de dire que pour mener ce travail, nous avons tenté de respecter certains critères indispensables pour assurer aussi bien un bon calcul de résistance qu'une bonne mise en œuvre et de même qu'une réduction substantielle du coût du projet dont les principaux sont les suivants :

- Réduire autant que faire se peut le rapport entre la hauteur des bâtiments et la largeur de la façade. Ce rapport doit être supérieur à 2,0.
- Éviter les encorbellements, les corniches présentant des saillies importantes.
- Établir des fondations profondes soigneusement chaînées et engagées dans le sol résistant, notamment en vue d'opposer aux efforts de soulèvement.
- Réaliser une liaison très résistante entre les fondations et la superstructure
- Réduire les charges verticales dans les parties supérieures - étages - et abaisser le plus possible le centre de gravité de la construction. C'est pourquoi, il est impératif d'éviter les terrasses et toitures lourdes.

Cependant, le seul gage de succès d'un projet de construction est sa bonne réalisation. C'est pourquoi, nous nous sommes proposés de faire mention de recommandations pratiques utiles quant à la réalisation de certains ouvrages:

ANNEXE

1

Determination des charges et prédimensionnement des poteaux du

- 1^{er} Etage

- Rez de Chaussee

- Sous- Sol

I Determination des charges du 1^{er} étage

1.1) Calcul des charges

1.1.1) Nervures C25+5

Charge permanente G

$$\text{poids propre C25+5} \quad \dots \dots \dots \quad 4,0 \text{ kN/m}^2$$

$$\text{enduit et carreau} \quad \dots \dots \dots \quad 1,2 \text{ kN/m}^2$$

$$G = 5,2 \text{ kN/m}^2$$

$$\text{Surcharge d'exploitation} \quad Q = 3,0 \text{ kN/m}^2$$

Ainsi, la charge appliquée par unité de nervure donne

$$G = 5,2 \times 0,6 = 3,12 \text{ kN/m}$$

$$Q = 0,6 \times 3,0 = 1,8 \text{ kN/m}$$

1.1.2) Gravées 19-18; 25-24 ; 17, 20, 23, 236

Les poutres sont de section 30x20

Charge permanente G

$$\text{poids propre: } 2500 \times 10^2 \times 0.3 \times 0.2 = 1,5 \text{ kN/m}$$

$$\text{dalle + enduit + carreau } 5,2 \times [2,2 + \frac{4,945}{2}] = 24,3 \text{ kN/m}$$

$$\text{Mur en parpaings creux } 1500 \times 10^2 \times 0.25 \times 0.7 = 9,3$$

$$G = 35,1 \text{ kN/m}$$

Surcharge d'exploitation

$$3,0 \times (2,2 + 4,945/2) \rightarrow Q = 14,0 \text{ kN/m}$$

1.1.3) Gravees 15-16; 21-22

Les poutres ont des sections 30×20

Charge permanente

$$\text{poids propre} \quad 1,5 \text{ kN/m}$$

$$\text{- dalle + enduit + carreau : } 5,2 \times \left[\frac{4140}{2} + 0,6 \right] : 16,2 \text{ kN/m}$$

$$\text{Mur en parpaings} : 9,3 \text{ kN/m}$$

$$G = 27,0 \text{ kN/m}$$

$$\text{Surcharge d'exploitation : } 3,0 \times 2,8 \rightarrow Q = 8,4 \text{ kN/m}$$

1.1.4) Gravees 27, 28 (20x40)

Les poutres sont de section 40×20

Charge permanente

$$\text{poids propre : } 2,5 \times 0,35 \times 0,2 = 1,8 \text{ kN/m}$$

$$\text{- dalle + enduit + carreau : } 5,2 \times [4,945] : 25,7 \text{ kN/m}$$

$$\text{mur} : 9,3 \text{ kN/m}$$

$$G = 37,0 \text{ kN/m}$$

$$\text{Surcharge d'exploitation } 3,0 \times 4,945 \rightarrow Q = 14,8 \text{ kN/m}$$

1.1.5) Graves 28; 29; 32; 33 (30x20)

Charge permanente

$$\text{poids propre : } 2,5 \times 0,3 \times 0,2 = 1,5 \text{ kN/m}$$

$$\text{- dalle + enduit + carreau : } 5,2 \times (3,15 + 0,6) = 19,3 \text{ kN/m}$$

$$G = 20,8 \text{ kN/m}$$

$$\text{Surcharge d'exploitation } 3,0 \times 3,15 \rightarrow Q = 11,1 \text{ kN/m}$$

1.1.6) Gravces 39-38-37 ; 45-46-47 (20x62)

. Partie comprise entre poutres transversales

charge permanente

$$\text{poids propre} : 25 \times 0,7 \times 0,2 = 3,5 \text{ kN/m}$$

$$\text{dalle + enduit + carreau} : 5,2 \times (2,3 + 2,2) = 23,4 \text{ kN/m}$$

$$G = 26,9 \text{ kN/m}$$

$$\text{Surcharge d'exploitation } 3,0 \times (2,3 + 2,2) \rightarrow Q = 13,5 \text{ kN/m}$$

. Parties externes

charge permanente G

$$\text{poids propre} = 3,5 \text{ kN/m}$$

$$\text{dalle + enduit} = 5,2 \times (2,3 + 0,6) = 15,1 \text{ kN/m}$$

$$G = 18,6 \text{ kN/m}$$

$$\text{Surcharge d'exploitation } 3,0 \times (2,3 + 0,6) \rightarrow Q = 9,0 \text{ kN/m}$$

1.1.7 Gravces 49-34-35 ; 41-42-43 ; 40,44,48,36

. Partie centrale des poutres 34 et 42 donne $Q = 13,5$ et $G = 26,9 \text{ kN/m}$

. Parties externes

charge permanente

$$\text{poids propre} = 3,5$$

$$\text{dalle + enduit + carreau} = 5,2 \times (3,11^5 + 2,3) = 28,2$$

$$G = 31,7 \text{ kN/m}$$

$$\text{Surcharge d'exploitation} : 3,0 \times (3,11^5 + 2,3) \rightarrow Q = 16,2 \text{ kN/m}$$

1.2 | Predimensionnement des poteaux

1.2.1) Poteaux 14, 15, 16, 17, 18, 19, 20, 21

Surfaces tributaires $S = (3,0 + 2,3) \times \frac{9,89 + 3,11}{2} = 33,8 \text{ m}^2$

Charge permanente

dalle $5,2 \times 33,8 \quad 176 \text{ kN}$

poutre $3,5 \left[\frac{2,135^2}{2} + 4,945 + 2,78 \right] \quad 33 \text{ kN}$

$G = 209 \text{ kN}$

Surcharge d'exploitation $3,0 \times 33,8 \rightarrow Q = 100 \text{ kN}$

charge pondérée $P_u = 1,35 \times 209 + 1,5 \times 100 = 435 \text{ kN}$

choix de la section de béton B

Hypothèse: $f_{c28} = 20 \text{ MPa}$ (dosage à 350 kg/m³) ~~ET~~

Fe E 40 : $f_e = 400 \text{ MPa}$ et $A_s = \frac{B}{100}$

Ainsi, nous aurons

$$B = \frac{P_u}{\frac{0,85 f_{c28}}{\gamma_b} + \frac{f_e}{100}} = \frac{P_u}{\frac{0,85 \times 20}{1,5} + \frac{400}{1,15 \times 100}} = \frac{P_u}{14,8} \times 10$$

$B \geq \frac{P_u \times 10}{14,8}$ $P_u \text{ en kN}$ $B \text{ en cm}^2$

d'où $B \geq \frac{435}{14,8} = 29,4 \text{ cm}^2 < 20 \times 20 \text{ cm}^2 \quad \text{ok!}$

1.2.2) Poteaux 1, 3, 4, 6, 7, 9, 10, 13

Surface tributaire $S = \left(\frac{4,945 + 4,40}{2} \right) \times \left(\frac{4,945}{2} \right) = 11,6 \text{ m}^2$

Charge permanente

dalle: $5,2 \times 11,6 \quad 60,2$

poutre $1,8 \cdot (3,115 + 2,68) \cdot \frac{1}{2} \quad 5,3$

$G = 65,5 \text{ kN}$

Surcharge d'exploitation : $3,0 \times 11,6$ $\rightarrow Q = 35 \text{ kN}$

$$P_u = 1,35 \times 66 + 1,5 \times 35 = 142 \text{ kN} < 435 \text{ kN}$$

donc $B = 20 \times 20$ ok!

1.2.3 | poteau 11

$$S = (4,945)^2 = 25,0 \text{ m}^2$$

Charge permanente

dalle $5,2 \times 25$ $130,0$

poutre $1,8 \times 4,945$ $9,0$

$$G = 139,0 \text{ kN}$$

Surcharge d'exploitation $3,0 \times 25$ $\rightarrow Q = 75,0 \text{ kN}$

$$P_u = 1,35 \times 139 + 1,5 \times 75 = 300 < 435 \text{ kN}$$

donc $B = 20 \times 20$ ok!

1.2.4 | poteau 2, 5, 8, 12

$$S = 4 \cdot 945 + \frac{4,40 + 4,94}{2} = 23,0 \text{ m}^2$$

Charge permanente

dalle $5,2 \times 23,0$ $120,0$

poutre $1,8 \times 4,945$ $9,0$

$$G = 129,0 \text{ kN}$$

Surcharge d'exploitation : $3,0 \times 23,0$ $Q = 69,0 \text{ kN}$

$$P_u = 1,35 \times 129 + 1,5 \times 69,0 = 278 \text{ kN} < 435 \text{ kN}$$

donc $B = 20 \times 20$ ok!

II Determination des charges du Rez de chaussee

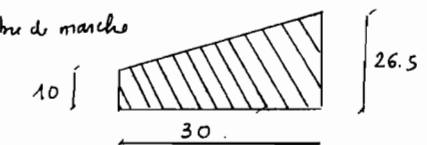
2.1) Calcul de charge

1) Escalier

Aire d'un volet = Aire d'une marche × nombre de marche

$$= \frac{0.3 \times [0.10 + 0.265]}{2} \times 10$$

$$= 0,54 \text{ m}^2$$



Section transversale de la marche

poids propre = $0,54 \times 25 = 13,5 \text{ kN/m}$

Charge d'exploitation = $4,0 \times 0,3 = 1,2 \text{ kN/m}$ / marche

2) Nervures

a) C 25+5

Charge permanente G:

poids propre	$4,0 \text{ kN/m}^2$
--------------	----------------------

enduit + carreau	<u>$1,2 \text{ kN/m}^2$</u>
------------------	--

$$G = 5,2 \text{ kN/m}^2$$

Charge d'exploitation	$Q = 3,0 \text{ kN/m}^2$
-----------------------	--------------------------

Donc une poutrelle -C 25+5- de largeur 0,6 m, nous aurons

$$G = 5,2 \times 0,6 = 3,12 \text{ kN/m} ; Q = 3 \times 0,6 = 1,8 \text{ kN/m}$$

b) C 30+5

Charge permanente G

poids propre	$4,4 \text{ kN/m}^2$
--------------	----------------------

enduit + carreau	<u>$1,2 \text{ kN/m}^2$</u>
------------------	--

$$G = 5,6 \text{ kN/m}^2$$

Surcharge d'exploitation	$Q = 3,0 \text{ kN/m}^2$
--------------------------	--------------------------

Pour une poutrelle de largeur 0,6, nous avons

$$Q = 1,8 \text{ kN/m} \quad \text{et} \quad G = 5,6 \times 0,6 = 3,4 \text{ kN/m}$$

3) Travees 50-51 ; 56-57 (20x40)

Charge permanente G

poids propre	$25 \times 0,2 \times 0,4$	2,0
dalle + enduit + carreaux	$5,6 \times (3,5 + 0,6)$	23,0
Mur en parpaing	$15 \times 0,23 \times 2,9$	<u>10,6</u>
		$G = 35,0 \text{ kN/m}$
Surcharge d'exploitation Q : $3,0 \times 4,1$		$\rightarrow Q = 12,3 \text{ kN/m}$

4) Travees 67, 66 bis à 4.78 (40x35)

Charge permanente G

poids propre	$25 \times 0,4 \times 0,35$	3,5
escalier supporté	$13,5 / 2$	7,0
Mur supporté	$15 \times 0,23 \times 1,3$	<u>4,5</u>
		$G = 15,0 \text{ kN/m}$
Surcharge d'exploitation Q : $1,2 \times 5,0$		$Q = 6,0 \text{ kN/m}$

5) Travees 56 à 3,13 (40x35)

Charge permanente G

poids propre	$25 \times 0,4 \times 0,35$	3,5
escalier		7,0
palier	$25 \times 1,4 \times 0,12$	4,2
Mur en parpaing	$15 \times 0,23 \times 1,62$	<u>5,6</u>
		$G = 20,3 \text{ kN/m}$

Surcharge d'exploitation $Q = 6,0 \text{ kN/m}$

6/ Traverse 54 - 53 (20x40)

Charge permanente

poids propre	$25 \times 0,4 \times 0,2$	3,5
Mur en parpaing	$15 \times 0,2 \times 2,9$	10,0
dalle + enduit + carreau	$5,6 \times [3,5 + 2,475]$	<u>33,5</u>
$G = 47,0 \text{ kN/m}$		

Surcharge $Q = 3,0 \times (3,5 + 2,475)$ $Q = 18,0 \text{ kN/m}$

7/ Traverse 59 (20x40)

Charge permanente

poids propre	$25 \times 0,4 \times 0,2$	3,5
Mur en parpaings	$15 \times 0,2 \times 2,9$	10,0
dalle + enduit + carreau	$5,6 \times [3,5 + 0,8]$	<u>24,1</u>
$G = 37,6 \text{ kN/m}$		

Surcharge d'exploitation $Q : 3,0 \times 4,3$ $Q = 12,9 \text{ kN/m}$

8/ Traverse 60 (20x40)

Changement uniforme

$$G = 47,0 \text{ kN/m} \quad Q = 18,0 \text{ kN/m}$$

Changement ponctuel $G_1 = \frac{1}{2} \times 4,945 \times 10,5 = 26,0 \text{ kN}$ $Q_1 = 15,0 \text{ kN}$

9/ Poutres 65, 62 (20x35)

Charge permanente

poids propre	$25 \times 0,35 \times 0,2$	1,75
dalle + enduit + carreau	$5,6 \times (4,945)$	<u>27,7</u>
$G = 29,5 \text{ kN/m}$		

Surcharge d'exploitation $Q: 3,0 \times 4,945 \rightarrow Q = 14,8 \text{ kN/m}$

10/ Poutre 63 (40x20)

Charge permanente

poids propre	$25 \times 0,4 \times 0,2$	2,0
--------------	----------------------------	-----

dalle + enduit + carreau	$5,6 \times 4,945$	27,7
--------------------------	--------------------	------

Mur en parpaings		<u>10,0</u>
------------------	--	-------------

$$G = 39,7 \text{ kN/m}$$

Surcharge d'exploitation $Q: 3,0 \times \frac{4,945}{2} \rightarrow Q = 14,8 \text{ kN/m}$

11/ Poutre 64 (40x20)

Charge permanente

poids propre	$25 \times 0,4 \times 0,2$	2,0
--------------	----------------------------	-----

dalle + enduit	$5,6 \times \frac{4,945}{2}$	13,9
----------------	------------------------------	------

Mur en parpaings		<u>10,0</u>
------------------	--	-------------

$$G = 25,9 \text{ kN/m}$$

Surcharge d'exploitation $3,0 \times \frac{4,945}{2} \rightarrow Q = 7,4 \text{ kN/m}$

12/ Poutres 52, 55, 58, 61 (20x35)

Charge permanente

poids propre	$25 \times 0,35 \times 0,2$	1,75
--------------	-----------------------------	------

dalle + enduit + carreau	$5,6 \times (0,6 + \frac{4,945}{2})$	<u>17,2</u>
--------------------------	--------------------------------------	-------------

$$G = 19,0 \text{ kN/m}$$

Surcharge d'exploitation : $3,0 \times (0,6 + \frac{4,945}{2}) \rightarrow Q = 9,0 \text{ kN/m}$

13/ Poutres 83, 85, 87, 89, 91, 78, 79 (20x35)

Charge permanente

poids propre	$25 \times 0,35 \times 0,2$	1,75
--------------	-----------------------------	------

dalle + enduit + carreau $5,2 \times \left(\frac{3,2}{2} \right)$ 8,3,2

Mur en parpaings 10,0

$$G = 20,0 \text{ kN/m}$$

Surcharge d'exploitation $3,0 \times 1,6$ Q = 4,8 kN/m

14/ Poutres 80 - 82 - 84 - 98 - 88 - 90 (20 x 40)

Charge permanente

poids propre $25 \times 0,4 \times 0,2$ 2,0

dalle + enduit + carreau $5,6 \times 0,6 + 5,2 \times 2,8$ 18,0

Mur en parpaings 10,0

$$G = 30,0 \text{ kN/m}$$

Surcharge d'exploitation $3,0 \times 3,4$ Q = 10,0 kN/m

15/ Poutres 73 - 74 - 75 - 76 - 70 - 72 (20 x 40)

Charge permanente

poids propre $25 \times 0,4 \times 0,2$ 2,0

Mur 10,0

dalle + enduit + carreau $5,6 \times \left(\frac{2,4 + 6,0}{2} \right)$ 23,52

$$G = 35,3 \text{ kN/m}$$

Surcharge d'exploitation $3,0 \times 4,2$ Q = 12,6 kN/m

16 Poutres 113 - 114 - 112 (20 x 35)

Charge permanente

poids propre $25 \times 0,35 \times 0,2$ 1,8

dalle + enduit + carreau $5,2 \times 0,6 + 5,6 \times 0,6$ 19

$$G = 20,5 \text{ kN/m}$$

Surcharge d'exploitation : $3,0 \times \left[\frac{6,0}{2} + 0,6 \right]$ Q = 10,8 kN/m

17/ Poutre 115 (35x40)

Charge permanente

poids propre	$25 \times 0,4 \times 0,35$	3,5
Mur		10,0
-dalle + enduit	$5,6 \times 0,8$	<u>4,5</u>
		$G = 17,5 \text{ kN/m}$

Surcharge d'exploitation : $3,0 \times 0,8 \rightarrow Q = 2,4 \text{ kN/m}$

18/ Poutres 103 - 104 - 109 - 108 - 92 - 94 - 98 - 99 (20x58)

charge permanente

poids propre	$25 \times 0,2 \times 0,58$	= 2,9
-dalle + enduit + carreau	$5,2 \times (1,5 + 1,8) + 5,6 \times 1,7$	= 26,7
acrotère	$25 \times 2,1 \times 0,1$	<u>5,3</u>
		$G = 34,9 \text{ kN/m}$

Surcharge d'exploitation

-dalle	$3,0 \times (1,5 + 1,8 + 1,7)$	15,0
acrotère	$3,0 \times 0,1$	<u>0,3</u>
		$Q = 15,3 \text{ kN/m}$

19/ Poutres 93 - 95 - 97 - 107 - 105 - 110 (20x58)

charge permanente

poids propre		2,9
-dalle + enduit + carreau	$5,2 \times (1,5 + \frac{5,5}{2})$	22,5
acrotère		<u>5,3</u>
		$\cancel{Q} = 30,7$

Surcharge d'exploitation $Q = 3,0 \times (1,5 + \frac{5,5}{2}) = 12,75 \text{ kN/m}$

20/ Poutres 101 - 102 - 100 (20 x 58)

Charge permanente

poids propre 2,9

dalle $5,6 \times \left(\frac{3,88^3}{2} \right)$ 10,9

Mur 10,0

$$G = 23,8 \text{ kN/m}$$

Surcharge d'exploitation

$$Q = 3,0 \times \frac{3,88^3}{2} = 5,8 \text{ kN/m}$$

21/ Poutres 68 - 69 (20 x 40)

Charge permanente

poids propre 2,0

dalle $5,6 \times \left(\frac{2,4}{2} + \frac{6,0}{2} \right)$ 23,5

Mur 10,0

$$G = 35,5 \text{ kN/m}$$

Surchage d'exploitation $Q = 3,0 \times 4,2 = 12,6 \text{ kN/m}$

22/ Poutres 77 (20 x 58)

Charge permanente

poids propre 2,9

dalle + conduit $5,6 \times (1,2 + 2,4)$ 20,2

Mur 10,0

$$G = 33,1 \text{ kN/m}$$

Surchage d'exploitation $Q = 3,0 \times (1,2 + 2,4) = 10,8 \text{ kN/m}$

23/ Poutres 96 - 111 - 103 - 106 (20 x 58)

charge permanente

poids propre 2,9

$$\text{dalle} \quad 5,6 \times 1,7 + 5,2 \times 1,8 \quad 19,0$$

$$\text{Mun} \quad \underline{10,0}$$

$$G = 31,9 \text{ kNm}$$

$$\text{Surcharge d'exploitation } 3,0 \times 3,5 \rightarrow Q = 10,5 \text{ kNm}$$

2.2 | Predimensionnement des poteaux

Il se fait, de la même façon que concernant les mureaux supérieurs déjà calculé en détail, c'est pourquoi nous nous limiterons à donner les résultats.

1| Poteaux 29, 28, 32, 34, 37, 39, 22, 23, 26, 25

nous aurons la largeur de section $B = 20 \times 20$

2| Poteaux 30 - 31 - 35 - 36 - 40 - 41 - 24 - 27

$B = 20 \times 20$

3| Poteaux 33 - 38

$B = 20 \times 20$

4| Poteaux 16, 20, 19, 17, 18, 21, 1, 3, 4, 7, 9, 10, 13, 5, 12

$B = 30 \times 20$

5| Poteaux 14, 15, 11

$B = 40 \times 20$

6| Poteaux 42, 43, 44, 45, 46, 47, 48, 49

$B = 20 \times 20$

III / Détermination des charges du P. H^t du Sous-Sol

1/ Poutres 167, 168, 171, 172, 173, 177, 178, 161, 162, 163 (20x40)

Charge permanente

poids propre	$25 \times 0,4 \times 0,2$	2,0
dalle	$5,6 \times 3,5$	19,6
Autre		<u>2,0</u>
$G = 23,6 \text{ kN/m}$		

Surcharge d'exploitation : $3,0 \times 3,5$

$$Q = 10,5 \text{ kN/m}$$

2/ Poutres 169, 179 (20x40)

Charge permanente

poids propre	$25 \times 0,4 \times 0,2$	2,0
dalle	$5,6 \times 0,6$	3,4
Autre		<u>2,0</u>
$G = 7,4 \text{ kN/m}$		

Surcharge d'exploitation : $3,0 \times 0,6$

$$Q = 2,10 \text{ kN/m}$$

3/ Poutres 150, 151 (20x40)

Charge permanente

poids propre		2,0
dalle	$1,2 \times 5,6$	6,7
cloison		<u>10,0</u>
$G = 18,7 \text{ kN/m}$		

Surcharge d'exploitation : $3,0 \times 1,2$

$$Q = 3,6 \text{ kN/m}$$

4/ Dalle pleine (- donnant une ouverture pour l'escalier tournant)

Choix de l'épaisseur : $h_t \approx \frac{l_x}{25} = \frac{700}{25} = 28 \rightarrow h_t = 30 \text{ cm}$

Charge permanente : $G = 25 \times 0,3 + 1,2 = 8,7 \text{ kN/m}^2$

Surchage d'exploitation $Q = 3,0 \text{ kN/m}^2$

5/ Poutres 174, 176 (20x40)

charge permanente

poids propre	2,0
dalle $\frac{3}{5}(3,5 \times 8,7) + 5,6 \times 0,6$	21,0
Clôture	<u>10,0</u>

$$G = 33,7 \text{ kN/m}$$

$$\text{Surcharge d'exploitation : } 3,0 \times \left[\frac{3}{5} \times 3,5 + 0,6 \right]$$

$$Q = 8,1 \text{ kN/m}$$

6/ Poutres 154 - 153 (20x35)

charge permanente

poids propre	2,0
dalle $5,6 \times (3,5 + 0,6)$	23,0
Clôture	<u>7,0</u>

$$G = 32,0 \text{ kN/m}$$

$$\text{Surcharge d'exploitation : } 3,0 \times 4,1$$

$$Q = 12,3 \text{ kN/m}$$

7/ Poutres 152 (20x35) ; 139, 140 (20x40)

$$G = 25,0 \text{ kN/m} \quad Q = 12,3 \text{ kN/m}$$

8/ Poutre 159 (20x35)

charge permanente

poids propre	2,0
dalle $5,6 \times 1,6$	9,0
Clôture	<u>10,0</u>

$$G = 21,0 \text{ kN/m}$$

$$\text{Surcharge d'exploitation } 3,0 \times 1,6$$

$$Q = 11,8 \text{ kN/m}$$

9/ Poutre 160 (20x40)

charge permanente

poids propre	2,0
dalle $5,6 \times (0,6 + 1,2)$	10,1
Clôture	<u>10</u>

$$\frac{10}{G = 22,1 \text{ kN/m}}$$

$$\text{Surcharge d'exploitation } Q = 5,4 \text{ kN/m}$$

10/ Poutre 158 (20x40)

Charge permanente

poids propre 2,0

-dalle 13,5

Clôture 10,0

$$G = 25,5 \text{ kN/m}$$

Surcharge d'exploitation : $3,0 \times 2,4$

$$Q = 7,2 \text{ kN/m}$$

11/ Poutre 141 (20x40)

Charge permanente

poids propre 2,0

-dalle 6,7

Mur supporte (clôture) 10,0

$$G = 18,7 \text{ kN/m}$$

Surcharge d'exploitation : $3,0 \times 1,2$

$$Q = 3,6 \text{ kN/m}$$

12/ Poutres 124, 122, 142, 144 (20x40)

Charge permanente

poids propre 2,0

-dalle 17,8

Clôture 10,0

$$G = 29,8 \text{ kN/m}$$

Surcharge d'exploitation $3,0 \times (1,65 + 0,6)$

$$Q = 6,8 \text{ kN/m}$$

13/ Poutres 123, 143 (20x40)

Charge permanente

poids propre 2,0

-dalle 23,5

Clôture 10,0

$$G = 35,5 \text{ kN/m}$$

Surcharge d'exploitation $3,0 \times 2,7$

$$Q = 8,1 \text{ kN/m}$$

14| Poutre 175 (20x40),

Charge permanente

poids propre 2,0

dalle 8,7 + 2,7 23,5

clisson 10,0

$$G = 35,5 \text{ kN/m}$$

Surcharge d'exploitation 3,0 x 2,7 Q = 8,1 kN/m

15| Poutres 130, 131, 132 (20x35) ; 125, 116, 117 (20x40)

Charge permanente

poids propre 2,0

dalle 5,6 x (3,5 + 0,6) 23,0

clisson 10,0

$$G = 35,0 \text{ kN/m}$$

Surcharge d'exploitation 3,0 x 4,1 Q = 12,3 kN/m

16| Poutres 127, 128, 129, 120, 119 (20x40)

Charge permanente

poids propre 2,0

dalle 5,6 x (3,5 + 2,475) 33,4

clisson 10,0

$$G = 45,4 \text{ kN/m}$$

Surcharge d'exploitation Q = 17,9 kN/m

17| Poutres 121, 118 (20x35)

G = 35,4 kN/m Q = 12,3 kN/m

18| Poutres 134, 135 (20x40)

charge permanente : poids propre 2,0

dalle 5,6 x 4,945 27,6

clisson 10,0

$$G = 39,6 \text{ kN/m}$$

Surcharge d'exploitation : 3,0 x 4,945 Q = 14,8 kN/m

Poutres du 1^e étage

Poutres	Appui Gauche						Appui Droite																			
	Section cm ²	Long. mm	M _u kNm	A _s cm ²	A' _s cm ²	Arma- tures kNm	V _u kN	S _t cm	Arma- tures kNm	M _u kNm	A _s cm ²	Arma- tures kNm	V _u kN	S _t cm	Arma- tures kNm	A _s cm ²	Arma- tures kNm	V _u kN	S _t cm	Arma- tures kNm						
37	20x 63	2,78	-269,1	16,6	4T25	-	-	152,9	5,5	T8	-1370	7,56	4T16	-	-	109,4	8,5	T8	-137	4,56	4T16	-	-	109,4	8,5	T8
39	20x63	2,78	-169,1	16,6	4T25	-	-	152,2	5,5	T8	-1370	7,56	4T16	-	-	109,4	8,5	T8	-137	7,56	4T16	-	-	109,4	8,5	T8
45	20x63	2,78	-269,1	16,6	4T25	-	-	152,2	5,5	T8	-1370	7,56	4T16	-	-	109,4	8,5	T8	-137	7,56	4T16	-	-	109,4	8,5	T8
47	20x63	2,78	-269,1	16,6	4T25	-	-	152,2	5,5	T8	-1370	7,56	4T16	-	-	109,4	8,5	T8	-137	7,56	4T16	-	-	109,4	8,5	T8
38	20x 63	9,89	181,9	10,3	4T20	-	-	223,7	4,0	-11-	286,8	18,05	4T25	-	-	14,9	7,5	-11-	181,9	10,3	4T20	-	-	223,7	4,0	T8
46	20x 63	9,89	181,9	10,3	4T20	-	-	223,7	4,0	-11-	286,8	18,05	4T25	-	-	14,9	7,5	-11-	181,9	10,3	4T20	-	-	223,7	4,0	T8
35	20x 63	2,78	-3 58	26,4	6T25	+0,5	216	4,0	-11-	200,9	14,65	4T20	-	-	154,0	5,5	-11-	200,9	14,65	4T20	-	-	154	5,5	T8	
49	20x 63	2,78	-359	26,4	6T25	-	-	216	4,0	-11-	200,9	14,65	4T20	-	-	154,0	5,5	-11-	200,9	14,65	4T20	-	-	154	5,5	T8
43	20x 63	2,78	-358	26,4	6T25	-	-	216	4,0	-11-	200,9	14,65	4T20	-	-	154,0	5,5	-11-	200,9	14,65	4T20	-	-	154	5,5	T8
41	20x 63	2,78	-358	26,4	6T25	-	-	216	4,0	-11-	200,9	14,65	4T20	-	-	154,0	5,5	-11-	200,9	14,65	4T20	-	-	154	5,5	T8
42	20x 63	9,89	200,9	14,65	4T20	-	-	223,7	4,0	-11-	267,7	16,65	4T25	-	-	141,4	7,5	-11-	239,9	14,65	4T20	-	-	223,7	4,0	T8
34	20x 63	9,89	200,9	14,65	4T20	-	-	223,7	4,0	-11-	367,7	16,65	4T25	-	-	141,4	7,5	-11-	239,9	14,65	4T20	-	-	223,7	4,0	T8

Poutres du 1^e étage suite

Poutres			Appui Gauche								Travee								Appui Droite								
n°	Sectio	Long.	M _u	A _s	Arma-	Arma-	A'	Arma-	V _u	St	Arma-	M _u	A _s	Arma-	A'	Arma-	V _u	St	Arma-	M _u	A _s	Arma-	A'	Arma-	V _u	St	Arma-
15	20x30	2,78	31,4	3,64	2T16	-	-	84,9	5,0	T8	35,6	4,2	3T14	-	-	51,3	8,5	T8	19,0	1,09	2T10	-	-	89,0	5,5	T8	
16	20x30	2,78	31,4	3,64	2T16	-	-	84,9	5,0	-II-	35,6	4,2	3T14	-	-	51,3	8,5	-II-	10,0	1,09	2T10	-	-	89,0	5,5	-II-	
21	20x30	2,78	31,4	3,64	2T16	-	-	84,9	5,0	-II-	35,6	4,2	3T14	-	-	51,3	8,5	-II-	10,0	1,09	2T10	-	-	89,0	5,5	-II-	
22	20x30	2,78	31,4	3,64	2T16	-	-	84,9	5,0	-II-	35,6	4,2	3T14	-	-	51,3	8,5	-II-	10,0	1,09	2T10	-	-	89,0	5,5	-II-	
19	20x30	2,78	43,9	5,31	3T16	-	-	111,8	3,5	-II-	50,2	6,2	2T20	-	-	67,2	6,5	-II-	13,5	1,48	2T10	-	-	105,1	4,5	-II-	
18	20x30	2,78	43,9	5,31	3T16	-	-	111,8	3,5	-II-	50,2	6,2	2T20	-	-	67,2	6,5	-II-	13,5	1,48	2T10	-	-	105,1	4,5	-II-	
24	20x30	2,78	43,9	5,31	3T16	-	-	111,8	3,5	-II-	50,2	6,2	2T20	-	-	67,2	6,5	-II-	13,5	1,48	2T10	-	-	105,1	4,5	-II-	
25	20x30	2,78	43,9	5,31	3T16	-	-	111,8	3,5	-II-	50,2	6,2	2T20	-	-	67,2	6,5	-II-	13,5	1,48	2T10	-	-	105,1	4,5	-II-	
26	20x50	4,94	118,5	8,56	3T20	-	-	187,2	3,5	-II-	130,6	9,56	2T25	-	-	98,6	7,0	-II-	45,0	3,0	2T14	-	-	175,3	4,0	-II-	
27	20x50	4,94	118,5	8,56	3T20	-	-	187,2	3,5	-II-	130,6	9,56	2T25	-	-	98,6	7,0	-II-	45,0	3,0	2T14	-	-	175,3	4,0	-II-	
17	20x30	2,59	11,4	1,25	2T10	-	-	88,0	5,0	-II-	48,4	5,9	3T16	-	-	44	10	-II-	11,4	1,25	2T10	-	-	88,0	5,0	-II-	
23 b	20x30	2,59	11,4	1,25	2T10	-	-	88,0	5,0	-II-	48,4	5,9	3T16	-	-	44	10	-II-	11,4	1,25	2T10	-	-	88,0	5,0	-II-	

49

ANNEXE 2

DIMENSIONNEMENT des Poutres

au niveau du:

1^e étage

- Rez de chaussee

Sous- Sol

Poutres du 1^e étage (suite)

Poutres			Appui Gauche								travee								Appui Droite							
n°	Section bxb	Long. m	M _u kNm	A _s mm ²	Arma- tures	A' _s	Arma- tures	V _u kN	St (mm)	Arma- tures	M _u	A _s	Arma- tures	A' _s	Arma- tures	V _u	St	Arma- tures	M _u	A _s	Arma- tures	A' _s	Arma- tures	V _u	St	Arma- tures
23	20x30	8,59	11,4	1,25	2T10	-	-	88,0	5,0	T8	48,4	5,9	2T20	-	-	44	10	T8	11,4	1,25	2T10	-	-	88,0	5,0	T8
20	20x30	8,59	11,4	1,25	2T10	-	-	88,0	5,0	-11-	48,4	5,9	2T20	-	-	44	10	T8	11,4	1,25	2T10	-	-	88,0	5,0	T8
29	20 x 30	4,63	24,1	2,65	2T14	-	-	104,2	4,0	-11-	102,5	12,7	3T25	-	-	65	6,5	T8	24,1	2,65	2T14	-	-	104,2	4,0	-11-
28	20 x 30	4,63	24,1	2,65	2T14	-	-	104,2	4,0	-11-	102,5	12,7	3T25	-	-	65	6,5	-11-	24,1	2,65	2T14	-	-	104,2	4,0	-11-
33	20 x 30	4,63	24,1	2,65	2T14	-	-	104,2	4,0	-11-	102,5	12,7	3T25	-	-	65	6,5	-11-	24,1	2,65	2T14	-	-	104,2	4,0	-11-
32	40 x 30	4,63	24,1	2,65	2T14	-	-	104,2	4,0	-11-	102,5	12,7	3T25	-	-	65	6,5	-11-	24,1	2,65	2T14	-	-	104,2	4,0	-11-
36	20 x 63	2,59	8,1	0,4	2T8	-	-	68	12,0	-11-	38,2	1,98	2T12	-	-	48,0	15,0	-11-	8,1	0,4	2T8	-	-	68,0	12,0	-11-
40	20 x 63	2,59	8,1	0,4	2T8	-	-	68	12,0	-11-	38,2	1,98	2T12	-	-	48,0	15,0	-11-	8,1	0,4	2T8	-	-	68,0	12,0	-11-
44	20 x 63	2,59	8,1	0,4	2T8	-	-	68	12,0	-11-	38,2	1,98	2T12	-	-	48,0	15,0	-11-	8,1	0,4	2T8	-	-	68,0	12,0	-11-
48	20 x 63	2,59	8,1	0,4	2T8	-	-	68	12,0	-11-	38,2	1,98	2T12	-	-	48,0	15,0	-11-	8,1	0,4	2T8	-	-	68,0	12,0	-11-

10

Poutres du P.H^e R^e de chaussée

Poutres	Appui Gauche										Appui Droite															
	m ^e	Sectio n	long. M _u	M _u	A _s	Arme es nutes	A' _s	Arme es nutes	V _u	St	Arme es nutes	M _u	A _s	Arme es nutes	A' _s	Arme es nutes	V _u	St	Arme es nutes	M _u	A _s	Arme es nutes	A' _s	Arme es nutes	V _u	St
103	10 59	4,94	102,5	6,1	2T ₂₀	-	-	16,5,6	5,0	T ₈	13,0,2	7,9	4T ₁₆	-	-	14,9,4	7,5	T ₈	3,9,1	2,2	2T ₁₂	-	-	15,7,8	5,0	T ₈
89	10 58	4,94	102,5	6,1	2T ₂₀	-	-	16,5,6	5,0	T ₈	13,0,2	7,9	4T ₁₆	-	-	14,9,4	7,5	-11-	3,9,1	2,2	2T ₁₂	-	-	15,7,8	5,0	-11-
81	10 3,5	4,61	19,3,6	1,83	2T ₁₂	-	-	4,8,18	10	-11-	16,0,6	1,51	2T ₁₀	-	-	30,6,4	15	-11-	7,5	0,6,9	2T ₈	-	-	4,5,8	10	-11-
83	20 3,5	2,61	19,3,6	1,83	2T ₁₂	-	-	4,8,18	10	-11-	16,0,6	1,51	2T ₁₀	-	-	30,6,4	15	-11-	7,5	0,6,9	2T ₈	-	-	4,5,8	10	-11-
95	20 3,5	2,61	19,3,6	1,83	2T ₁₂	-	-	4,8,18	10	-11-	16,0,6	1,51	2T ₁₀	-	-	30,6,4	15	-11-	7,5	0,6,9	2T ₈	-	-	4,5,8	10	-11-
87	10 3,5	2,61	19,3,6	1,83	2T ₁₂	-	-	4,8,18	10	-11-	16,0,6	1,51	2T ₁₀	-	-	30,6,4	15	-11-	7,5	0,6,9	2T ₈	-	-	4,5,8	10	-11-
89	20 5,5	2,61	19,3,6	1,83	2T ₁₂	-	-	4,8,18	10	-11-	16,0,6	1,51	2T ₁₀	-	-	30,6,4	15	-11-	4,5	0,6,9	2T ₈	-	-	4,5,8	10	-11-
91	20 7,5	2,61	19,3,6	1,83	2T ₁₂	-	-	4,8,18	10	-11-	16,0,6	1,51	2T ₁₀	-	-	30,6,4	15	-11-	7,5	0,6,9	2T ₈	-	-	4,5,8	10	-11-
80	20 4,0	2,61	35,5,3	3,99	2T ₁₄	-	-	6,2,14	9,0		23,5,9	1,9,4	2T ₁₂	-	-	16,2,5	13	-11-	13,3	0,9,8	2T ₈	-	-	5,7,2	10	-11-
82	20 4,0	2,61	35,5,3	2,99	2T ₁₄	-	-	6,2,14	9,0		23,5,9	1,9,4	2T ₁₂	-	-	16,2,5	13	-11-	12,3	0,9,8	2T ₈	-	-	5,7,2	10	-11-
84	20 4,0	2,61	35,5,3	2,99	2T ₁₄	-	-	6,2,14	9,0		23,5,9	1,9,4	2T ₁₂	-	-	16,2,5	13	-11-	12,3	0,9,8	2T ₈	-	-	5,7,2	10	-11-
98	20 10	2,61	35,5,3	3,99	2T ₁₄	-	-	6,2,14	9,0		23,5,9	1,9,4	2T ₁₂	-	-	16,2,5	13	-11-	12,3	0,9,8	2T ₈	-	-	5,7,2	10	-11-

Poutres du P. H^e rug de chauvain

Poutres	Appui Gauche										Appui Droite															
	m ^e	Sectio n	Long. m	M _u	A _s	Arme es long.	A' _s	Arme es tours	V _u	S _t	Arme es long.	M _u	A _s	Arme es tours	A' _s	Arme es long.	V _u	S _t	Arme es long.	M _u	A _s	Arme es tours	A' _s	Arme es long.	V _u	S _t
88b	20 ^x 40	1,61	35,53	2,99	2T ₁₄	-	-	62,14	9,0	T ₈	23,59	1,94	2T ₁₂	-	-	46,25	13	T ₈	123	0,998	2T ₈	-	-	53,2	10	T ₈
90	20 ^x 40	1,62	35,53	2,99	2T ₁₄	-	-	62,14	9,0	T ₈	23,59	1,94	2T ₁₂	-	-	44,25	13	11-	123	0,998	2T ₈	-	-	54,2	10	11-
50	20 ^x 40	3,11	41,94	3,56	2T ₁₄	-	-	106,9	5,5	11-	47,75	405	3T ₁₄	-	-	63,5	9,0	11-	15,6	1,72	2T ₁₂	-	-	97,2	60	11-
51	20 ^x 40	3,11	41,94	3,56	2T ₁₆	-	-	106,9	5,5	11-	47,75	405	3T ₁₄	-	-	63,5	9,0	11-	15,6	1,72	2T ₁₂	-	-	97,2	6,0	11-
56	20 ^x 40	3,11	41,94	3,56	2T ₁₆	-	-	106,9	5,5	11-	47,75	405	3T ₁₄	-	-	63,5	9,0	11-	15,6	1,72	2T ₁₂	-	-	97,2	6,0	11-
57	20 ^x 40	3,11	41,94	3,56	2T ₁₆	-	-	106,9	5,5	11-	47,75	405	3T ₁₄	-	-	63,5	9,0	11-	15,6	1,72	2T ₁₂	-	-	97,2	6,0	11-
60	20 ^x 50	3,11	62,20	4,2	3T ₁₄	-	-	183,4	3,5	11-	84,57	5,87	3T ₁₄	-	-	110,4	6,5	11-	28,5	1,87	2T ₁₂	-	-	45,0	4,5	11-
59	20 ^x 40	3,11	54,24	5,0	3T ₁₄	-	-	117,6	4,5	11-	46,08	3,94	2T ₁₆	-	-	70,5	8,0	11-	15,6	1,27	2T ₁₀	-	-	98,5	5,5	11-
53	20 ^x 40	3,11	53,23	4,61	3T ₁₄	-	-	147,2	4,0	11-	60,84	5,34	3T ₁₆	-	-	88,4	6,5	11-	23,2	1,91	2T ₁₂	-	-	125,3	4,5	11-
54	20 ^x 40	3,11	53,23	4,61	3T ₁₄	-	-	147,2	4,0	11-	60,84	5,34	3T ₁₆	-	-	88,4	6,5	11-	23,2	1,91	2T ₁₂	-	-	125,3	4,5	11-
62	20 ^x 35	1,83	28,6	2,76	2T ₁₄	-	-	67,7	7,0	11-	17,3	1,63	2T ₁₀	-	-	35,3	14	11-	63	0,68	2T ₈	-	-	54,9	7,5	11-
65	20 ^x 35	1,83	28,6	2,76	2T ₁₄	-	-	67,7	7,0	11-	17,3	1,63	2T ₁₀	-	-	35,3	14	11-	6,3	0,68	2T ₈	-	-	54,9	7,5	11-

Poutres du P. Ht Reg de charniere

Poutres	Appui Gauche								Appui Droite																	
	Sectio	Long.	Mu	A _s	Arme- euses	A' _s	Arme- euses	V _u	St	Arme tures	Mu.	A _s	Arme- euses	A' _s	Arme- euses	V _u	St	Arme tures	Mu.	A _s	Arme- euses	A' _s	Arme- euses	V _u	St	Arme tures
64	20 x 40	3,11	30,8	2,57	2 T ₁₄	—	—	6,77	8,5	T ₈	40,3	3,42	2 T ₁₆	—	—	4,03	1,4	T ₈	30,8	2,57	2 T ₁₄	—	—	67,7	8,5	T ₈
63	20 x 40	3,11	33,5	2,81	2 T ₁₄	—	—	9,98	5,5	—	43,6	3,72	2 T ₁₆	—	—	6,45	9,5	—	33,5	2,81	2 T ₁₄	—	—	99,85	5,5	—
100	20 x 58	3,75	16,5	0,91	2 T ₈	—	—	7,8	11,0	—	51,4	2,93	2 T ₁₄	—	—	4,27	19,5	—	16,5	0,91	2 T ₈	—	—	70,5	11,0	—
102	20 x 58	3,75	16,5	0,91	2 T ₈	—	—	7,8	11,0	—	51,4	2,93	2 T ₁₄	—	—	4,27	19,5	—	16,5	0,91	2 T ₈	—	—	70,5	11,0	—
104	20 x 58	3,63	31,3	1,16	2 T ₁₂	—	—	13,8	1,1	—	50,0	2,85	2 T ₁₄	—	—	4,27	19,5	—	31,3	1,16	2 T ₁₀	—	—	73,8	11,0	—
106	20 x 58	1,63	85,2	4,98	3 T ₁₆	—	—	129,1	6,5	—	13,3	8,08	3 T ₂₀	—	—	7,89	10,5	—	85,2	4,98	3 T ₁₆	—	—	129,1	6,5	—
114	20 x 58	1,63	85,2	4,98	3 T ₁₆	—	—	129,1	6,5	—	13,3	8,08	3 T ₂₀	—	—	7,89	10,5	—	85,2	4,98	3 T ₁₆	—	—	129,1	6,5	—
96	10 x 58	4,63	85,2	4,98	3 T ₁₆	—	—	129,1	6,5	—	13,3	8,08	3 T ₂₀	—	—	7,89	10,5	—	85,2	4,98	3 T ₁₆	—	—	129,1	6,5	—
52	20 x 35	2,59	16,8	1,58	2 T ₁₀	—	—	46,8	10,5	—	26,5	2,54	2 T ₁₄	—	—	2,83	1,75	—	16,8	1,58	2 T ₁₀	—	—	46,8	10,5	—
55	20 x 35	2,59	16,8	1,58	2 T ₁₀	—	—	46,8	10,5	—	26,5	2,54	2 T ₁₄	—	—	2,83	1,75	—	16,8	1,58	2 T ₁₀	—	—	46,8	10,5	—
58	20 x 35	2,59	16,8	1,58	2 T ₁₀	—	—	46,8	10,5	—	26,5	2,54	2 T ₁₄	—	—	2,83	1,75	—	16,8	1,58	2 T ₁₀	—	—	46,8	10,5	—
61	20 x 35	2,59	16,8	1,58	2 T ₁₀	—	—	46,8	10,5	—	26,5	2,54	2 T ₁₄	—	—	2,83	1,75	—	16,8	1,58	2 T ₁₀	—	—	46,8	10,5	—

Poutres du P. Ht. Rer de chaussée

Poutres			Appui Gauche						travee						Appui Droite en derive											
n°	Sectio	Long.	M _u	A _s	Arma tures	A' _s	Arma tures	V _u	S _t	Arma tures	M _u	A _s	Arma tures	A' _s	Arma tures	V _u	S _t	Arma tures	M _u	A _s	Arma tures	A' _s	Arma tures	V _u	S _t	Arma tures
73	20 x 40	2,59	28,5	2,37	3T10	-	-	50,7	11,0	T8	45,0	3,84	2T16	-	-	35,3	15,0	T8	28,5	2,37	2T14	-	-	50,7	11,0	T8
74	20 x 40	2,59	28,5	2,37	3T10	-	-	50,7	11,0	-11-	45,0	3,84	2T16	-	-	35,3	15,0	-11-	28,5	2,37	2T14	-	-	50,7	11,0	-11-
75	20 x 40	2,59	28,5	2,37	3T10	-	-	50,7	11,0	-11-	45,0	3,84	2T16	-	-	35,3	15,0	-11-	28,5	2,37	2T14	-	-	50,7	11,0	-11-
76	20 x 40	2,59	28,5	2,37	3T10	-	-	50,7	11,0	-11-	45,0	3,84	2T16	-	-	35,3	15,0	-11-	28,5	2,37	2T14	-	-	50,7	11,0	-11-
70	20 x 40	2,59	28,5	2,37	3T10	-	-	50,7	11,0	-11-	45,0	3,84	2T16	-	-	35,3	15,0	-11-	28,5	2,37	2T14	-	-	50,7	11,0	-11-
71	20 x 40	2,59	28,5	2,37	3T10	-	-	50,7	11,0	-11-	45,0	3,84	2T16	-	-	35,3	15,0	-11-	28,5	2,37	2T14	-	-	50,7	11,0	-11-
112	20 x 35	2,59	18,6	1,76	2T12	-	-	56,2	8,5	-11-	29,4	2,84	2T14	-	-	38,5	13	-11-	18,6	1,76	2T12	-	-	56,2	8,5	-11-
113	20 x 35	2,59	18,6	1,76	2T12	-	-	56,2	8,5	-11-	29,4	2,84	2T14	-	-	38,5	13	-11-	18,6	1,76	2T12	-	-	56,2	8,5	-11-
114	20 x 35	2,59	18,6	1,76	2T12	-	-	56,2	8,5	-11-	29,4	2,84	2T14	-	-	38,5	13	-11-	18,6	1,76	2T12	-	-	56,2	8,5	-11-
78	20 x 35	2,61	15,0	1,41	2T10	-	-	44,7	11	-11-	23,7	3,26	2T12	-	-	31,7	15	-11-	15,0	1,41	2T10	-	-	44,7	11,0	-11-
79	20 x 35	2,61	15,0	1,41	2T10	-	-	44,7	11	-11-	23,7	3,26	2T12	-	-	31,7	15	-11-	15,0	1,41	2T10	-	-	44,7	11,0	-11-
68	20 x 40	4,40	88,4	8,2	3T20	-	-	140	40	-11-	140	15,0	5T20	-	-	110,0	5,0		88,4	8,2	3T20	-	-	140	4,0	-11-

84

Poutres du P.H. sur de charron

Poutres	Appui Gauche												Appui Droite													
	travee						travee						travee						travee							
m ^e	Sectio	long.	M _u	A _s	Armees	M _u	A _s	Armees	V _u	St	Armees	M _u	A _s	Armees	V _u	St	Armees	M _u	A _s	Armees	V _u	St	Armees			
92	20x	4,94	40,16	406	3T ₁₄	—	—	136,5	6,0	T ₈	48,40	4,60	3T ₁₄	—	—	85,6	9,15	T ₈	49,26	4,06	3T ₁₄	—	—	136,5	9,15	T ₈
94	20x	4,94	40,16	406	3T ₁₄	—	—	136,5	6,0	T ₈	48,40	4,60	3T ₁₄	—	—	85,6	9,15	T ₈	49,26	4,06	3T ₁₄	—	—	136,5	9,15	T ₈
109	20x	4,94	40,16	406	3T ₁₄	—	—	136,5	6,0	T ₈	48,40	4,60	3T ₁₄	—	—	85,6	9,15	T ₈	49,26	4,06	3T ₁₄	—	—	136,5	9,15	T ₈
108	20x	4,94	40,16	406	3T ₁₄	—	—	136,5	6,0	T ₈	48,40	4,60	3T ₁₄	—	—	85,6	9,15	T ₈	49,26	4,06	3T ₁₄	—	—	136,5	9,15	T ₈
93	20x	3,96	67,80	391	2T ₁₆	—	—	127,5	6,5	11	69,88	4,04	2T ₁₆	—	—	73,6	10,0	—	89,26	4,18	2T ₁₆	—	—	119,5	9,5	21
95	20x	3,96	67,80	391	2T ₁₆	—	—	127,5	6,5	11	69,88	4,04	2T ₁₆	—	—	73,6	10,0	—	89,26	4,18	2T ₁₆	—	—	119,5	9,5	21
107	20x	3,96	67,80	391	2T ₁₆	—	—	127,5	6,5	11	69,88	4,04	2T ₁₆	—	—	73,6	10,0	—	89,26	4,18	2T ₁₆	—	—	119,5	9,5	21
110	20x	3,96	67,80	391	2T ₁₆	—	—	127,5	6,5	11	69,88	4,04	2T ₁₆	—	—	73,6	10,0	—	89,26	4,18	2T ₁₆	—	—	119,5	9,5	21
97	20x	3,96	67,80	391	2T ₁₆	—	—	127,5	6,5	11	69,88	4,04	2T ₁₆	—	—	73,6	10,0	—	21,2	4,18	2T ₁₆	—	—	119,5	9,5	21
105	20x	3,96	67,80	391	2T ₁₆	—	—	127,5	6,5	11	69,88	4,04	2T ₁₆	—	—	73,6	10,0	—	21,2	4,18	2T ₁₆	—	—	119,5	9,5	21
104	20x	4,94	77,16	4448	3T ₁₄	—	—	145,3	5,5	11	145,3	4,40	3T ₁₄	—	—	96,5	8,5	—	145,3	5,5	11	—	—	145,3	5,5	11
98	20x	4,94	77,16	4448	3T ₁₄	—	—	145,3	5,5	11	145,3	4,40	3T ₁₄	—	—	96,5	8,5	—	145,3	5,5	11	—	—	145,3	5,5	11

Poutres du P. H^t Rez de chaussee

٦٨

Poutre du plancher lit sous-sol

Poutres				Appui Gauche						travee						Appui Droite											
n°	Sectim	Long.		M _u	A _s	Arme-tures	A' _s	Arme-tures	V _u	S _t	Arme-tures	M _u	A _s	Arme-tures	A' _s	Arme-tures	V _u	S _t	Arme-tures	M _u	A _s	Arme-tures	A' _s	Arme-tures	V _u	S _t	Arme-tures
154	20x35	2,60	25,74	2,47	2T14	-	-	832	6,0	T8	31,89	3,04	2T14	-	-	70,5	7,0	T8	41,5	1,07	2T10	-	-	35,8	6,5	T8	
153	20x35	2,70	23,65	2,26	2T12	-	-	76,4	6,5	-1-	32,47	3,16	3T12	-	-	53,6	9,5	-1-	23,65	2,26	2T12	-	-	76,4	6,5	-1-	
152	20x35	2,63	105	12,73	4T20	-	-	138	3,5	-1-	44,59	4,15	3T14	-	-	110,5	4,5	-1-	48,9	8,65	3T20	-	-	119,8	4,0	-1-	
130	20x60	4,94	209,7	13,1	5T20	-	-	225	3,5	-1-	22,78	14,35	5T20	-	-	135,8	6,5	-1-	138,5	8,12	3T20	-	-	163,7	5,0	-1-	
131	20x35	2,93	90,04	10,26	4T20	-	-	103,4	4,5	-1-	3,58	3,50	2T16	-	-	78,7	6,5	-1-	48,5	4,83	3T16	-	-	88,7	5,5	-1-	
132	20x35	2,04	15,0	1,40	2T10	-	-	54,6	9,0	-1-	17,5	1,65	2T12	-	-	38,7	13,0	-1-	15,0	1,40	2T10	-	-	54,6	9,0	-1-	
142	20x40	2,01	15,40	1,26	2T10	-	-	46,5	13,0	-1-	28,6	2,38	2T14	-	-	39,8	14,0	-1-	15,4	1,26	2T10	-	-	46,5	12,0	-1-	
143	20x40	2,61	23,25	1,92	2T12	-	-	94,5	6,0	-1-	28,8	2,39	2T14	-	-	70,5	8,0	-1-	22,5	1,87	2T12	-	-	91,5	6,0	-1-	
144	20x40	2,61	24,85	2,06	2T12	-	-	69,9	8,0	-1-	25,4	2,10	2T12	-	-	58,7	9,5	-1-	12,7	1,03	2T10	-	-	61,8	9,0	-1-	
138	20x35	2,61	27,5	2,64	3T14	-	-	48,9	10,0	-1-	29,8	2,88	2T14	-	-	36,8	10,0	-1-	10,8	1,00	2T8	-	-	39,8	15,0	-1-	
171	20x40	3,86	52,3	4,52	3T14	-	-	99,28	5,5	-1-	56,44	4,92	3T16	-	-	78,5	7,5	-1-	16,4	1,34	2T10	-	-	87,9	6,5	-1-	
172	20x40	4,94	53,9	4,67	3T14	-	-	93,0	6,0	-1-	52,87	4,58	3T14	-	-	69,5	8,0	-1-	53,9	4,67	3T14	-	-	93,0	6,0	-1-	

+
88

Poutre du plancher R^e sous-sol

Poutres	Appui Gauche								Appui Droite																
	St	long.	Mu	As	Arme. vues	A's	Arme. vues	Vu	St	Arme. vues	Mu	As	Arme. vues	A's	Arme. vues	Vu	St	Arme. vues	Mu	As	Arme. vues	A's	Arme. vues		
1	129	20 ^x 40	2,93 1,05/4	4,09 3T14	-	-	30,15 4,10	4,10 T8	249,5 4T20	-	-	260,- 4,15	T8	105,4 40,9	3T14	-	-	30,4 4,10	T8						
1	150	20 ^x 50	4,63 4,60	1,15 4,60	8,28 4,94	3T20 3T14	-	-	152 145	4,11 4,11	143,5 14,88	8,15 9,95	3T20 2T8	-	-	12,11 5,5	4,11 4,38	13,0 13,0	4,11 4,11	10,8 9,96	2T8	-	-	53,7 10,0	10,0 -11-
1	183	20 ^x 40	1,83 2,60	2,72 4,60	3,25 3,94	2T12 3T14	-	-	55,86 10,0	4,11 4,11	36,33 3,21	3,21 2T12	-	-	29,56 2,82	4,11 4,17	0,95 0,95	2T8	-	-	53,9 10,0	10,0 -11-			
1	134	20 ^x 40	3,11 3,11	6,2,10 4,6,16	3,58 3,78	2T16 2T16	-	-	14,5,0 5,0	4,11 4,11	39,35 3,17	3,24 3T12	-	-	67,66 67,66	8,5 8,5	4,11 4,11	3T15 3T12	-	-	10,7,5 5,5	5,5 -11-			
1	135	20 ^x 40	3,11 3,11	4,6,16 4,6,16	3,78 3,78	2T16 2T16	-	-	14,5,0 5,0	4,11 4,11	36,87 3,17	3,17 3T12	-	-	67,66 67,66	8,5 8,5	4,11 4,11	37,5 3,19	3,19 3T12	-	-	10,7,5 5,5	5,5 -11-		
1	136	20 ^x 40	2,83 2,83	2,73,1 2,73,1	2,25 2,25	2T12 2T12	-	-	55,9 4,60	4,11 4,11	26,06 2,18	2T12 2T12	-	-	29,56 19,5	4,11 4,17	0,95 0,95	2T8	-	-	53,7 10,0	10,0 -11-			
1	159	20 ^x 55	2,60 2,60	17,0,2 1,6,0	1,6,0 2T10	-	-	53,9 19,65	9,0 1,86	2T12 2T12	-	-	47,8 47,8	12 12	4,11 4,11	8,9 0,84	2T8	-	-	59,6 9,0	9,0 -11-				
1	158	20 ^x 40	2,60 2,60	17,0,4 1,6,0	1,6,0 2T10	-	-	51,63 19,39	9,0 1,70	2T12 2T12	-	-	44,9 44,9	12,5 12,5	4,11 4,11	8,7 8,7	0,76 0,76	2T8	-	-	59,7 9,0	9,0 -11-			
1	140	20 ^x 40	2,60 2,60	1,6,0 1,6,0	4,0,0 4,0,0	2T16 2T16	-	-	64,44 64,44	9,0 9,0	24,93 1,80	1,80 2T14	-	-	59,8 50,8	11 11	4,11 4,11	19,7 19,7	0,86 0,86	2T8	-	-	59,6 9,5	9,5 -11-	
1	155	20 ^x 40	2,60 2,60	2,60 2,60	2,36 4,0,0	2T16 2T16	-	-	64,44 64,44	9,0 9,0	24,93 39,15	1,80 1,80	2T12 2T10	-	-	50,8 50,8	11 11	4,11 4,11	13,8 13,8	1,12 1,12	2T10	-	-	59,6 9,5	9,5 -11-
1	156	20 ^x 40	2,63 2,63	2,39 4,0,0	4,0,0 2T16	-	-	64,45 64,45	9,0 9,0	24,93 39,15	1,80 1,80	2T16 2T16	-	-	59,8 59,8	11 11	4,11 4,11	13,8 13,8	1,12 1,12	2T10	-	-	59,6 9,5	9,5 -11-	

ANNEXE 3

DIMENSIONNEMENT DES POTEAUX

au

- 1^e étage
- Rez de chaussée
- Sous-Sol

Poutres du plancher h⁺ Sono - Sol

Poutres			Appui Gauche								travee								Appui Droite							
n°	Sedim	Long.	M _u	A _s	Arma- tures	A' _s	Arma- tures	V _u	S _t	Arma- tures	M _u	A _s	Arma- tures	A' _s	Arma- tures	V _u	S _t	Arma- tures	M _u	A _s	Arma- tures	A' _s	Arma- tures	V _u	S _t	Arma- tures
137	20 x 35	4,63	31,65	3,07	2T14	-	-	62,34	8,0	T8	36,85	3,63	3T14	-	-	47,3	10,5	T8	31,65	3,07	2T14	-	-	62,34	8,0	T8
148	20 x 35	2,43	43,14	4,29	3T14	-	-	466,6	3,0	T8	50,95	5,16	3T16	-	-	113,8	4,5	T8	43,14	4,29	3T14	-	-	156,6	3,0	T8
149	20 x 40	2,51	35,56	2,99	2T14	-	-	91,17	6,5	-II-	21,37	1,76	2T12	-	-	42,6	7,5	-II-	35,56	2,99	2T14	-	-	91,17	6,5	-II-
150	20 x 40	2,71	26,19	2,17	2T12	-	-	101,8	5,5	-II-	35,77	3,01	2T14	-	-	85,7	6,7	-II-	26,19	2,17	2T12	-	-	101,8	5,5	-II-
151	20 x 305	2,01	23,47	2,19	2T12	-	-	65,91	7,5	-II-	11,29	1,10	2T10	-	-	48,7	10,0	-II-	23,47	2,19	2T12	-	-	6591	7,5	-II-
152	20 x 40	2,01	15,09	1,23	2T10	-	-	49,66	11,5	-II-	15,3	1,24	2T10	-	-	39,8	14,0	-II-	15,09	1,23	2T10	-	-	49,66	11,5	-II-
153	20 x 40	2,73	81,96	7,50	4T16	-	-	127,9	4,5	-II-	24,3	2,01	2T12	-	-	102,3	5,5	-II-	81,96	7,50	4T16	-	-	127,9	4,5	-II-
154	20 x 40	2,50	37,6	3,17	3T12	-	-	67,8	8,5	-II-	40,0	3,39	3T12	-	-	48,5	11,5	-II-	41,5	0,932	2T8	-	-	78,5	7,5	-II-
155	20 x 40	3,05	36,15	3,04	2T14	-	-	103,5	5,5	-II-	47,67	4,09	3T14	-	-	87,0	6,5	-II-	11,5	0,932	2T8	-	-	97,5	6,0	-II-
156	20 x 40	3,05	35,19	3,41	3T12	-	-	92,34	5,5	-II-	31,54	2,64	2T14	-	-	76,5	7,5	-II-	35,19	3,41	3T12	-	-	92,34	5,5	-II-
157	20 x 40	3,05	50,66	4,37	3T14	-	-	77,61	7,5	-II-	7,05	0,57	2T8	-	-	53,6	10,5	-II-	59,64	4,37	3T12	-	-	77,61	7,5	-II-
158	20 x 40	4,63	38,1	3,22	3T12	-	-	100,9	5,5	-II-	60,75	5,33	3T16	-	-	84,6	6,5	-II-	38,1	3,22	3T12	-	-	100,9	5,5	-II-

57
88

Poutres du plancher et sous-sol

Poutres			Appui Gauche								Travee								Appui Droite							
n°	Sectio-	long.	M _u	A _s	Arme- tures	A' _s	Arme- tures	V _u	St	Arme- tures	M _u	A _s	Arme- tures	A' _s	Arme- tures	V _u	St	Arme- tures	M _u	A _s	Arme- tures	A' _s	Arme- tures	V _u	St	Arme- tures
173	20x 40	4,84	53,92	4,68	3T16	-	-	93,0	6,0	T8	52,87	4,58	3T14	-	-	78,5	7,0	T8	53,92	4,68	3T16	-	-	93,0	6,0	T8
174	20x 40	3,96	56,19	4,89	3T16	-	-	119,2	4,5	-u-	69,87	6,24	3T20	-	-	89,7	6,5	-u-	21,3	1,75	2T12	-	-	105,7	5,5	-u-
115	40 35	4,94	17,3	1,60	2T12	-	-	69,7	7,0	-u-	73,4	7,2	3T20	-	-	41,2	12	-u-	17,3	1,60	2T12	-	-	69,7	7,0	-u-
128	20x 40	3,11	27,98	2,32	3T10	-	-	133,5	4,0	-u-	77,7	9,04	3T20	-	-	107,5	5,0	-u-	27,98	2,32	3T10	-	-	128	4,5	-u-
129	20x 60	2,01	15,8	6,67	2T20	-	-	150,7	5,5	-u-	145,8	8,60	3T20	-	-	97,8	8,5	-u-	105,7	6,04	3T16	-	-	138,5	6,0	-u-
					</																					

P. H^t; 1^e etage

Poteau	Section beton B cm ²	Longueur L m	charge ponderee N _U kN	Moment pondere M _U	section armature A _S (cm ²)	clavis Armature	espacement des clavettes S _C (cm)	M _U all
1	20x20	3,0	313,0	-	negativ	4T6	9 (T6)	1 ^e etage
2	20x20	-" -	472,0	-	-" -	4T6	9 (T6)	-" -
3	20x20	-" -	313,0	-	-" -	4T6	9 (T6)	-" -
4	20x20	-" -	313,0	-	-" -	4T6	9 (T6)	-" -
5	20x20	-" -	360,0	-	-" -	4T6	9 (T6)	-" -
6	20x20	-" -	313,0	-	-" -	4T6	9 (T6)	-" -
7	20x20	-" -	313,0	-	-" -	4T6	9 (T6)	-" -
8	20x20	-" -	472,0	-	-" -	4T6	9 (T6)	-" -
9	20x20	-" -	313,0	-	-" -	4T6	9 (T6)	-" -
10	20x20	-" -	313,0	-	-" -	4T6	9 (T6)	-" -
11	20x20	-" -	760,0	-	3,8	4T12	18 (T6)	-" -
12	20x20	-" -	360,0	-	neg.	4T6	9 (T6)	-" -
13	20x20	-" -	313,0	-	-" -	4T6	9 (T6)	-" -
14	20x20	-" -	618,5	-	3,1	4T10	15 (T6)	-" -
15	20x20	-" -	618,5	-	3,1	4T10	15 (T6)	-" -
16	20x20	-" -	618,5	-	3,1	4T10	15 (T6)	-" -
17	20x20	-" -	454	-	negativ	4T6	9 (T6)	-" -
18	20x20	-" -	454	-	-" -	4T6	9 (T6)	-" -
19	20x20	-" -	618,5	-	3,1	4T10	15 (T6)	-" -
20	20x20	-" -	618,5	-	3,1	4T10	15 (T6)	-" -
21	20x20	-" -	454	-	negativ	4T6	9 (T6)	-" -

P.H^t Rez de chaussée

Poteau n°	Secteur béton $B = h \times b$	Longueur L (m)	Charge pondérée N_u (kN)	Moment pondéré M_u	Secteur d'acier A_s (cm ²)	Chair Armatures	Ecartement éloignées S_e (cm) (T6)	ouveau R.C
1	30x20	3,0	562,0	-	negatif	4T8	12,0	Rez de chaussée
2	40x20	-ii-	747,0	-	negatif	4T8	12,0	-ii-
3	30x20	-ii-	562,0	-	neg.	4T8	12,0	-ii-
4	30x20	-ii-	562,0	-	neg.	4T8	12,0	-ii-
5	30x20	-ii-	553,8	-	neg	4T8	12,0	-ii-
6	30x20	-ii-	562,0	-	neg	4T8	12,0	-ii-
7	30x20	-ii-	562,0	-	-ii-	4T8	12,0	-ii-
8	40x20	-ii-	747,0	-	neg	4T8	12,0	-ii-
9	30x20	-ii-	562,0	-	neg.	4T8	12,0	-ii-
10	30x20	-ii-	562,0	-	-ii-	4T8	12,0	-ii-
11	40x20	-ii-	915,9	-	3,56	4T12	18,0	-ii-
12	30x20	-ii-	553,8	-	neg.	4T8	12,0	-ii-
13	30x20	-ii-	562,0	-	neg.	4T8	12,0	-ii-
14	40x20	-ii-	821,0	-	2,1	4T8	12,0	-ii-
15	40x20	-ii-	821,0	-	2,1	4T8	12,0	-ii-
16	30x20	-ii-	729,6	-	neg.	4T8	-ii-	-ii-
17	30x20	-ii-	729,6	-	-ii-	4T8	-ii-	-ii-
18	30x20	-ii-	729,6	-	-ii-	4T8	-ii-	-ii-
19	30x20	-ii-	729,6	-	-ii-	4T8	-ii-	-ii-
20	30x20	-ii-	729,6	-	-ii-	4T8	-ii-	

P. H^t de Rez de chaussee

Poteau n°	Section B cm ²	Longueur L (m)	Charge pondérale Nu	Moment pondéral Mu	Section armature As	choix Armature	écartement des cadres Sc	niveau
21	30 x 20	3,0	729,6	-	neg.	4T8	12	Rez de chaussee
22	20 x 20	-11-	338,4	-	neg.	4T8	12	-11-
23	20 x 20	-11-	390,8	-	-11-	-11-	-11-	-11-
24	20 x 20	-11-	97,4	-	-11-	-11-	-11-	-11-
25	20 x 20	-11-	338,4	-	-11-	-11-	-11-	-11-
26	20 x 20	-11-	338,4	-	-11-	-11-	-11-	-11-
27	20 x 20	-11-	97,4	-	-11-	-11-	-11-	-11-
28	20 x 20	-11-	390,8	-	-11-	-11-	-11-	-11-
29	20 x 20	-11-	338,4	-	-11-	-11-	-11-	-11-
30	20 x 20	-11-	97,4	-	-11-	-11-	-11-	-11-
31	20 x 20	-11-	97,4	-	-11-	-11-	-11-	-11-
32	20 x 20	-11-	338,4	-	-11-	-11-	-11-	-11-
33	20 x 20	-11-	390,8	-	-11-	-11-	-11-	-11-
34	20 x 20	-11-	338,4	-	-11-	-11-	-11-	-11-
35	20 x 20	-11-	97,4	-	-11-	-11-	-11-	-11-
36	20 x 20	-11-	97,4	-	-11-	-11-	-11-	-11-
37	20 x 20	-11-	338,4	-	-11-	-11-	-11-	-11-
38	20 x 20	-11-	390,8	-	-11-	-11-	-11-	-11-
39	20 x 20	-11-	338,4	-	-11-	-11-	-11-	-11-
40	20 x 20	-11-	97,4	-	-11-	-11-	-11-	-11-

P. H^t du R^ez de Chausse^e

P. H^t du Sous-Sol

Poteau m ²	Section béton B	longueur L	charge pondérée N _u	moment pondéré M _u	Section d'acier A _s	écartement des lames st (T6)	chaîne d'armature	mixeur
1	30x20	2,95	697,3	-	negatif	9 cm	HT8	Sous-Sol
2	40x20	-11-	997,4	-	-11-	-11-	HT8	-11-
3	30x20	-11-	740,3	-	-11-	-11-	HT8	-11-
4	30x20	-11-	779,2	-	0,5	-11-	HT8	-11-
5	40x20	-11-	733,9	-	negatif	-11-	HT8	-11-
8	50x20	-11-	1366,4	-	3,3	18 cm	HT12	-11-
9	30x20	-11-	628,7	-	negatif	9 cm	HT8	-11-
10	30x20	-11-	715,6	-	-11-	-11-	HT8	-11-
11	50x20	-11-	1204,3	-	2,23	12 cm	HT12	-11-
12	40x20	-11-	781,5	-	0,1	9 cm	HT8	-11-
14	40x20	-11-	1039,4	-	1,13	12 cm	HT12	-11-
15	40x20	-11-	952	-	negatif	9 cm	HT8	-11-
17	40x20	-11-	855,8	-	-11-	-11-	HT8	-11-
18	40x20	-11-	917,0	-	-11-	-11-	HT8	-11-
19	40x20	-11-	894,8	-	-11-	-11-	HT8	-11-
20	40x20	-11-	1004,1	-	1,10	12 cm	HT10	-11-
21	40x20	-11-	925,6	-	negatif	9 cm	HT8	-11-
22	30x20	-11-	721,2	-	-11-	-11-	HT8	-11-
45	20x20	-11-	155,2	-	-11-	-11-	HT8	-11-
46	30x20	-11-	830,2	-	0,85	-11-	HT8	-11-

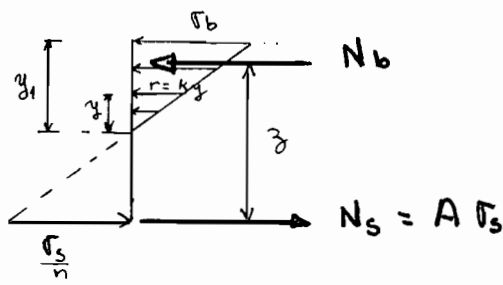
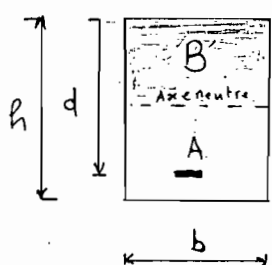
P. H^t du Sous-Sol

Porteau n°	Béton B	Longueur L	charge ultime Nu	Moment de design Mu	Section armature As	Choux Armature	écartement des cadres St (Tc)	Mureau
47	20x20	2,95	285,3	-	megeuf	4T8	9 cm	sous sol
48	20x20	-11-	385,1	-	-11-	-11-	-11-	-11-
49	20x20	-11-	327,4	-	-11-	-11-	-11-	-11-
50	20x20	-11-	59,8	-	-11-	-11-	-11-	-11-
51	20x20	-11-	110,4	-	-11-	-11-	-11-	-11-
52	30x20	-11-	690,6	-	-11-	-11-	-11-	-11-
53	20x20	-11-	202,6	-	-11-	-11-	-11-	-11-
54	50x20	-11-	1242,3	-	3,27	HT12	12 cm	-11-
55	30x20	-11-	637,4	-	megeuf	4T8	9 cm	-11-
31	20x30	-11-	276,2	-	-11-	4T8	9 cm	-11-
32	20x30	-11-	598,5	-	-11-	-11-	-11-	-11-
33	20x30	-11-	597,5	-	-11-	-11-	-11-	-11-
34	20x30	-11-	625,7	-	-11-	-11-	-11-	-11-
35	20x30	-11-	318,8	-	-11-	-11-	-11-	-11-

Vérifications de sections rectangulaires travaillant en flexion simple

Etat limite de service pour sections sans armatures comprimées.

Géométrie



Équilibre de la section

$$\begin{aligned} *1) \quad N_b - N_s &= 0 \Rightarrow \int_{B'} K y \, dB' - \int_A K y \cdot n \, dA = 0 \\ &\Rightarrow \int_0^h K y b \, dy - n A K \int_0^{d-y_1} d \, dy = 0 \end{aligned}$$

$$\Rightarrow \frac{1}{2} b y_1^2 - n A (d - y_1) = 0 \Rightarrow y_1$$

$$**) \quad M_{ser} = N_b \cdot c \cdot z$$

$$\Leftrightarrow \int_{B'} K y^2 \, dB' + \int_A K y^2 \, n \, dA = M_{ser}$$

$$\Leftrightarrow K \left[\int_0^{y_1} y^2 b \, dy + \int_0^{d-y_1} n y^2 \, d \, dy \right] = M_{ser}$$

$$\Rightarrow K = \frac{M_{ser}}{I_1} \quad \text{avec} \quad I_1 = \int_0^{y_1} y^2 b \, dy + \int_0^{d-y_1} n A y^2 \, d \, dy$$

$$I_1 = \frac{1}{3} b y_1^3 + n A (d - y_1)^2$$

D'où

$$\boxed{\bar{\sigma}_b = \frac{M_{ser}}{I_1} y_1 < \bar{\sigma}_b}$$

$$\boxed{\bar{\sigma}_s = m \frac{M_{ser}}{I_1} (d - y_1) < \bar{\sigma}_s}$$

ANNEXE 4

METHODE DE VERIFICATION

DES SECTIONS RECTANGULAIRE

TRAVAILLANT EN FLEXION SIMPLE

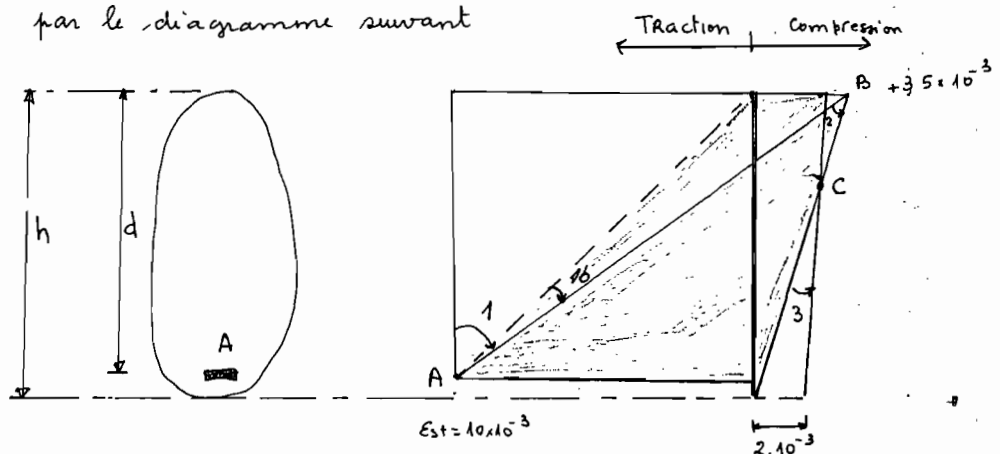
Etat limite de Resistance (E.L.U) : (Art 4.3)

Theorie

L'état limite ultime est un état qui prend en compte la totalité du diagramme des contraintes (phase élastique + phase plastique). Les déformations correspondent à la rupture pour le béton, une déformation maximum pour l'acier.

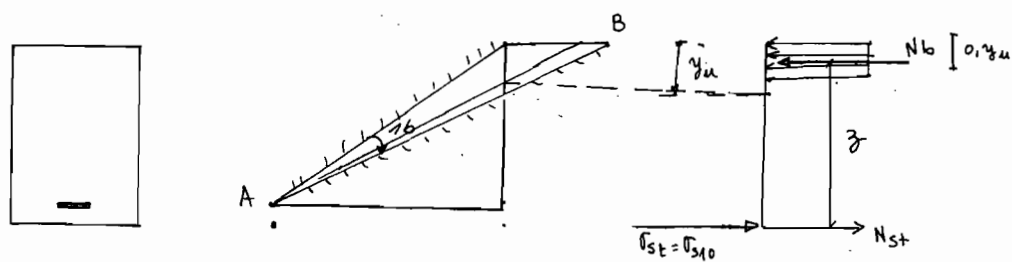
Les hypothèses fondamentales sont :

- 1) Les sections droites restent planes et il n'y a pas de glissement relatif entre les armatures et le béton
- 2) La résistance à la traction du béton est négligée
- 3) Les déformations relatives limites du béton et de l'acier sont définies par le diagramme suivant



Donc en flexion simple, on peut se trouver soit dans la région 1b soit dans la région 2 (voir partie colorée)

a) Région 1b



Dans cette zone, on suppose que l'acier tendu a atteint sa déformation maximale $\epsilon_{st} = \epsilon_{s10}$ ($\epsilon_s = 10\%$)

La déformation du béton comprimé sera

$$\epsilon_b = 10 \times 10^{-3} \frac{y_u}{d - y_u}$$

Les équations d'équilibre :

$$0,8 b y_u f_{ba} + A \epsilon_{s10} = 0 \rightarrow f_{ba} = \frac{A \epsilon_{s10}}{0,8 b y_u}$$

$$M_u = 0,8 b y_u f_{ba} (d - 0,4 y_u)$$

b) region 2

Un raisonnement similaire est fait. Cependant il convient de signaler que dans cette zone, on suppose que le béton a atteint son état ultime de déformation $\epsilon_b = 3,5 \times 10^{-3}$.

L'équation de compatibilité des déformations

$$\epsilon_{st} = 3,5 \times 10^{-3} \frac{d - y_u}{y_u}$$

les équations d'équilibre

$$A_s \epsilon_{st} - 0,8 b y_u f_{bu} = 0$$

$$M_u = 0,8 b y_u f_{bu} (d - 0,4 y_u)$$

c) choix de la région

Si $M \leq M_{AB} = 0,186$, avec $M = \frac{M_u}{b d^2 f_{bu}}$ alors région 1b, pivot A

Si $M \leq 0,493$ et $M > 0,186$

alors région 2, pivot B

ANNEXE 5

Méthode de Calcul de dallage

sous l'effet d'une charge uniformement
répartie

K : module de réaction du sol (ou module de Westergaard).

Ce module est déterminé au moyen de l'essai standard de Westergaard qui consiste à mesurer l'enfoncement e d'une plaque d'acier de 25 mm d'épaisseur et de 75 cm de diamètre sous une charge de 50 kN développant sur le sol une contrainte moyenne σ par la

$$\text{formule } K = \frac{c}{\sigma}$$

c dépend du système d'unités choisi.

Si on exprime les pressions en MPa et les longueurs en m : $c = 0.07$

Si on exprime les pressions en bar et les longueurs en cm : $c = 0.7$.

Les charges sont exprimées dans le premier cas en MN (≈ 100 t) et dans le second cas en daN (≈ 1 kg).

Des précautions doivent être prises pour que la plaque appuie sur toute sa surface, avant de procéder à l'essai (interposition de sable fin par exemple).

Dans les cas où l'on connaît l'indice portant californien CBR, on peut se passer de l'essai à la plaque en utilisant le diagramme de correspondance de la figure 17.

On prend en compte l'indice minimal CBR mesuré sur la forme.

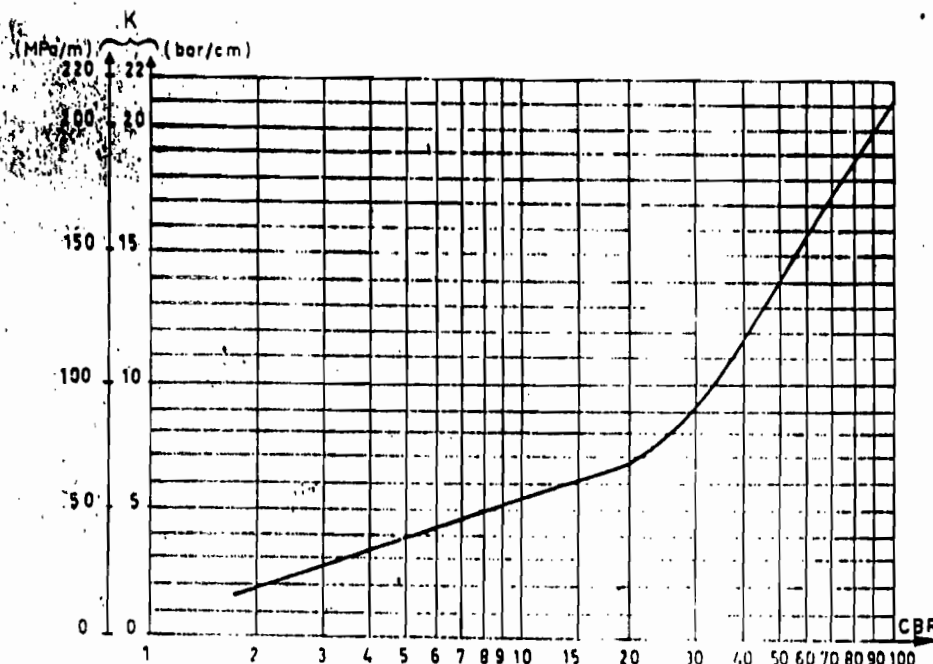


Fig. 17. — Relation entre le module K et l'indice CBR.

C.3.3. VERIFICATION DU DALLAGE SOUS L'EFFET D'UNE CHARGE UNIFORMEMENT REPARTIE PAR BANDE DE LONGUEUR INFINIE

C.3.3.1. Vérification des contraintes

A défaut de calcul plus précis, on peut utiliser les tableaux suivants donnant l'enveloppe des contraintes en dixième de MPa, soit en bar, dans un dallage pour une charge uniforme de 10 kN/m² (1 t/m²) répartie de façon aléatoire, reposant sur un sous-sol homogène.

Les tableaux ci-après donnent la contrainte maximale en bar (enveloppe des contraintes) de traction par flexion pour une charge répartie sur une bande partielle de largeur variable, d'un dallage de largeur totale L entre joints, en fonction de l'épaisseur h du corps de dallage et du module de réaction du sol K (exprimé en bar/cm ou MPa/m).

K : module de réaction du sol (ou module de Westergaard).

Ce module est déterminé au moyen de l'essai standard de Westergaard qui consiste à mesurer l'enfoncement e d'une plaque d'acier de 25 mm d'épaisseur et de 75 cm de diamètre sous une charge de 50 kN développant sur le sol une contrainte moyenne c par la formule $K = \frac{c}{e}$.

et dépend du système d'unités choisi.

Si on exprime les pressions en MPa et les longueurs en m : $c = 0.07$.

Si on exprime les pressions en bar et les longueurs en cm : $c = 0.7$.

Les charges sont exprimées dans le premier cas en MN (≈ 100 t) et dans le second cas en daN (≈ 1 kg).

Des précautions doivent être prises pour que la plaque appuie sur toute sa surface, avant de procéder à l'essai (interposition de sable fin par exemple).

Dans les cas où l'on connaît l'indice portant californien CBR, on peut se passer de l'essai à la plaque en utilisant le diagramme de correspondance de la figure 17.

On prend en compte l'indice minimal CBR mesuré sur la forme.

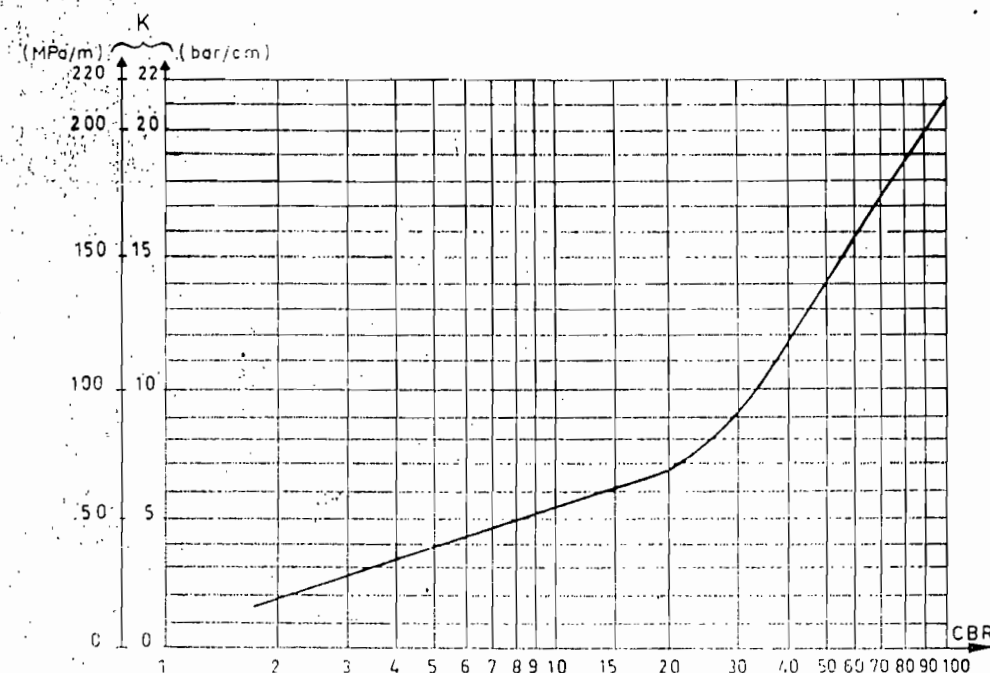


Fig. 17. — Relation entre le module K et l'indice CBR.

C.5.5. VERIFICATION DU DALLAGE SOUS L'EFFET D'UNE CHARGE UNIFORMEMENT REPARTIE PAR BANDE DE LONGUEUR INFINIE

C.3.31. Vérification des contraintes

A défaut de calcul plus précis, on peut utiliser les tableaux suivants donnant l'enveloppe des contraintes en dixième de MPa, soit en bar, dans un dallage pour une charge uniforme de 10 kN/m^2 (1 t/m^2) répartie de façon aléatoire, reposant sur un sous-sol homogène.

Les tableaux ci-après donnent la contrainte maximale en bar (enveloppe des contraintes) de traction par flexion pour une charge répartie sur une bande partielle de largeur variable, d'un dallage de largeur totale L , entre joints, en fonction de l'épaisseur h du corps de dallage et du module de réaction du sol K (exprimé en bar/cm ou MPa/m).

$E = 12\ 000 \text{ MPa} (120\ 000 \text{ bars})$ $E = 38\ 000 \text{ MPa} (380\ 000 \text{ bars})$

K [MPa/m]	K [bar/cm]	$\frac{h \text{ (cm)}}{L \text{ (cm)}}$	$E = 12\ 000 \text{ MPa} (120\ 000 \text{ bars})$						$E = 38\ 000 \text{ MPa} (380\ 000 \text{ bars})$					
			8	10	14	18	24	30	8	10	14	18	24	30
K = 30	K = 3	150	4	3.1	1.8	1.3	1.1	1	5.2	3.6	2	1.6	1.4	1
		300	4.9	5.6	6	5.5	4.1	3	12.3	12.4	10.3	7.7	5	3.3
		500	5.5	5.8	6.3	6.3	7.1	7	12.5	13.2	14	14.9	13.6	11.3
		800	5.5	5.8	6.3	6.7	7.2	7.6	12.5	13.2	14.3	15.3	15.7	17.1
	K = 6	150	2.9	2.5	1.7	1.1	0.8	0.7	6.2	3.3	1.9	1.6	1.4	1.2
		300	3.3	3.1	3.7	3.8	3.3	2.6	7	7.7	7.6	6.4	4.5	3.2
		500	3.3	3.4	3.7	4	4.1	4.5	7.4	7.8	7.7	8.9	9.3	8.7
		800	3.3	3.4	3.7	4	4.3	4.5	7.4	7.8	8.5	9.1	9.8	9.8
	K = 9	150	2.3	2.1	1.6	1.1	0.7	0.6	3	3.1	1.8	1.3	1.1	1
		300	2.4	2.5	2.7	2.9	2.7	2.3	4.9	5.6	6	5.5	4.1	3
		500	2.4	2.5	2.8	2.9	2.9	3.1	5.5	5.8	6.3	6.3	7.1	7
		800	2.4	2.5	2.8	2.9	3.2	3.3	5.5	5.8	6.3	6.7	7.2	7.6
120	K = 12	150	1.9	1.8	1.4	1	0.6	0.5	3.5	2.9	1.8	1.2	1	0.9
		300	1.9	2	2.1	2.3	2.4	2.1	3.8	4.4	5	4.7	3.8	2.9
		500	1.9	2	2.2	2.4	2.5	2.6	4.4	4.7	5.1	4.9	5.7	5.9
		800	1.9	2	2.2	2.4	2.5	2.7	4.4	4.7	5.1	5.4	5.8	6.1
	K = 18	150	1.4	1.5	1.2	1	0.6	0.4	2.9	2.5	1.7	1.1	0.8	0.7
		300	1.4	1.5	1.5	1.7	1.8	1.7	3.3	3.1	3.7	3.8	3.3	2.6
		500	1.4	1.5	1.6	1.7	1.9	1.8	3.3	3.4	3.7	4	4.1	4.5
		800	1.4	1.5	1.6	1.7	1.9	2	3.3	3.4	3.7	4	4.3	4.5

Les valeurs de K à prendre en compte dans ces tableaux correspondent aux plus faibles valeurs des modules de réactions normalisés, obtenues par essai :

• soit de la forme en surface :

• soit du sous-sol support de la forme, sur une profondeur de L/2 sous réserve que K augmente avec la profondeur.

C.5.32. Évaluation des tassements différentiels

Les tassements différentiels entre les aires de stockage et les zones de circulation doivent être évalués à partir des paramètres suivants :

- résultats de la reconnaissance géotechnique ;
- hétérogénéité du sol ;
- répartition des charges ;
- distance entre axes des bandes chargées ;
- épaisseur de la couche compressible.

Le tassement est estimé à partir des essais de compressibilité.

a) Cas d'un sol homogène soumis à des charges légères

A défaut de justifications plus précises et lorsque on peut admettre que la réaction du sol est uniforme, une estimation approchée du tassement différentiel moyen $\Delta \rho$ entre les bords et le milieu de la zone chargée de largeur B est donnée par :

$$\Delta \rho = \frac{P}{K}$$

avec P : charge uniformément répartie sur la largeur B ;

K : module de réaction du sol.

BIBLIOGRAPHIE

Pierre CHARON

1. Calcul des ouvrages en béton armé suivant les règles B.A.E.L 80 - Editions Eyrolles.

2. Guerrin et LAVAUR

2. Traité de béton armé T1 : Généralité - Editions Dunod.

3. - " - " - " - " - " - T2 : Calcul du béton Armé - même éditeur

4. - " - " - " - " - T3 : les fondations . même éditeur

5. - " - " - " - " - T4 :

Ossatures d'immeubles et d'usines. Planchers. Escalier.

Encorbellements. Ouvrages divers du bâtiment . même éditeur

André Coin

6. Ossatures des bâtiments - Editions Eyrolles -

Guy Bricaux

7. La Maçonnerie - Editions Eyrolles.

Comité Européen du béton

8. Recommandations internationales pour le calcul et l'exécution des ouvrages en béton

Document Technique unifié

9. Règles techniques de Conception et de calcul des ouvrages et constructions en Béton armé suivant la méthode des états limites.

Jean Le Covec

- 10 Memento d'emploi du B.A.E.L. 83 et règlement annexes
Edition Technique et Documentation - Lavoisier
- 11 Annales des I.T.B.T.P. : publications de Janvier 80 à Février 86.
12. Techniques de l'ingénieur : C1 à C5
- 13 Encyclopédie du bâtiment, de 1a à 3b
- 14 Victor Davidovici "Aide-mémoire de béton armé" Dunod
- 15 Moustapha NDiaye "Notes de cours de structure II", "Poly-edit"
- 16 H Renaud "Technologie du bâtiment gros-œuvre",
les éditions FOUCHER